

Eingabe: Farbmétrisches Offset-Reflektiv-System ORS18

für Buntton $h^* = lab^*h = 38/360 = 0.105$

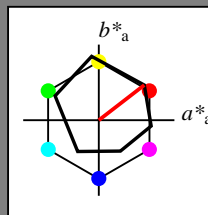
lab^*tch und lab^*nch

D65: Buntton O

LCH*Ma: 52 76 38

olv*Ma: 1.0 0.0 0.0

Dreiecks-Helligkeit t^*



%Umfang

$u^*_{rel} = 85$

%Regularität

$g^*_{H,rel} = 57$

$g^*_{C,rel} = 59$

ORS18; adaptierte CIELAB-Daten					
	$L^*=L^*_a$	a^*_a	b^*_a	$C^*_{ab,a}$	$h^*_{ab,a}$
O _{Ma}	51.74	60.16	46.48	76.02	38
Y _{Ma}	90.77	-9.44	84.41	84.94	96
L _{Ma}	54.46	-57.8	32.16	66.15	151
C _{Ma}	61.56	-27.91	-41.41	49.95	236
V _{Ma}	31.3	28.61	-40.85	49.88	305
M _{Ma}	51.91	69.26	-7.69	69.68	354
N _{Ma}	24.2	0.0	0.0	0.0	0
W _{Ma}	95.41	0.0	0.0	0.0	0
R _{CIE}	44.36	53.97	24.82	59.4	25
J _{CIE}	82.39	-1.99	62.34	62.37	92
G _{CIE}	55.68	-38.87	10.82	40.36	164
B _{CIE}	35.76	1.06	-43.09	43.11	271

Ausgabe: Farbmétrisches Offset-Reflektiv-System ORS18

für Buntton $h^* = lab^*h = 38/360 = 0.105$

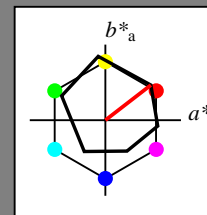
lab^*tch und lab^*nch

D65: Buntton O

LCH*Ma: 52 76 38

olv*Ma: 1.0 0.0 0.0

Dreiecks-Helligkeit t^*



%Umfang

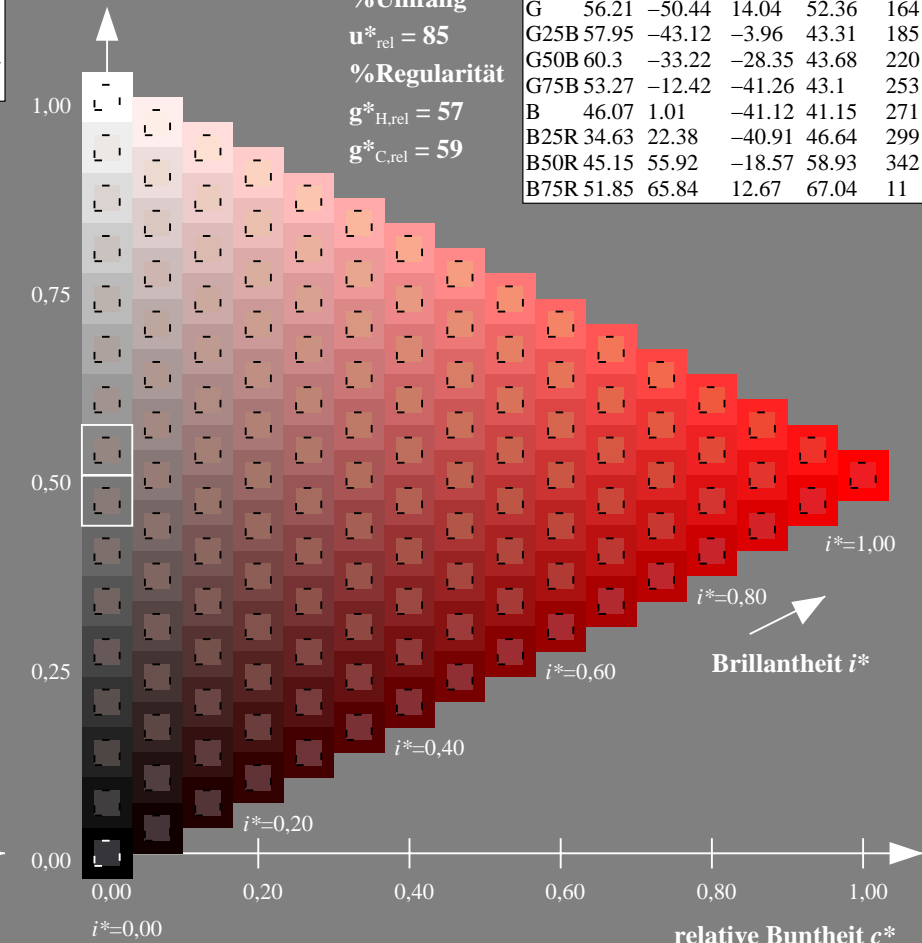
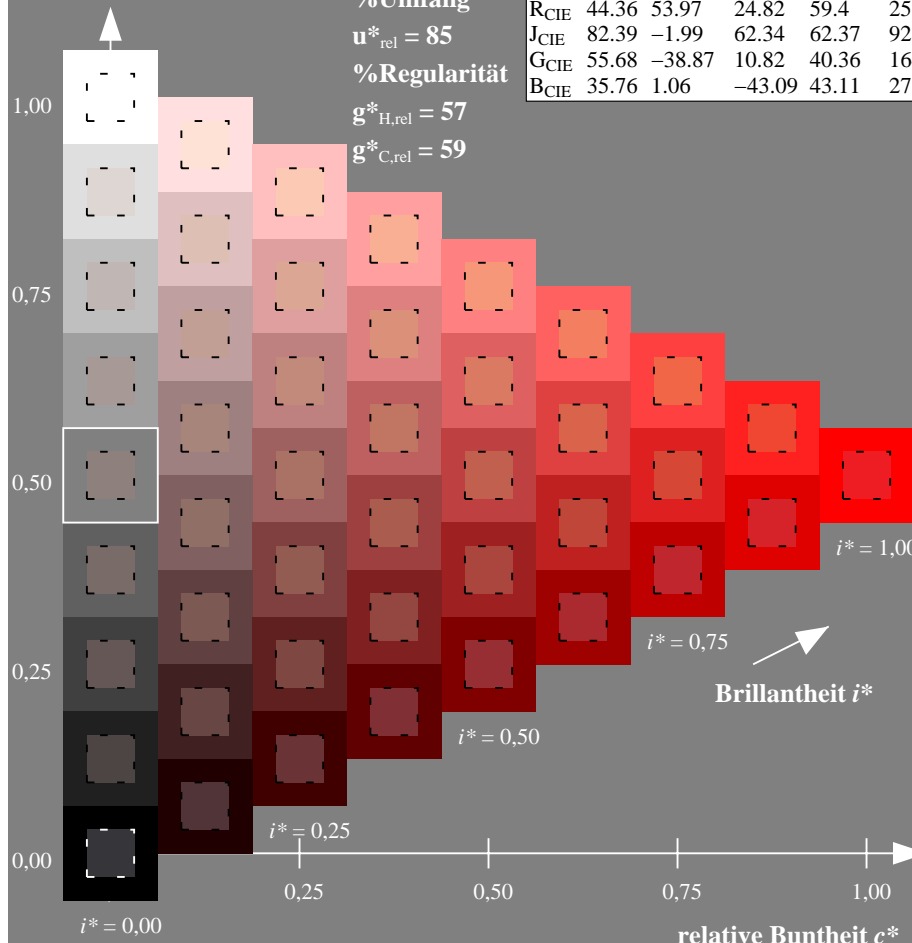
$u^*_{rel} = 85$

%Regularität

$g^*_{H,rel} = 57$

$g^*_{C,rel} = 59$

ORS18; adaptierte CIELAB-Daten					
	$L^*=L^*_a$	a^*_a	b^*_a	$C^*_{ab,a}$	$h^*_{ab,a}$
R	51.79	63.09	29.02	69.44	25
R25J	53.73	56.6	48.42	74.48	41
R50J	65.47	35.67	59.82	69.65	59
R75J	76.51	15.98	70.55	72.34	77
J	86.93	-2.58	80.67	80.71	92
J25G	84.92	-17.23	75.99	77.92	103
J50G	73.11	-32.96	59.0	67.58	119
J75G	60.06	-50.34	40.22	64.44	141
G	56.21	-50.44	14.04	52.36	164
G25B	57.95	-43.12	-3.96	43.31	185
G50B	60.3	-33.22	-28.35	43.68	220
G75B	53.27	-12.42	-41.26	43.1	253
B	46.07	1.01	-41.12	41.15	271
B25R	34.63	22.38	-40.91	46.64	299
B50R	45.15	55.92	-18.57	58.93	342
B75R	51.85	65.84	12.67	67.04	11



ZG900-7F, 9stufige Reihen für konstanten CIELAB Buntton 38/360 = 0.105 (links)

Seite 1/36

ZG900-7F, 16stufige Reihen für konstanten CIELAB Buntton 38/360 = 0.105 (rechts)

BAM-Prüfvorlage ZG90; Farbmétrik-Systeme, Seite 1/36

D65: 9 und 16stufige Farbreihen für 6 Geräte-Bunttöne

Eingabe: $rgb / cmy0 set(rgb/cmyk)color$

Ausgabe: keine Eingabeänderung

Eingabe: Farbmétrisches Offset-Reflektiv-System ORS18

für Buntton $h^* = lab^*h = 151/360 = 0.419$

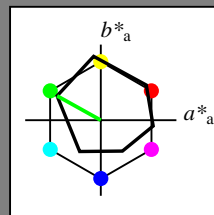
lab^*tch und lab^*nch

D65: Buntton L

LCH*Ma: 54 66 151

olv*Ma: 0.0 1.0 0.0

Dreiecks-Helligkeit t^*



%Umfang

$u^*_{rel} = 85$

%Regularität

$g^*_{H,rel} = 57$

$g^*_{C,rel} = 59$

ORS18; adaptierte CIELAB-Daten

	$L^*=L^*_a$	a^*_a	b^*_a	$C^*_{ab,a}$	$h^*_{ab,a}$
O _{Ma}	51.74	60.16	46.48	76.02	38
Y _{Ma}	90.77	-9.44	84.41	84.94	96
L _{Ma}	54.46	-57.8	32.16	66.15	151
C _{Ma}	61.56	-27.91	-41.41	49.95	236
V _{Ma}	31.3	28.61	-40.85	49.88	305
M _{Ma}	51.91	69.26	-7.69	69.68	354
N _{Ma}	24.2	0.0	0.0	0.0	0
W _{Ma}	95.41	0.0	0.0	0.0	0
R _{CIE}	44.36	53.97	24.82	59.4	25
J _{CIE}	82.39	-1.99	62.34	62.37	92
G _{CIE}	55.68	-38.87	10.82	40.36	164
B _{CIE}	35.76	1.06	-43.09	43.11	271

Ausgabe: Farbmétrisches Offset-Reflektiv-System ORS18

für Buntton $h^* = lab^*h = 151/360 = 0.419$

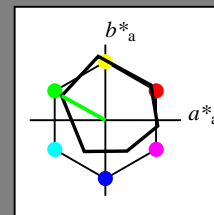
lab^*tch und lab^*nch

D65: Buntton L

LCH*Ma: 54 66 151

olv*Ma: 0.0 1.0 0.0

Dreiecks-Helligkeit t^*



%Umfang

$u^*_{rel} = 85$

%Regularität

$g^*_{H,rel} = 57$

$g^*_{C,rel} = 59$

ORS18; adaptierte CIELAB-Daten

	$L^*=L^*_a$	a^*_a	b^*_a	$C^*_{ab,a}$	$h^*_{ab,a}$
R	51.79	63.09	29.02	69.44	25
R25J	53.73	56.6	48.42	74.48	41
R50J	65.47	35.67	59.82	69.65	59
R75J	76.51	15.98	70.55	72.34	77
J	86.93	-2.58	80.67	80.71	92
J25G	84.92	-17.23	75.99	77.92	103
J50G	73.11	-32.96	59.0	67.58	119
J75G	60.06	-50.34	40.22	64.44	141
G	56.21	-50.44	14.04	52.36	164
G25B	57.95	-43.12	-3.96	43.31	185
G50B	60.3	-33.22	-28.35	43.68	220
G75B	53.27	-12.42	-41.26	43.1	253
B	46.07	1.01	-41.12	41.15	271
B25R	34.63	22.38	-40.91	46.64	299
B50R	45.15	55.92	-18.57	58.93	342
B75R	51.85	65.84	12.67	67.04	11

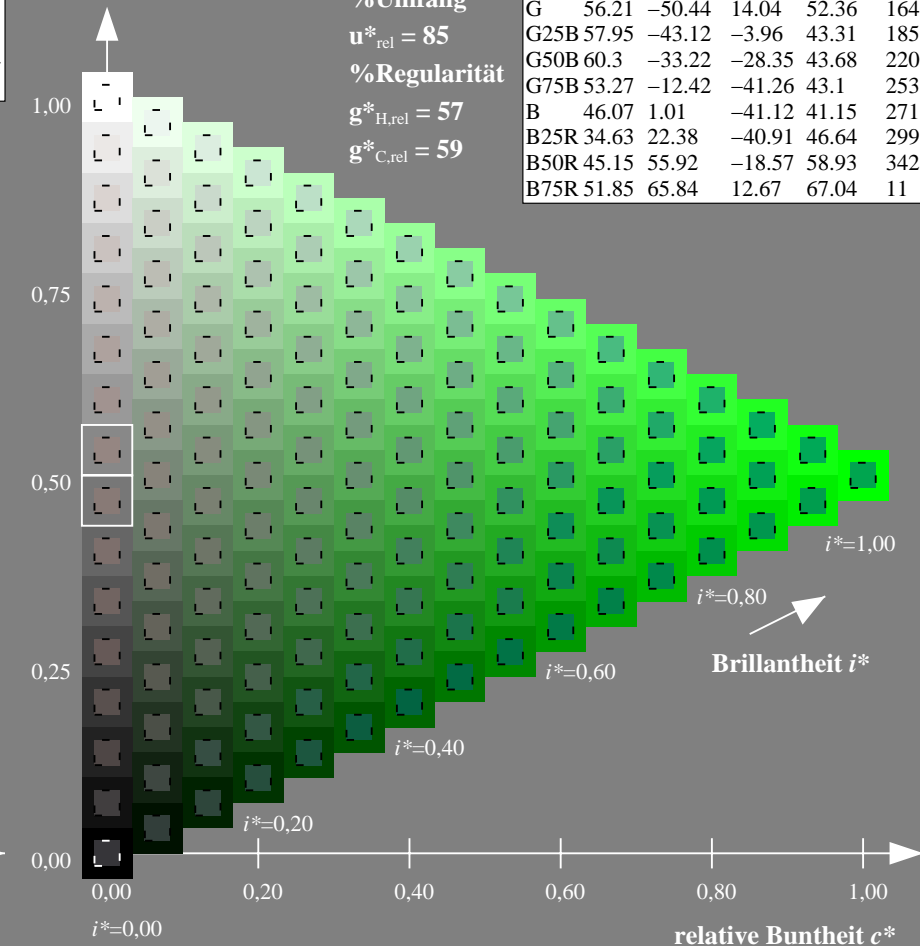
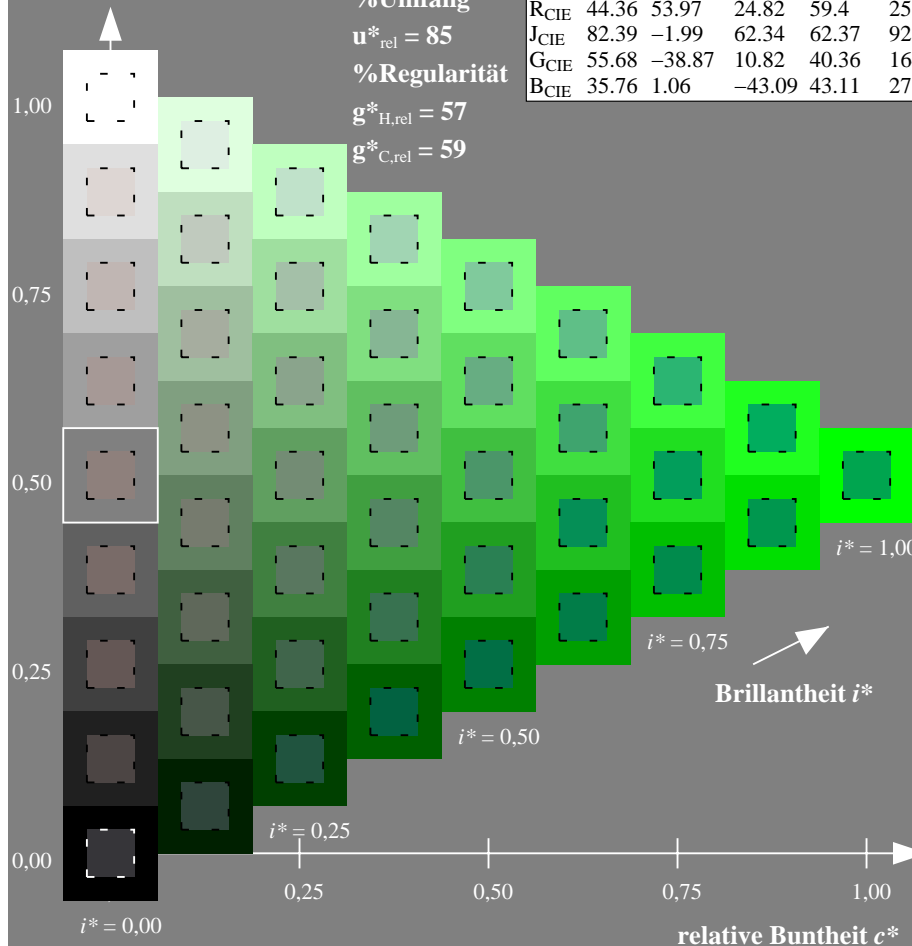
%Umfang

$u^*_{rel} = 85$

%Regularität

$g^*_{H,rel} = 57$

$g^*_{C,rel} = 59$



ZG900-7F, 9stufige Reihen für konstanten CIELAB Buntton 151/360 = 0.419 (links)

Seite 3/36

ZG900-7F, 16stufige Reihen für konstanten CIELAB Buntton 151/360 = 0.419 (rechts)

BAM-Prüfvorlage ZG90; Farbmétrik-Systeme, Seite 3/36

D65: 9 und 16stufige Farbreihen für 6 Geräte-Bunttöne

Eingabe: $rgb / cmy0$ set($rgb/cmyk$)color

Ausgabe: keine Eingabeänderung

Siehe ähnliche Dateien: <http://www.ps.bam.de/ZG90/>; www.ps.bam.de/ZG.HTM
Technische Information: <http://www.ps.bam.de> Version 2.1, io=1,1, CIELAB

BAM-Registrierung: 20071001-ZG90/10/L90G00FA.PS/.TXT BAM-Material: Code=rha4ta
- Anwendung für Beurteilung und Messung von Drucker- oder Monitorsystemen

Eingabe: Farbmétrisches Offset-Reflektiv-System ORS18

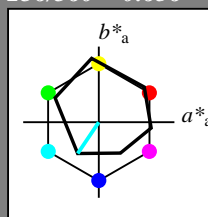
für Buntton $h^* = lab^*h = 236/360 = 0.656$

*lab*tch* und *lab*nch*

D65: Buntton C

LCH*Ma: 62 50 236

olv*Ma: 0.0 1.0 1.0

**ORS18; adaptierte CIELAB-Daten**

	$L^* = L_a^*$	a_a^*	b_a^*	$C_{ab,a}^*$	$h_{ab,a}^*$
O _{Ma}	51.74	60.16	46.48	76.02	38.4
Y _{Ma}	90.77	-9.44	84.41	84.94	96.4
L _{Ma}	54.46	-57.8	32.16	66.15	153.6
C _{Ma}	61.56	-27.91	-41.41	49.95	236.8
V _{Ma}	31.3	28.61	-40.85	49.88	305.6
M _{Ma}	51.91	69.26	-7.69	69.68	354.4
N _{Ma}	24.2	0.0	0.0	0.0	0
W _{Ma}	95.41	0.0	0.0	0.0	0
R _{CIE}	44.36	53.97	24.82	59.4	25.6
J _{CIE}	82.39	-1.99	62.34	62.37	92.4
G _{CIE}	55.68	-38.87	10.82	40.36	164.8
B _{CIE}	35.76	1.06	-43.09	43.11	271.6

Dreiecks-Helligkeit t^*

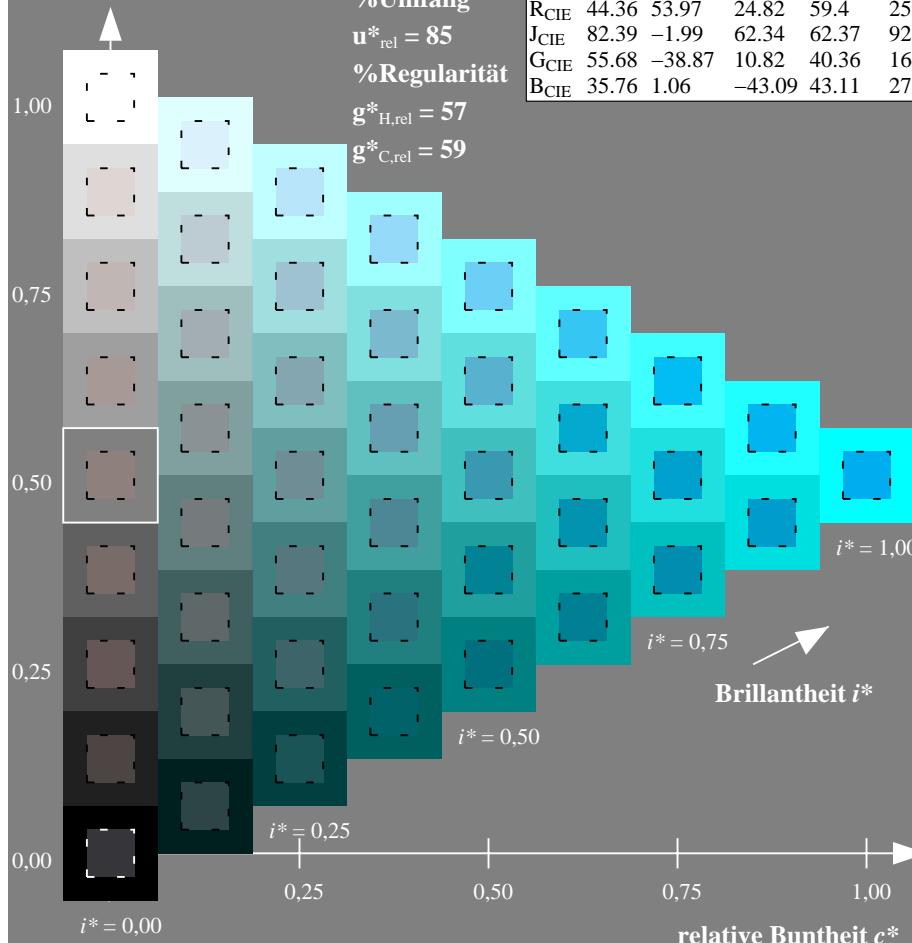
%Umfang

$$\mathbf{u}_{\text{rel}}^* = 85$$

%Regularität

$$g^*_{H_{rel}} = 57$$

■ $g^*_{C_{rel}} = 59$

ZG900-7F, 9stufige Reihen für konstanten CIELAB Buntton $236/360 = 0.656$ (links)

Seite 4/36

BAM-Prüfvorlage ZG90: Farbmetrik-Systeme. Seite 4/36

D65: 9 und 16stufige Farbreihen für 6 Geräte-Bunttöne

Ausgabe: Farbmétrisches Offset-Reflektiv-System ORS18

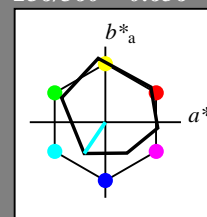
für Buntton $h^* = lab^*h = 236/360 = 0.656$

lab*tch und lab*nch

D65: Buntton C

LCH*Ma: 62 50 236

olv*Ma: 0.0 1.0 1.0

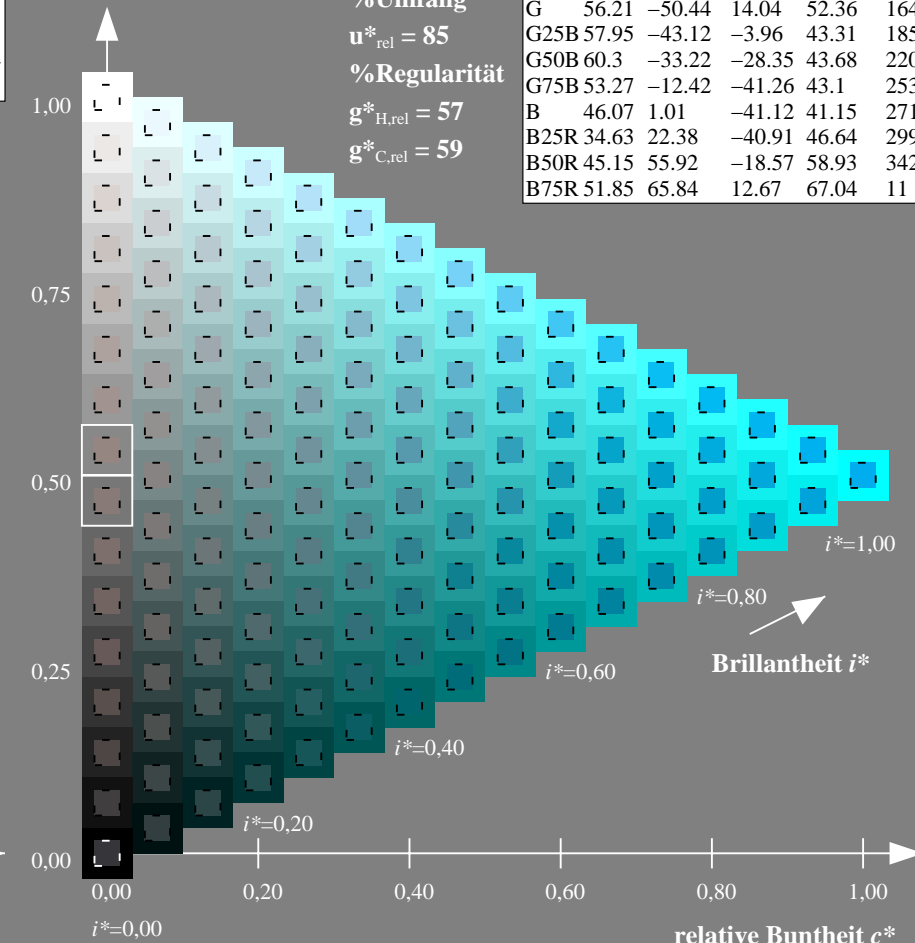


Dreiecks-Helligkeit t^*

%Umfang

$$\mathbf{u}_{\text{rel}}^* = 85$$

%Regularität

$$g^*_{H_{rel}} = 57$$
$$g^*_{C_{rel}} = 59$$
ZG900-7F, 16stufige Reihen für konstanten CIELAB Buntton $236/360 = 0.656$ (rechts)

4/36 Eingabe: *rgb / cmv0 set(rgb/cmyk)color*

Ausgabe: keine Eingabeänderung

Eingabe: Farbmimetrisches Offset-Reflektiv-System ORS18

für Buntton $h^* = lab^*h = 305/360 = 0.847$

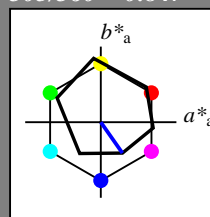
lab^*tch und lab^*nch

D65: Buntton V

LCH*Ma: 31 50 305

olv*Ma: 0.0 0.0 1.0

Dreiecks-Helligkeit t^*



%Umfang

$u^*_{rel} = 85$

%Regularität

$g^*_{H,rel} = 57$

$g^*_{C,rel} = 59$

ORS18; adaptierte CIELAB-Daten

	$L^*=L^*_a$	a^*_a	b^*_a	$C^*_{ab,a}$	$h^*_{ab,a}$
O _{Ma}	51.74	60.16	46.48	76.02	38
Y _{Ma}	90.77	-9.44	84.41	84.94	96
L _{Ma}	54.46	-57.8	32.16	66.15	151
C _{Ma}	61.56	-27.91	-41.41	49.95	236
V _{Ma}	31.3	28.61	-40.85	49.88	305
M _{Ma}	51.91	69.26	-7.69	69.68	354
N _{Ma}	24.2	0.0	0.0	0.0	0
W _{Ma}	95.41	0.0	0.0	0.0	0
R _{CIE}	44.36	53.97	24.82	59.4	25
J _{CIE}	82.39	-1.99	62.34	62.37	92
G _{CIE}	55.68	-38.87	10.82	40.36	164
B _{CIE}	35.76	1.06	-43.09	43.11	271

Ausgabe: Farbmimetrisches Offset-Reflektiv-System ORS18

für Buntton $h^* = lab^*h = 305/360 = 0.847$

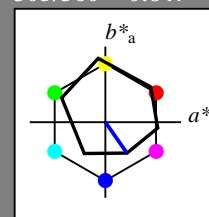
lab^*tch und lab^*nch

D65: Buntton V

LCH*Ma: 31 50 305

olv*Ma: 0.0 0.0 1.0

Dreiecks-Helligkeit t^*



%Umfang

$u^*_{rel} = 85$

%Regularität

$g^*_{H,rel} = 57$

$g^*_{C,rel} = 59$

ORS18; adaptierte CIELAB-Daten

	$L^*=L^*_a$	a^*_a	b^*_a	$C^*_{ab,a}$	$h^*_{ab,a}$
R	51.79	63.09	29.02	69.44	25
R25J	53.73	56.6	48.42	74.48	41
R50J	65.47	35.67	59.82	69.65	59
R75J	76.51	15.98	70.55	72.34	77
J	86.93	-2.58	80.67	80.71	92
J25G	84.92	-17.23	75.99	77.92	103
J50G	73.11	-32.96	59.0	67.58	119
J75G	60.06	-50.34	40.22	64.44	141
G	56.21	-50.44	14.04	52.36	164
G25B	57.95	-43.12	-3.96	43.31	185
G50B	60.3	-33.22	-28.35	43.68	220
G75B	53.27	-12.42	-41.26	43.1	253
B	46.07	1.01	-41.12	41.15	271
B25R	34.63	22.38	-40.91	46.64	299
B50R	45.15	55.92	-18.57	58.93	342
B75R	51.85	65.84	12.67	67.04	11

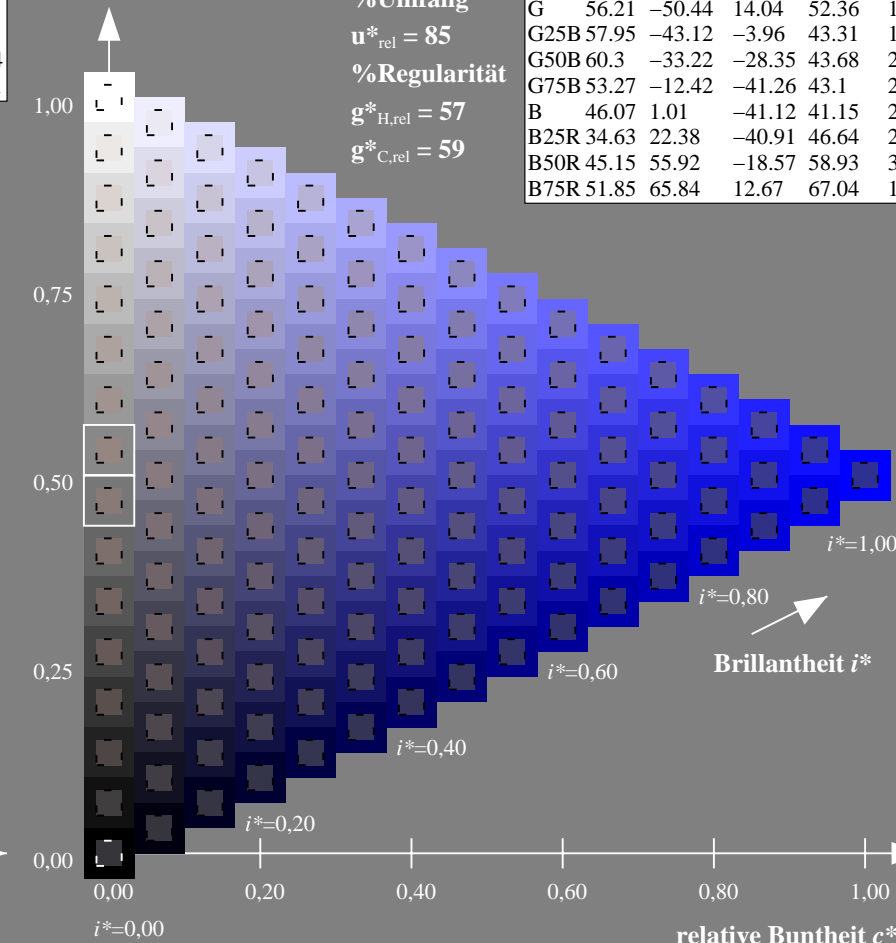
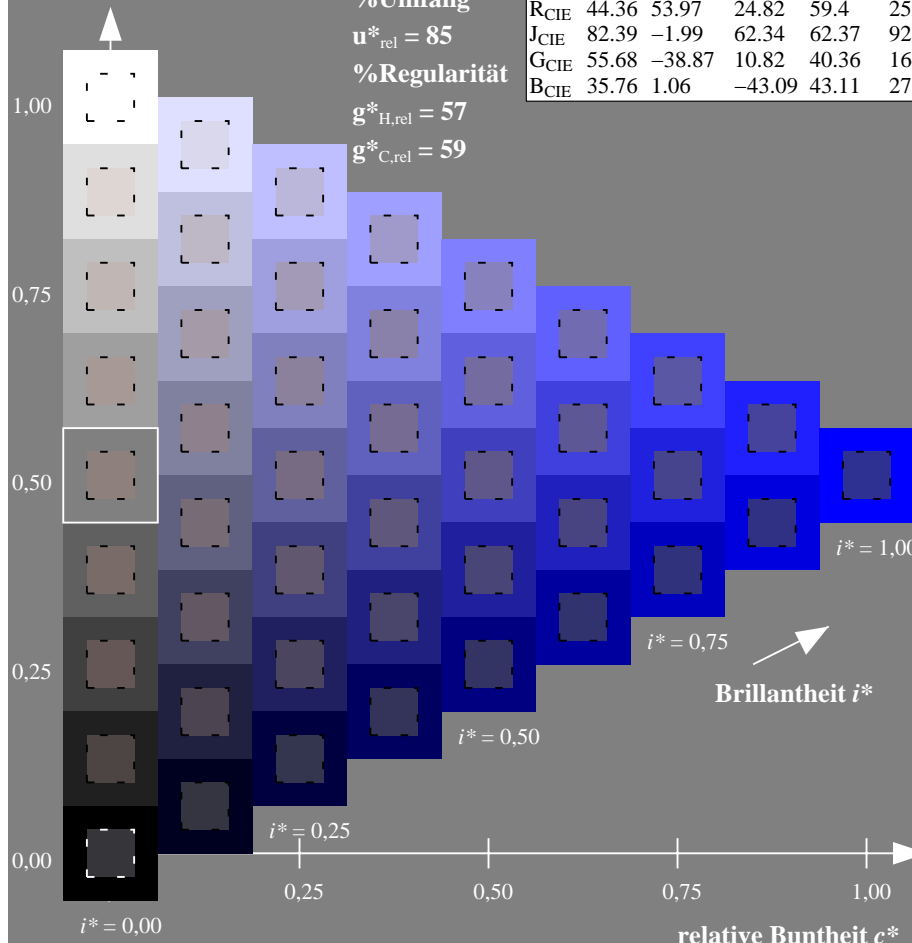
%Umfang

$u^*_{rel} = 85$

%Regularität

$g^*_{H,rel} = 57$

$g^*_{C,rel} = 59$



ZG900-7F, 9stufige Reihen für konstanten CIELAB Buntton 305/360 = 0.847 (links)

Seite 5/36

ZG900-7F, 16stufige Reihen für konstanten CIELAB Buntton 305/360 = 0.847 (rechts)

BAM-Prüfvorlage ZG90; Farbmimetrik-Systeme, Seite 5/36

D65: 9 und 16stufige Farbreihen für 6 Geräte-Bunttöne

Eingabe: $rgb / cmy0$ set($rgb/cmyk$)color

Ausgabe: keine Eingabeänderung

Eingabe: Farbmétrisches Offset-Reflektiv-System ORS18

für Buntton $h^* = lab^*h = 354/360 = 0.982$

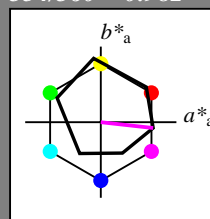
lab^*tch und lab^*nch

D65: Buntton M

LCH*Ma: 52 70 354

olv*Ma: 1.0 0.0 1.0

Dreiecks-Helligkeit t^*



%Umfang

$u^*_{rel} = 85$

%Regularität

$g^*_{H,rel} = 57$

$g^*_{C,rel} = 59$

ORS18; adaptierte CIELAB-Daten

	$L^*=L^*_a$	a^*_a	b^*_a	$C^*_{ab,a}$	$h^*_{ab,a}$
O _{Ma}	51.74	60.16	46.48	76.02	38
Y _{Ma}	90.77	-9.44	84.41	84.94	96
L _{Ma}	54.46	-57.8	32.16	66.15	151
C _{Ma}	61.56	-27.91	-41.41	49.95	236
V _{Ma}	31.3	28.61	-40.85	49.88	305
M _{Ma}	51.91	69.26	-7.69	69.68	354
N _{Ma}	24.2	0.0	0.0	0.0	0
W _{Ma}	95.41	0.0	0.0	0.0	0
R _{CIE}	44.36	53.97	24.82	59.4	25
J _{CIE}	82.39	-1.99	62.34	62.37	92
G _{CIE}	55.68	-38.87	10.82	40.36	164
B _{CIE}	35.76	1.06	-43.09	43.11	271

Ausgabe: Farbmétrisches Offset-Reflektiv-System ORS18

für Buntton $h^* = lab^*h = 354/360 = 0.982$

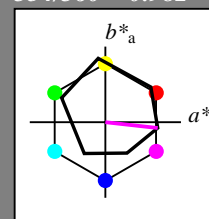
lab^*tch und lab^*nch

D65: Buntton M

LCH*Ma: 52 70 354

olv*Ma: 1.0 0.0 1.0

Dreiecks-Helligkeit t^*



%Umfang

$u^*_{rel} = 85$

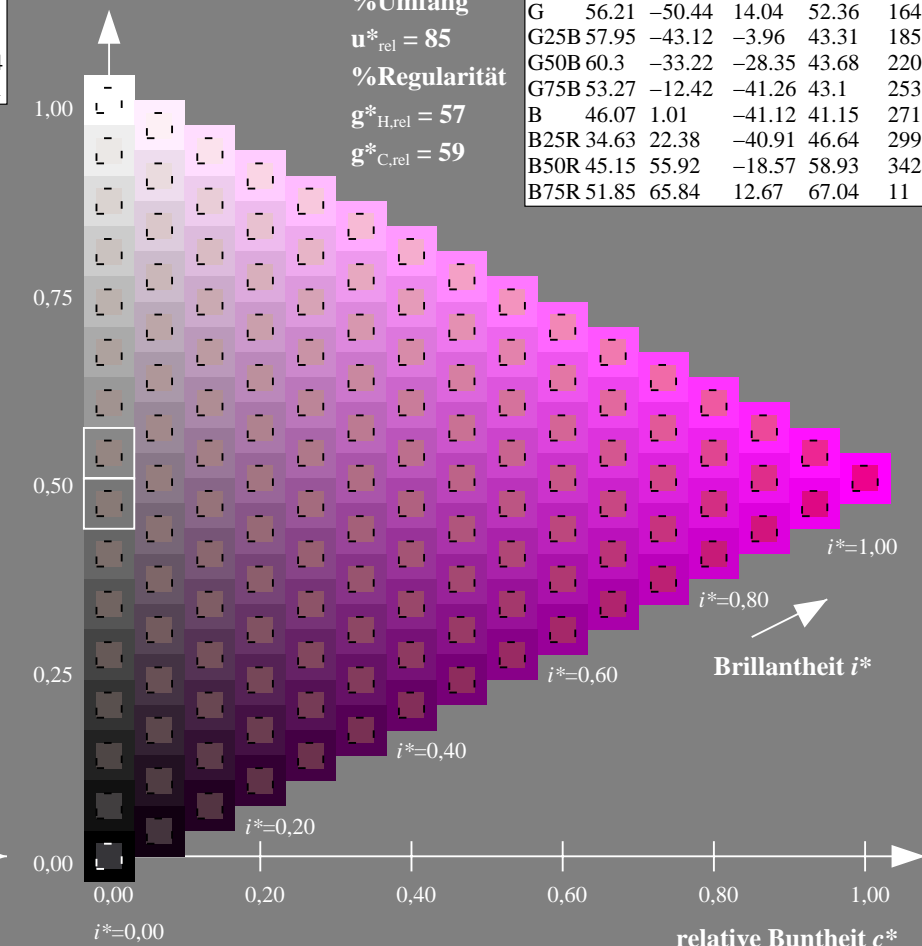
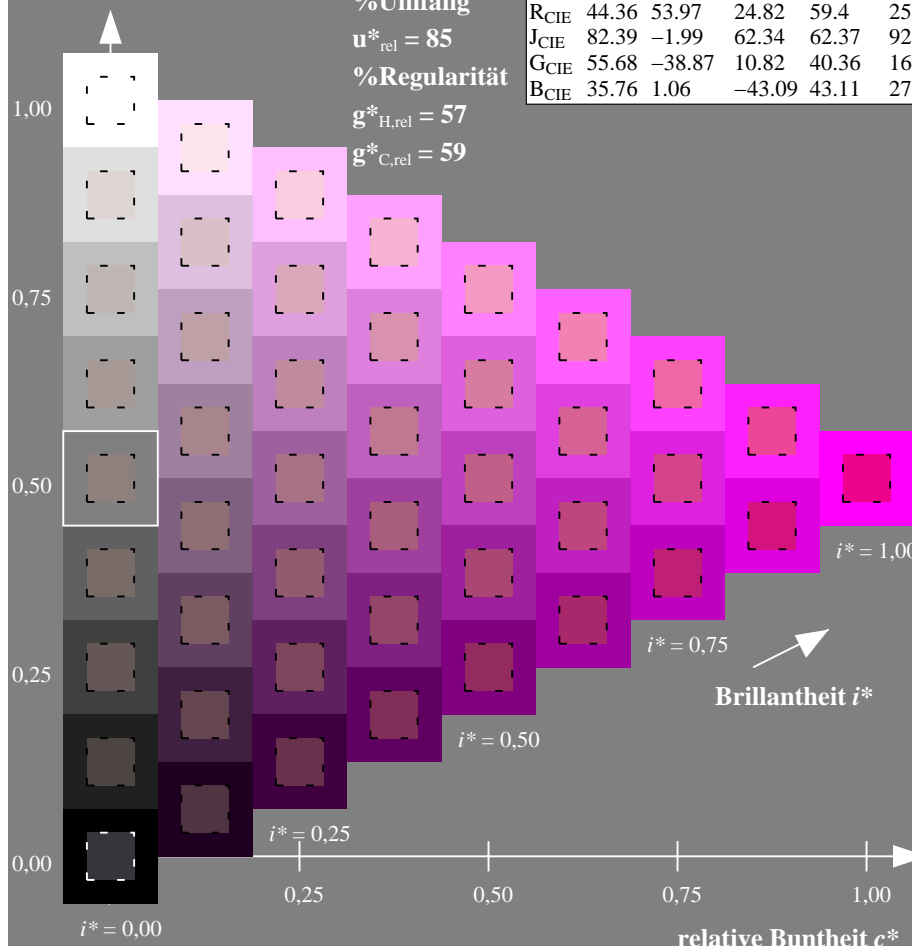
%Regularität

$g^*_{H,rel} = 57$

$g^*_{C,rel} = 59$

ORS18; adaptierte CIELAB-Daten

	$L^*=L^*_a$	a^*_a	b^*_a	$C^*_{ab,a}$	$h^*_{ab,a}$
R	51.79	63.09	29.02	69.44	25
R25J	53.73	56.6	48.42	74.48	41
R50J	65.47	35.67	59.82	69.65	59
R75J	76.51	15.98	70.55	72.34	77
J	86.93	-2.58	80.67	80.71	92
J25G	84.92	-17.23	75.99	77.92	103
J50G	73.11	-32.96	59.0	67.58	119
J75G	60.06	-50.34	40.22	64.44	141
G	56.21	-50.44	14.04	52.36	164
G25B	57.95	-43.12	-3.96	43.31	185
G50B	60.3	-33.22	-28.35	43.68	220
G75B	53.27	-12.42	-41.26	43.1	253
B	46.07	1.01	-41.12	41.15	271
B25R	34.63	22.38	-40.91	46.64	299
B50R	45.15	55.92	-18.57	58.93	342
B75R	51.85	65.84	12.67	67.04	11



ZG900-7F, 9stufige Reihen für konstanten CIELAB Buntton 354/360 = 0.982 (links)

Seite 6/36

ZG900-7F, 16stufige Reihen für konstanten CIELAB Buntton 354/360 = 0.982 (rechts)

BAM-Prüfvorlage ZG90; Farbmétrik-Systeme, Seite 6/36

D65: 9 und 16stufige Farbreihen für 6 Geräte-Bunttöne

Eingabe: $rgb / cmy0$ set($rgb/cmyk$)color

Ausgabe: keine Eingabeänderung

Eingabe: Farbmétrisches Offset-Reflektiv-System ORS18

für Buntton $h^* = lab^*h = 38/360 = 0.105$

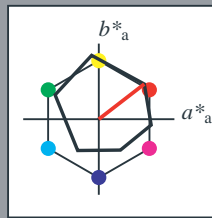
lab^*tch und lab^*nch

D65: Buntton O

LCH*Ma: 52 76 38

olv*Ma: 1.0 0.0 0.0

Dreiecks-Helligkeit t^*



%Umfang

$u^*_{rel} = 85$

%Regularität

$g^*_{H,rel} = 57$

$g^*_{C,rel} = 59$

ORS18; adaptierte CIELAB-Daten	$L^*=L^*_a$	a^*_a	b^*_a	$C^*_{ab,a}$	$h^*_{ab,a}$
O _{Ma}	51.74	60.16	46.48	76.02	38
Y _{Ma}	90.77	-9.44	84.41	84.94	96
L _{Ma}	54.46	-57.8	32.16	66.15	151
C _{Ma}	61.56	-27.91	-41.41	49.95	236
V _{Ma}	31.3	28.61	-40.85	49.88	305
M _{Ma}	51.91	69.26	-7.69	69.68	354
N _{Ma}	24.2	0.0	0.0	0.0	0
W _{Ma}	95.41	0.0	0.0	0.0	0
R _{CIE}	44.36	53.97	24.82	59.4	25
J _{CIE}	82.39	-1.99	62.34	62.37	92
G _{CIE}	55.68	-38.87	10.82	40.36	164
B _{CIE}	35.76	1.06	-43.09	43.11	271

Ausgabe: Farbmétrisches Offset-Reflektiv-System ORS18

für Buntton $h^* = lab^*h = 38/360 = 0.105$

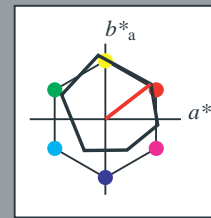
lab^*tch und lab^*nch

D65: Buntton O

LCH*Ma: 52 76 38

olv*Ma: 1.0 0.0 0.0

Dreiecks-Helligkeit t^*



%Umfang

$u^*_{rel} = 85$

%Regularität

$g^*_{H,rel} = 57$

$g^*_{C,rel} = 59$

ORS18; adaptierte CIELAB-Daten	$L^*=L^*_a$	a^*_a	b^*_a	$C^*_{ab,a}$	$h^*_{ab,a}$
R	51.79	63.09	29.02	69.44	25
R25J	53.73	56.6	48.42	74.48	41
R50J	65.47	35.67	59.82	69.65	59
R75J	76.51	15.98	70.55	72.34	77
J	86.93	-2.58	80.67	80.71	92
J25G	84.92	-17.23	75.99	77.92	103
J50G	73.11	-32.96	59.0	67.58	119
J75G	60.06	-50.34	40.22	64.44	141
G	56.21	-50.44	14.04	52.36	164
G25B	57.95	-43.12	-3.96	43.31	185
G50B	60.3	-33.22	-28.35	43.68	220
G75B	53.27	-12.42	-41.26	43.1	253
B	46.07	1.01	-41.12	41.15	271
B25R	34.63	22.38	-40.91	46.64	299
B50R	45.15	55.92	-18.57	58.93	342
B75R	51.85	65.84	12.67	67.04	11

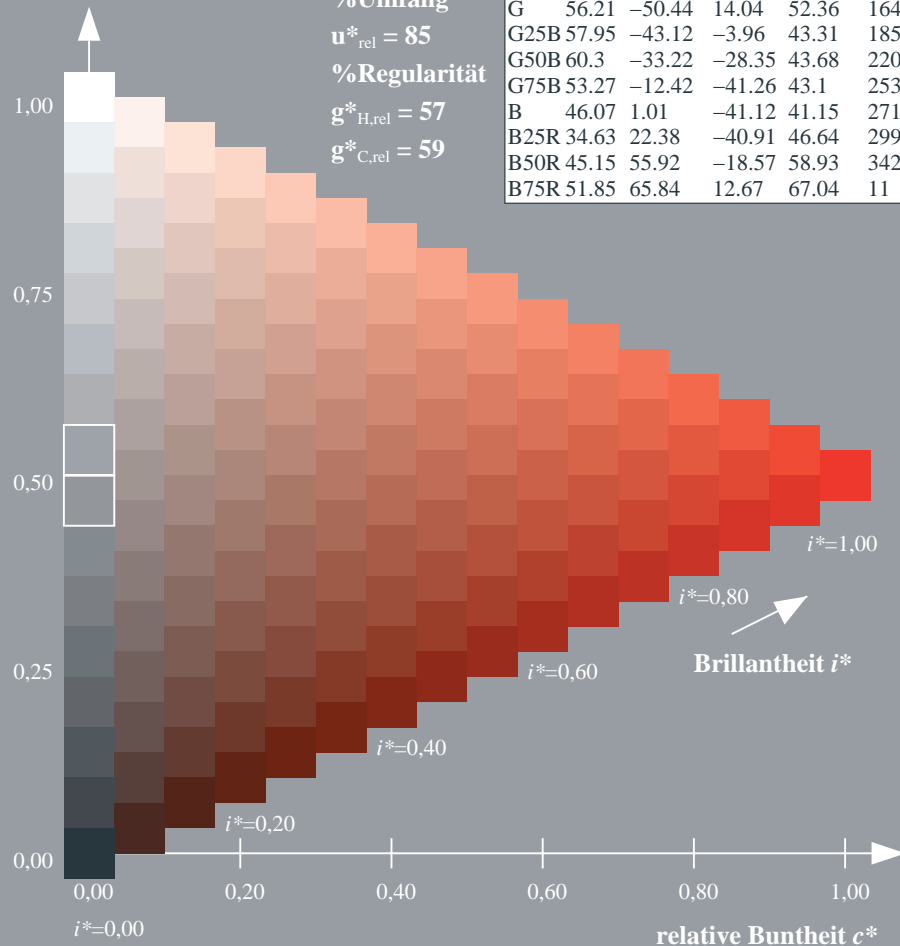
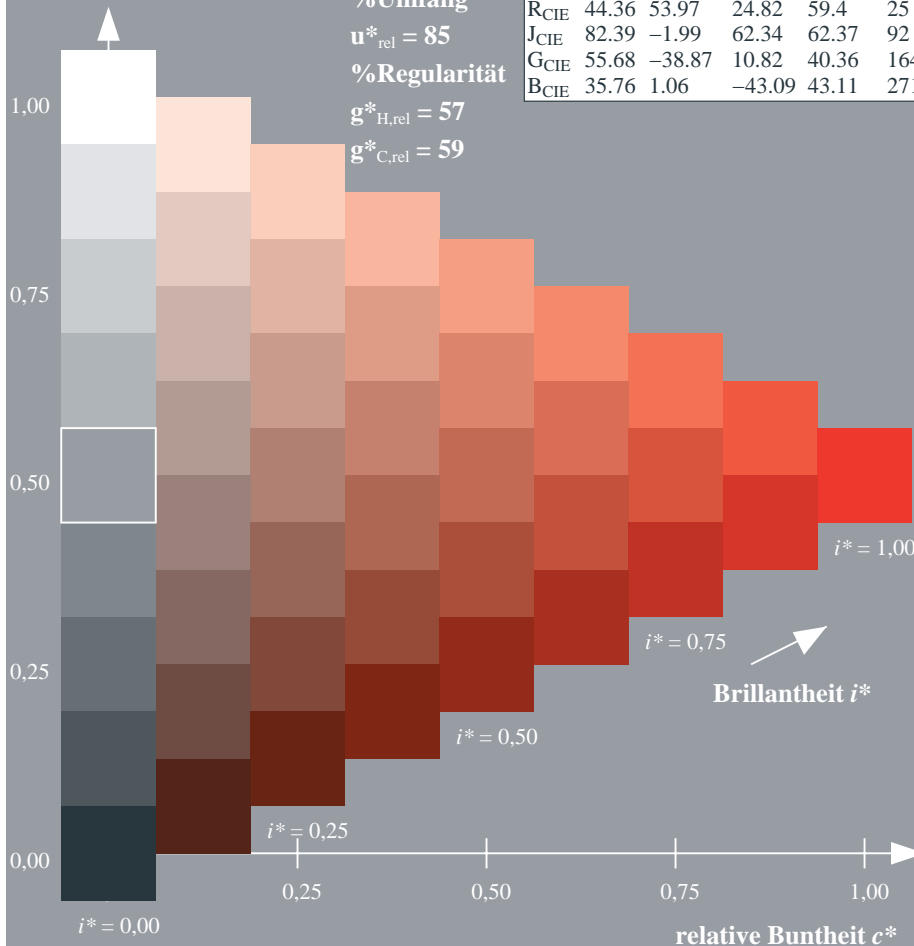
%Umfang

$u^*_{rel} = 85$

%Regularität

$g^*_{H,rel} = 57$

$g^*_{C,rel} = 59$



ZG900-7F, 9stufige Reihen für konstanten CIELAB Buntton 38/360 = 0.105 (links)

Seite 7/36

ZG900-7F, 16stufige Reihen für konstanten CIELAB Buntton 38/360 = 0.105 (rechts)

BAM-Prüfvorlage ZG90; Farbmétrik-Systeme, Seite 7/36
D65: 9 und 16stufige Farbreihen für 6 Geräte-Bunttöne

Eingabe: $rgb / cmy0$ set($rgb/cmyk$)color
Ausgabe: $\rightarrow LAB^* \rightarrow cmy5^*$ set($cmykcolo$

Eingabe: Farbmimetrisches Offset-Reflektiv-System ORS18

für Buntton $h^* = lab^*h = 96/360 = 0.268$

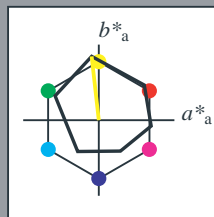
lab^*tch und lab^*nch

D65: Buntton Y

LCH*Ma: 91 85 96

olv*Ma: 1.0 1.0 0.0

Dreiecks-Helligkeit t^*



%Umfang

$u^*_{rel} = 85$

%Regularität

$g^*_{H,rel} = 57$

$g^*_{C,rel} = 59$

ORS18; adaptierte CIELAB-Daten	$L^*=L^*_a$	a^*_a	b^*_a	$C^*_{ab,a}$	$h^*_{ab,a}$
O _{Ma}	51.74	60.16	46.48	76.02	38
Y _{Ma}	90.77	-9.44	84.41	84.94	96
L _{Ma}	54.46	-57.8	32.16	66.15	151
C _{Ma}	61.56	-27.91	-41.41	49.95	236
V _{Ma}	31.3	28.61	-40.85	49.88	305
M _{Ma}	51.91	69.26	-7.69	69.68	354
N _{Ma}	24.2	0.0	0.0	0.0	0
W _{Ma}	95.41	0.0	0.0	0.0	0
R _{CIE}	44.36	53.97	24.82	59.4	25
J _{CIE}	82.39	-1.99	62.34	62.37	92
G _{CIE}	55.68	-38.87	10.82	40.36	164
B _{CIE}	35.76	1.06	-43.09	43.11	271

Ausgabe: Farbmimetrisches Offset-Reflektiv-System ORS18

für Buntton $h^* = lab^*h = 96/360 = 0.268$

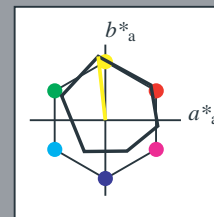
lab^*tch und lab^*nch

D65: Buntton Y

LCH*Ma: 91 85 96

olv*Ma: 1.0 1.0 0.0

Dreiecks-Helligkeit t^*



%Umfang

$u^*_{rel} = 85$

%Regularität

$g^*_{H,rel} = 57$

$g^*_{C,rel} = 59$

ORS18; adaptierte CIELAB-Daten	$L^*=L^*_a$	a^*_a	b^*_a	$C^*_{ab,a}$	$h^*_{ab,a}$
R	51.79	63.09	29.02	69.44	25
R25J	53.73	56.6	48.42	74.48	41
R50J	65.47	35.67	59.82	69.65	59
R75J	76.51	15.98	70.55	72.34	77
J	86.93	-2.58	80.67	80.71	92
J25G	84.92	-17.23	75.99	77.92	103
J50G	73.11	-32.96	59.0	67.58	119
J75G	60.06	-50.34	40.22	64.44	141
G	56.21	-50.44	14.04	52.36	164
G25B	57.95	-43.12	-3.96	43.31	185
G50B	60.3	-33.22	-28.35	43.68	220
G75B	53.27	-12.42	-41.26	43.1	253
B	46.07	1.01	-41.12	41.15	271
B25R	34.63	22.38	-40.91	46.64	299
B50R	45.15	55.92	-18.57	58.93	342
B75R	51.85	65.84	12.67	67.04	11

%Umfang

$u^*_{rel} = 85$

%Regularität

$g^*_{H,rel} = 57$

$g^*_{C,rel} = 59$

%Umfang

$u^*_{rel} = 85$

%Regularität

$g^*_{H,rel} = 57$

$g^*_{C,rel} = 59$

%Umfang

$u^*_{rel} = 85$

%Regularität

$g^*_{H,rel} = 57$

$g^*_{C,rel} = 59$

%Umfang

$u^*_{rel} = 85$

%Regularität

$g^*_{H,rel} = 57$

$g^*_{C,rel} = 59$

%Umfang

$u^*_{rel} = 85$

%Regularität

$g^*_{H,rel} = 57$

$g^*_{C,rel} = 59$

Brillantheit i^*

Brillantheit i^*

ZG900-7F, 9stufige Reihen für konstanten CIELAB Buntton 96/360 = 0.268 (links)

Seite 8/36

ZG900-7F, 16stufige Reihen für konstanten CIELAB Buntton 96/360 = 0.268 (rechts)

BAM-Prüfvorlage ZG90; Farbmimetrik-Systeme, Seite 8/36

D65: 9 und 16stufige Farbreihen für 6 Geräte-Bunttöne

Eingabe: $rgb / cmy0 set(rgb/cmyk)color$

Ausgabe: $->LAB^*->cmy5^* setcmykcolo$

Eingabe: Farbmétrisches Offset-Reflektiv-System ORS18

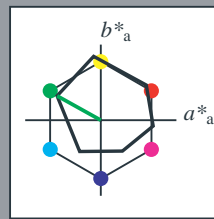
für Buntton $h^* = lab^*h = 151/360 = 0.419$

*lab*tch* und *lab*nch*

D65: Buntton L

LCH*Ma: 54 66 151

olv*Ma: 0.0 1.0 0.0



Dreiecks-Helligkeit t^*

%Umfang

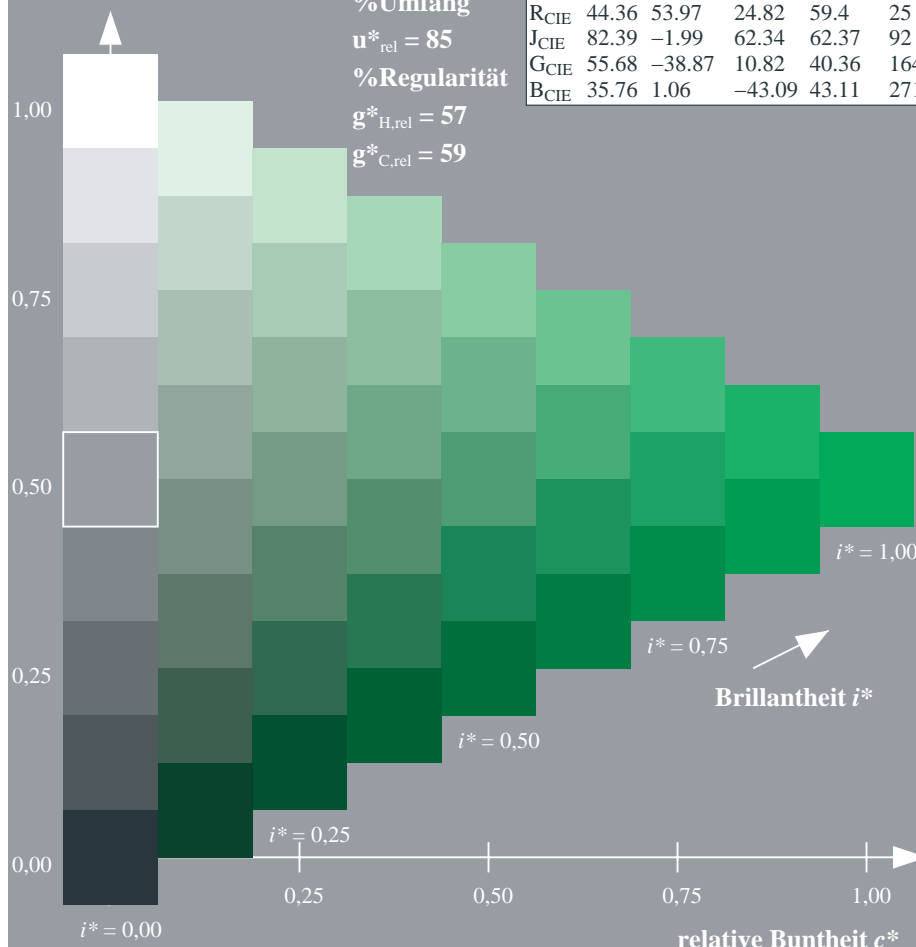
$$\mathbf{u}_{\text{rel}}^* = 85$$

%Regularität

$$g^*_{H,rel} = 57$$

$g^*_{C_{rel}} = 59$

ORS18; adaptierte CIELAB-Daten					
	L^*_a	a^*_a	b^*_a	$C^*_{ab,a}$	$h^*_{ab,a}$
O _{Ma}	51.74	60.16	46.48	76.02	38
Y _{Ma}	90.77	-9.44	84.41	84.94	96
L _{Ma}	54.46	-57.8	32.16	66.15	151
C _{Ma}	61.56	-27.91	-41.41	49.95	236
V _{Ma}	31.3	28.61	-40.85	49.88	305
M _{Ma}	51.91	69.26	-7.69	69.68	354
N _{Ma}	24.2	0.0	0.0	0.0	0
W _{Ma}	95.41	0.0	0.0	0.0	0
R _{CIE}	44.36	53.97	24.82	59.4	25
J _{CIE}	82.39	-1.99	62.34	62.37	92
G _{CIE}	55.68	-38.87	10.82	40.36	164
B _{CIE}	35.76	1.06	-43.09	43.11	271



Ausgabe: Farbmétrisches Offset-Reflektiv-System ORS18

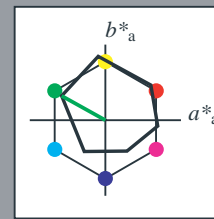
für Buntton $h^* = lab^*h = 151/360 = 0.419$

lab*tch und lab*nch

D65: Buntton L

LCH*Ma: 54 66 151

olv*Ma: 0.0 1.0 0.0



Dreiecks-Helligkeit t^*

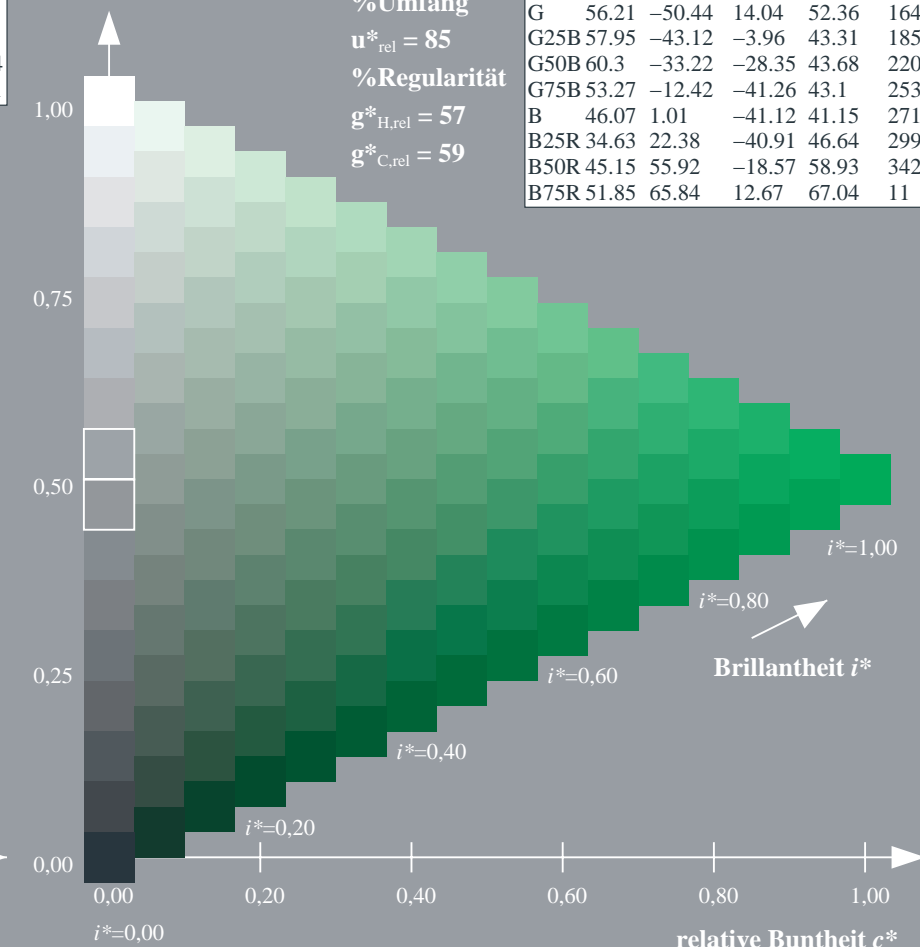
%Umfang

$$\mathbf{u}_{\text{rel}}^* = 85$$

%Regularität

$$g^*_{H,rel} = 57$$
$$g^*_{C_{rel}} = 59$$

ORS18; adaptierte CIELAB-Daten					
	L^*_a	a^*_a	b^*_a	$C^*_{ab,a}$	$h^*_{ab,a}$
R	51.79	63.09	29.02	69.44	25.24
R25J	53.73	56.6	48.42	74.48	41.29
R50J	65.47	35.67	59.82	69.65	59
R75J	76.51	15.98	70.55	72.34	77
J	86.93	-2.58	80.67	80.71	92
J25G	84.92	-17.23	75.99	77.92	103
J50G	73.11	-32.96	59.0	67.58	119
J75G	60.06	-50.34	40.22	64.44	141
G	56.21	-50.44	14.04	52.36	164
G25B	57.95	-43.12	-3.96	43.31	185
G50B	60.3	-33.22	-28.35	43.68	220
G75B	53.27	-12.42	-41.26	43.1	253
B	46.07	1.01	-41.12	41.15	271
B25R	34.63	22.38	-40.91	46.64	299
B50R	45.15	55.92	-18.57	58.93	342
B75R	51.85	65.84	12.67	67.04	411



ZG900-7F, 9stufige Reihen für konstanten CIELAB Buntton $151/360 = 0.419$ (links)

Seite 9/36

ZG900-7F, 16stufige Reihen für konstanten CIELAB Buntton $151/360 = 0.419$ (rechts)

BAM-Prüfvorlage ZG90: Farbmetrik-Systeme. Seite 9/36

D65: 9 und 16stufige Farbreihen für 6 Geräte-Bunttöne

Eingabe: *rgb / cmv0 set(rgb/cmyk)color*

Ausgabe: $\rightarrow LAB^* \rightarrow cmvn5^* setcmvcolo$

Eingabe: Farbmimetrisches Offset-Reflektiv-System ORS18

für Buntton $h^* = lab^*h = 236/360 = 0.656$

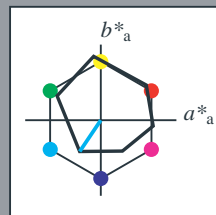
lab^*tch und lab^*nch

D65: Buntton C

LCH*Ma: 62 50 236

olv*Ma: 0.0 1.0 1.0

Dreiecks-Helligkeit t^*



%Umfang

$u^*_{rel} = 85$

%Regularität

$g^*_{H,rel} = 57$

$g^*_{C,rel} = 59$

ORS18; adaptierte CIELAB-Daten	$L^*=L^*_a$	a^*_a	b^*_a	$C^*_{ab,a}$	$h^*_{ab,a}$
O _{Ma}	51.74	60.16	46.48	76.02	38
Y _{Ma}	90.77	-9.44	84.41	84.94	96
L _{Ma}	54.46	-57.8	32.16	66.15	151
C _{Ma}	61.56	-27.91	-41.41	49.95	236
V _{Ma}	31.3	28.61	-40.85	49.88	305
M _{Ma}	51.91	69.26	-7.69	69.68	354
N _{Ma}	24.2	0.0	0.0	0.0	0
W _{Ma}	95.41	0.0	0.0	0.0	0
R _{CIE}	44.36	53.97	24.82	59.4	25
J _{CIE}	82.39	-1.99	62.34	62.37	92
G _{CIE}	55.68	-38.87	10.82	40.36	164
B _{CIE}	35.76	1.06	-43.09	43.11	271

Ausgabe: Farbmimetrisches Offset-Reflektiv-System ORS18

für Buntton $h^* = lab^*h = 236/360 = 0.656$

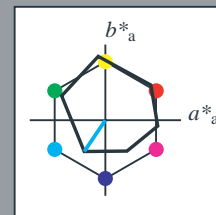
lab^*tch und lab^*nch

D65: Buntton C

LCH*Ma: 62 50 236

olv*Ma: 0.0 1.0 1.0

Dreiecks-Helligkeit t^*



%Umfang

$u^*_{rel} = 85$

%Regularität

$g^*_{H,rel} = 57$

$g^*_{C,rel} = 59$

ORS18; adaptierte CIELAB-Daten	$L^*=L^*_a$	a^*_a	b^*_a	$C^*_{ab,a}$	$h^*_{ab,a}$
R	51.79	63.09	29.02	69.44	25
R25J	53.73	56.6	48.42	74.48	41
R50J	65.47	35.67	59.82	69.65	59
R75J	76.51	15.98	70.55	72.34	77
J	86.93	-2.58	80.67	80.71	92
J25G	84.92	-17.23	75.99	77.92	103
J50G	73.11	-32.96	59.0	67.58	119
J75G	60.06	-50.34	40.22	64.44	141
G	56.21	-50.44	14.04	52.36	164
G25B	57.95	-43.12	-3.96	43.31	185
G50B	60.3	-33.22	-28.35	43.68	220
G75B	53.27	-12.42	-41.26	43.1	253
B	46.07	1.01	-41.12	41.15	271
B25R	34.63	22.38	-40.91	46.64	299
B50R	45.15	55.92	-18.57	58.93	342
B75R	51.85	65.84	12.67	67.04	11

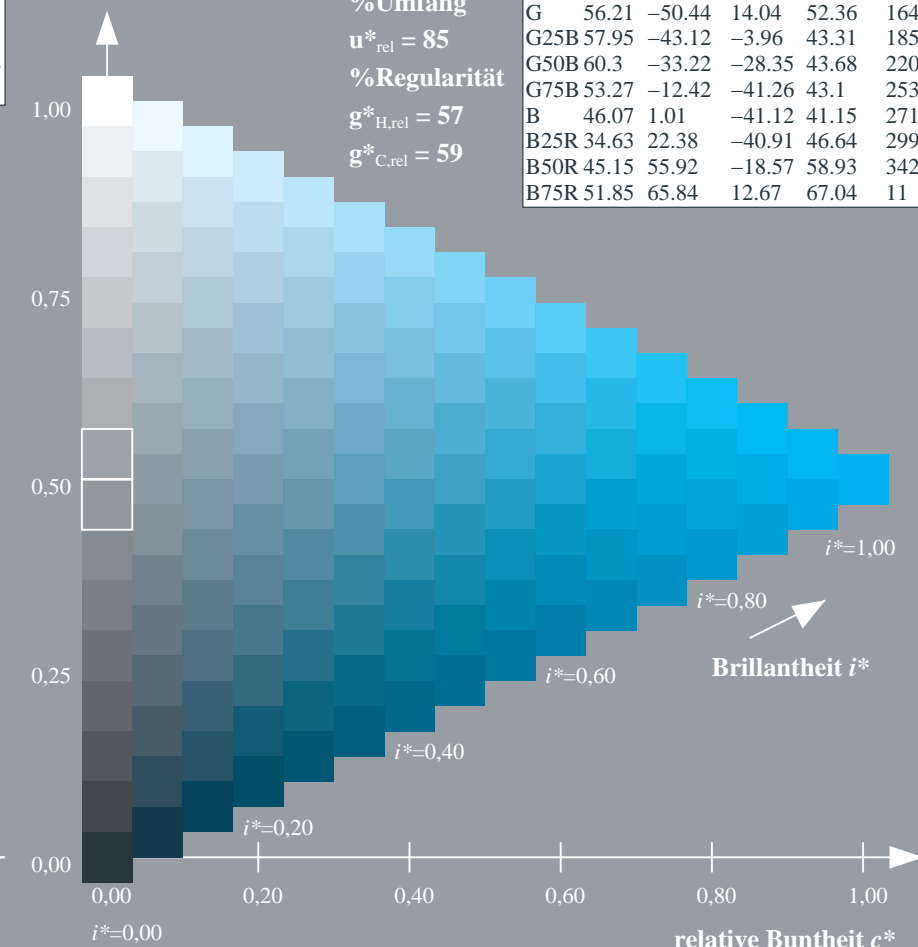
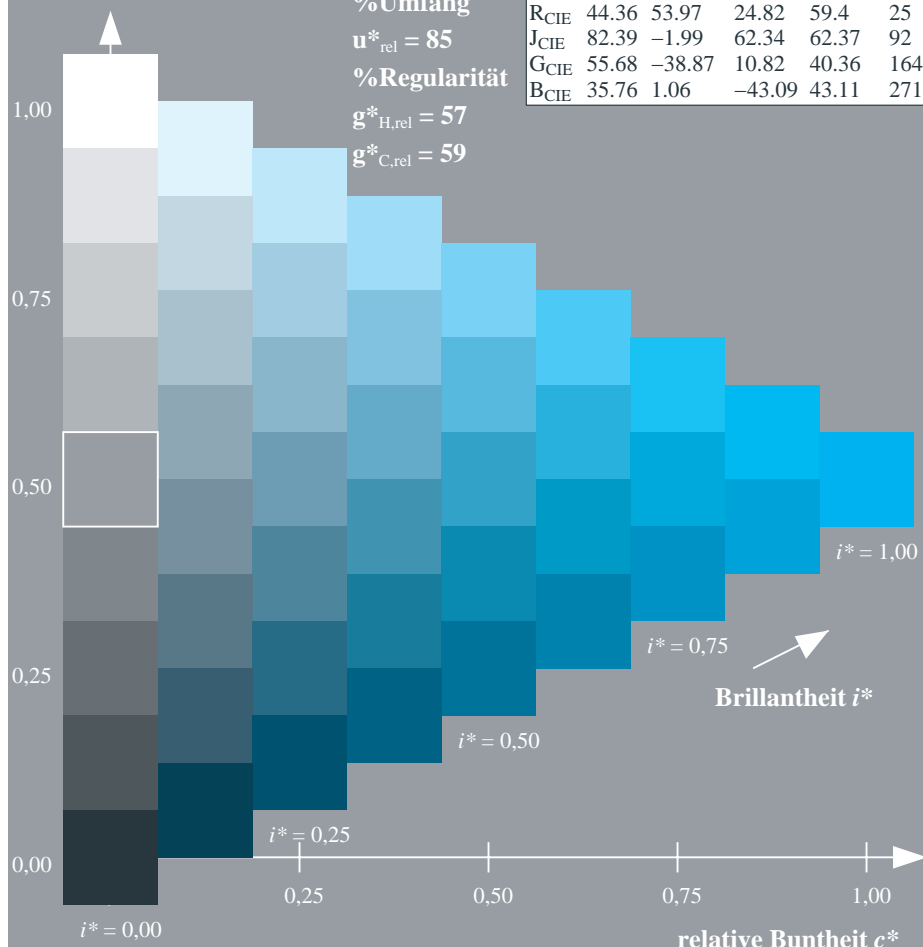
%Umfang

$u^*_{rel} = 85$

%Regularität

$g^*_{H,rel} = 57$

$g^*_{C,rel} = 59$



Eingabe: Farbmétrisches Offset-Reflektiv-System ORS18

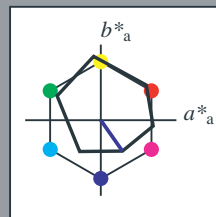
für Buntton $h^* = lab^*h = 305/360 = 0.847$

*lab*tch* und *lab*nch*

D65: Buntton V

LCH*Ma: 31 50 305

olv*Ma: 0.0 0.0 1.0



Dreiecks-Helligkeit t^*

%Umfang

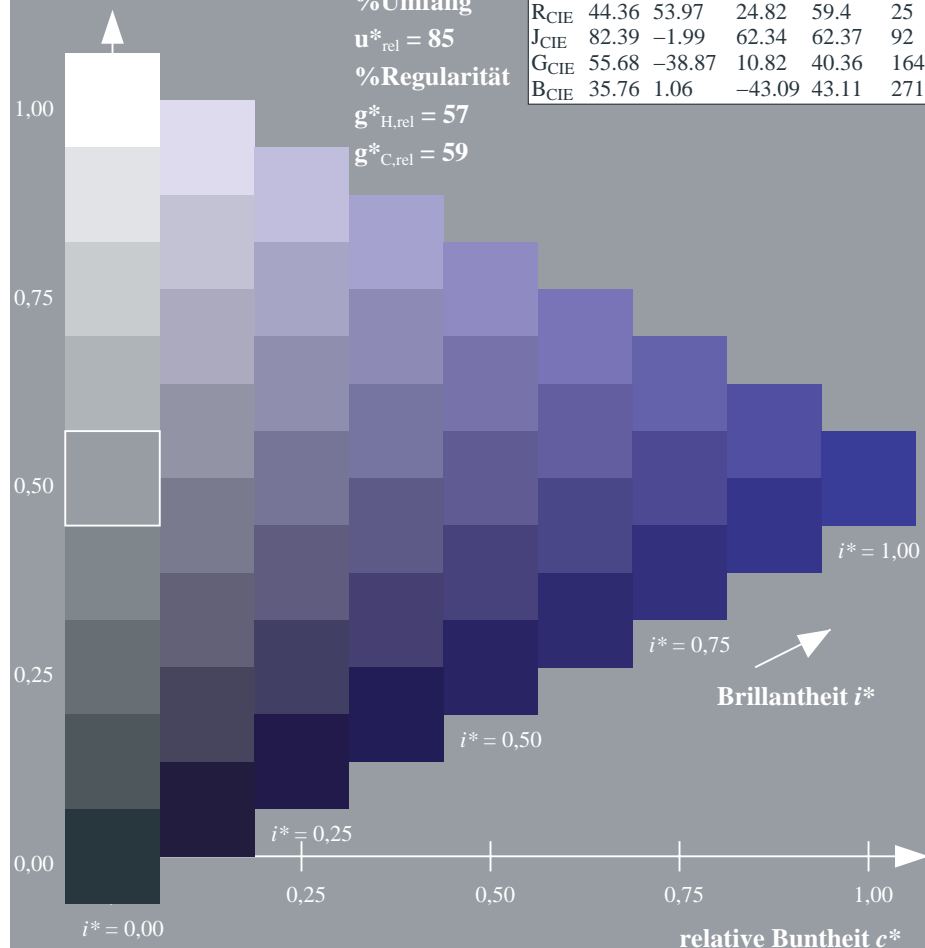
$$\mathbf{u}_{\text{rel}}^* = 85$$

%Regularität

$$g^*_{H,rel} = 57$$

$g^*_{C_{rel}} = 59$

ORS18; adaptierte CIELAB-Daten					
	L^*_a	a^*_a	b^*_a	$C^*_{ab,a}$	$h^*_{ab,a}$
O _{Ma}	51.74	60.16	46.48	76.02	38
Y _{Ma}	90.77	-9.44	84.41	84.94	96
L _{Ma}	54.46	-57.8	32.16	66.15	151
C _{Ma}	61.56	-27.91	-41.41	49.95	236
V _{Ma}	31.3	28.61	-40.85	49.88	305
M _{Ma}	51.91	69.26	-7.69	69.68	354
N _{Ma}	24.2	0.0	0.0	0.0	0
W _{Ma}	95.41	0.0	0.0	0.0	0
R _{CIE}	44.36	53.97	24.82	59.4	25
J _{CIE}	82.39	-1.99	62.34	62.37	92
G _{CIE}	55.68	-38.87	10.82	40.36	164
B _{CIE}	35.76	1.06	-43.09	43.11	271



ZG900–7F, 9stufige Reihen für konstanten CIELAB Buntton 305/360 = 0.847 (links) Seite 11/36

BAM-Prüfvorlage ZG90; Farbmimetrik-Systeme, Seite 11
D65: 9 und 16stufige Farbreihen für 6 Geräte-Bunttöne

Ausgabe: Farbmétrisches Offset-Reflektiv-System ORS18

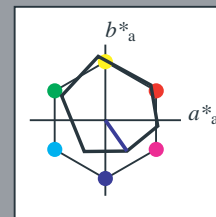
für Buntton $h^* = lab^*h = 305/360 = 0.847$

lab*tch und lab*nch

D65: Buntton V

LCH*Ma: 31 50 305

olv*Ma: 0.0 0.0 1.0



Dreiecks-Helligkeit t^*

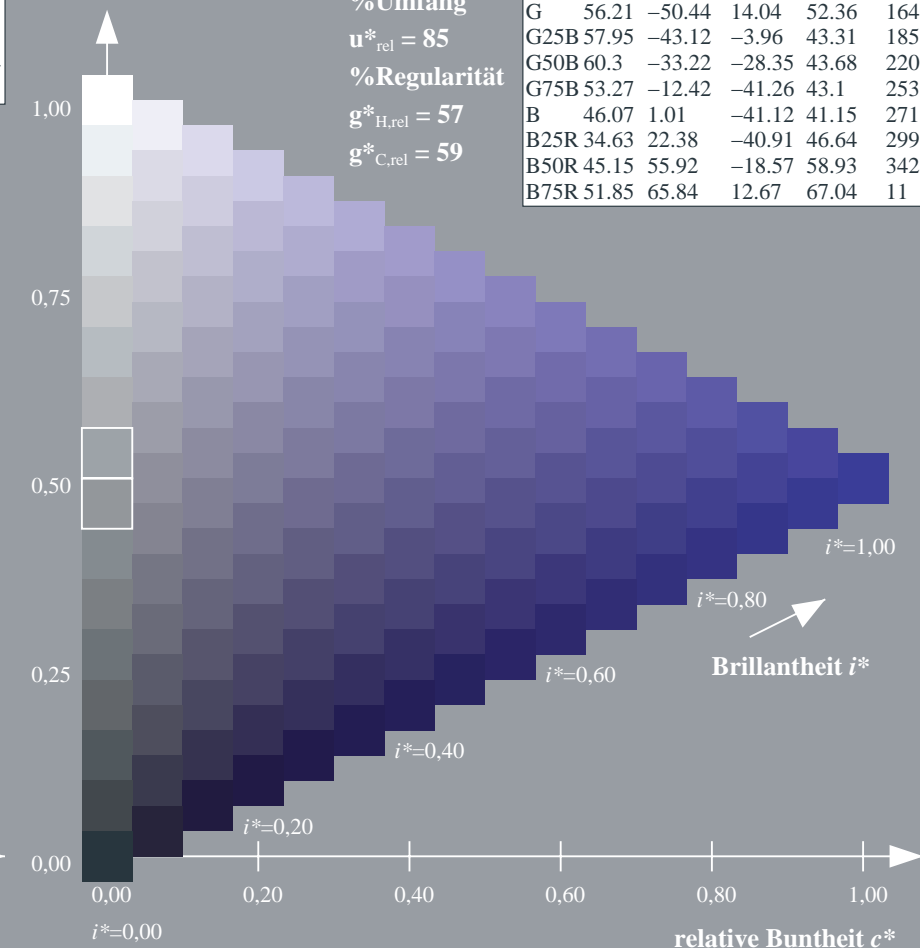
%Umfang

$$\mathbf{u}_{\text{rel}}^* = 85$$

%Regularität

$$g^*_{H,rel} = 57$$
$$g^*_{C_{rel}} = 59$$

ORS18; adaptierte CIELAB-Daten					
	$L^* = L^*_a$	a^*_a	b^*_a	$C^*_{ab,a}$	$h^*_{ab,a}$
R	51.79	63.09	29.02	69.44	25.00
R25J	53.73	56.6	48.42	74.48	41.00
R50J	65.47	35.67	59.82	69.65	59.00
R75J	76.51	15.98	70.55	72.34	77.00
J	86.93	-2.58	80.67	80.71	92.00
J25G	84.92	-17.23	75.99	77.92	103.00
J50G	73.11	-32.96	59.0	67.58	119.00
J75G	60.06	-50.34	40.22	64.44	141.00
G	56.21	-50.44	14.04	52.36	164.00
G25B	57.95	-43.12	-3.96	43.31	185.00
G50B	60.3	-33.22	-28.35	43.68	220.00
G75B	53.27	-12.42	-41.26	43.1	253.00
B	46.07	1.01	-41.12	41.15	271.00
B25R	34.63	22.38	-40.91	46.64	299.00
B50R	45.15	55.92	-18.57	58.93	342.00
B75R	51.85	65.84	12.67	67.04	381.00

ZG900-7F, 16stufige Reihen für konstanten CIELAB Buntton $305/360 = 0.847$ (rechts)

5 Eingabe: *rgb / cmy0 set(rgb/cmyk)color*
Ausgabe: *->LAB*->cmyn5* setcmykcolor*

Eingabe: Farbmétrisches Offset-Reflektiv-System ORS18

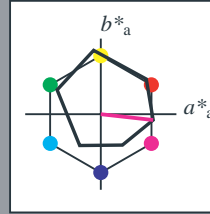
für Buntton $h^* = lab^*h = 354/360 = 0.982$

*lab*tch* und *lab*nch*

D65: Buntton M

LCH*Ma: 52 70 354

olv*Ma: 1.0 0.0 1.0



Dreiecks-Helligkeit t^*

%Umfang

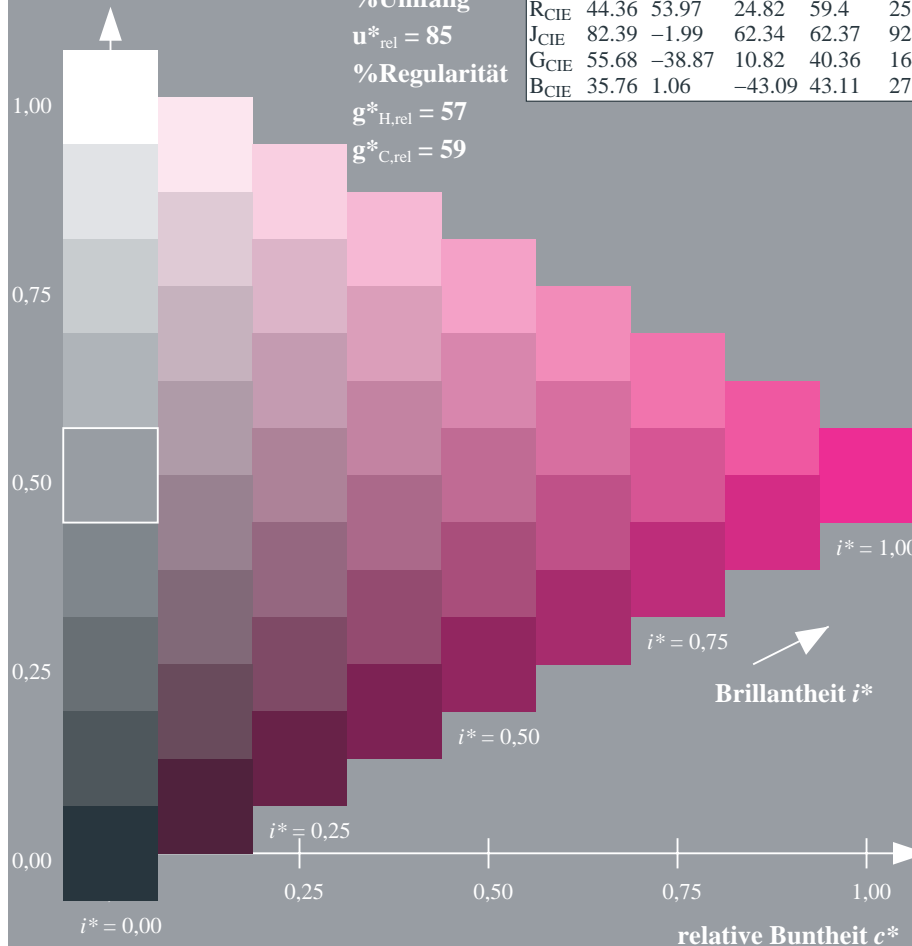
$$\mathbf{u}_{\text{rel}}^* = 85$$

%Regularität

$$g^*_{H,rel} = 57$$

$g^*_{C,rel} = 59$

ORS18; adaptierte CIELAB-Daten					
	L^*_a	a^*_a	b^*_a	$C^*_{ab,a}$	$h^*_{ab,a}$
O _{Ma}	51.74	60.16	46.48	76.02	38
Y _{Ma}	90.77	-9.44	84.41	84.94	96
L _{Ma}	54.46	-57.8	32.16	66.15	151
C _{Ma}	61.56	-27.91	-41.41	49.95	236
V _{Ma}	31.3	28.61	-40.85	49.88	305
M _{Ma}	51.91	69.26	-7.69	69.68	354
N _{Ma}	24.2	0.0	0.0	0.0	0
W _{Ma}	95.41	0.0	0.0	0.0	0
R _{CIE}	44.36	53.97	24.82	59.4	25
J _{CIE}	82.39	-1.99	62.34	62.37	92
G _{CIE}	55.68	-38.87	10.82	40.36	164
B _{CIE}	35.76	1.06	-43.09	43.11	271

ZG900-7F, 9stufige Reihen für konstanten CIELAB Buntton $354/360 = 0.982$ (links) Seite 12/36

BAM-Prüfvorlage ZG90; Farbmimetrik-Systeme, Seite 12
D65: 9 und 16stufige Farbreihen für 6 Geräte-Bunttöne

Ausgabe: Farbmétrisches Offset-Reflektiv-System ORS18

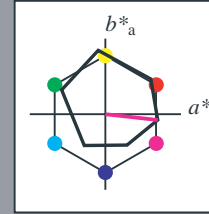
für Buntton $h^* = lab^*h = 354/360 = 0.982$

lab*tch* und *lab*nch

D65: Buntton M

LCH*Ma: 52 70 354

5 **olv*Ma: 1.0 0.0 1.0**



Dreiecks-Helligkeit t^*

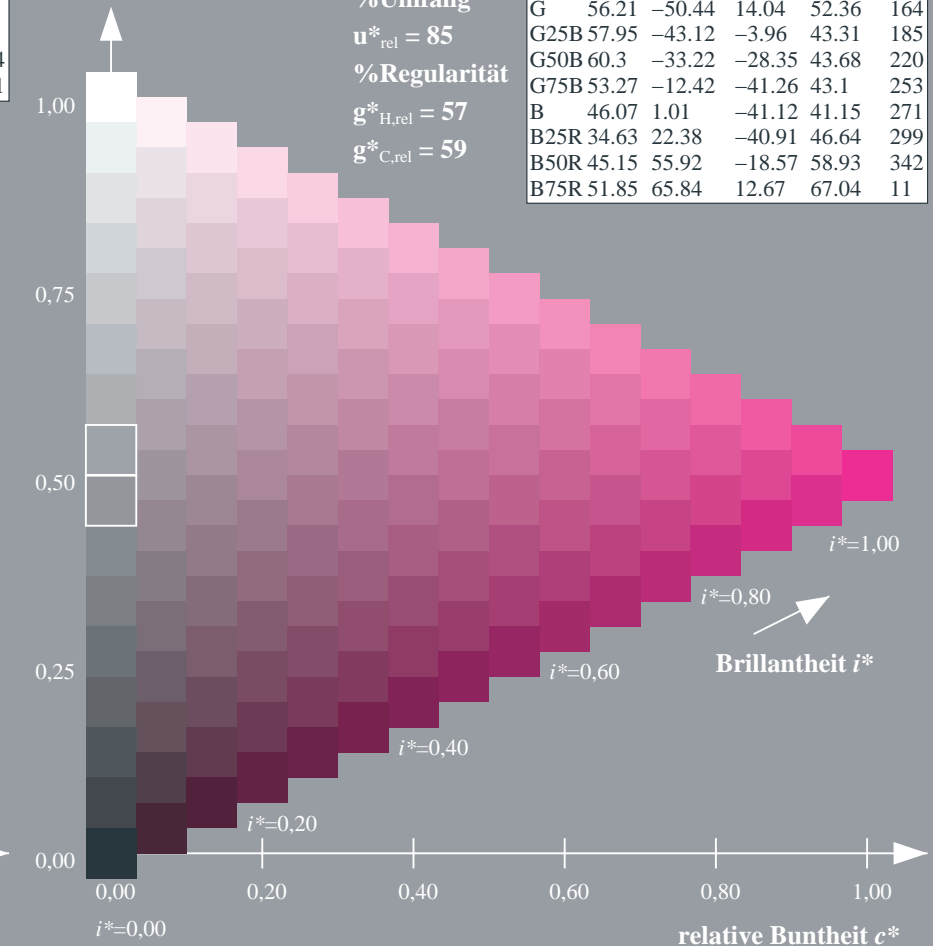
%Umfang

$$\mathbf{u}_{\text{rel}}^* = 85$$

%Regularität

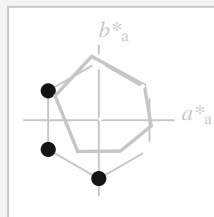
$$g^*_{H,rel} = 57$$
$$g^*_{C,rel} = 59$$

ORS18; adaptierte CIELAB-Daten					
	L^*_a	a^*_a	b^*_a	$C^*_{ab,a}$	$h^*_{ab,a}$
R	51.79	63.09	29.02	69.44	25
R25J	53.73	56.6	48.42	74.48	41
R50J	65.47	35.67	59.82	69.65	59
R75J	76.51	15.98	70.55	72.34	77
J	86.93	-2.58	80.67	80.71	92
J25G	84.92	-17.23	75.99	77.92	103
J50G	73.11	-32.96	59.0	67.58	119
J75G	60.06	-50.34	40.22	64.44	141
G	56.21	-50.44	14.04	52.36	164
G25B	57.95	-43.12	-3.96	43.31	185
G50B	60.3	-33.22	-28.35	43.68	220
G75B	53.27	-12.42	-41.26	43.1	253
B	46.07	1.01	-41.12	41.15	271
B25R	34.63	22.38	-40.91	46.64	299
B50R	45.15	55.92	-18.57	58.93	342
B75R	51.85	65.84	12.67	67.04	11



ZG900-7F, 16stufige Reihen für konstanten CIELAB Buntton $354/360 = 0.982$ (rechts)

6 Eingabe: *rgb / cmy0 set(rgb/cmyk)color*
Ausgabe: *->LAB*->cmyn5* setcmykcolo*

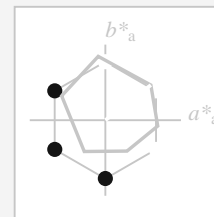


ORS18; adaptierte CIELAB-Daten					
	L^*_a	a^*_a	b^*_a	$C^*_{ab,a}$	$h^*_{ab,a}$
O _{Ma}	51.74	60.16	46.48	76.02	38
Y _{Ma}	90.77	-9.44	84.41	84.94	96
L _{Ma}	54.46	-57.8	32.16	66.15	151
C _{Ma}	61.56	-27.91	-41.41	49.95	236
V _{Ma}	31.3	28.61	-40.85	49.88	305
M _{Ma}	51.91	69.26	-7.69	69.68	354
N _{Ma}	24.2	0.0	0.0	0.0	0
W _{Ma}	95.41	0.0	0.0	0.0	0
R _{CIE}	44.36	53.97	24.82	59.4	25
J _{CIE}	82.39	-1.99	62.34	62.37	92
G _{CIE}	55.68	-38.87	10.82	40.36	164
B _{CIE}	35.76	1.06	-43.09	43.11	274

Seite 13/36

D65: 9 und 16stufige Farbreihen für 6 Geräte-Bunttöne

Ausgabe: $\rightarrow LAB^* \rightarrow cmyk5^* setcmykcolo$



ORS18; adaptierte CIELAB-Daten					
	L^*_a	a^*_a	b^*_a	$C^*_{ab,a}$	$h^*_{ab,a}$
R	51.79	63.09	29.02	69.44	25
R25J	53.73	56.6	48.42	74.48	41
R50J	65.47	35.67	59.82	69.65	59
R75J	76.51	15.98	70.55	72.34	77
J	86.93	-2.58	80.67	80.71	92
J25G	84.92	-17.23	75.99	77.92	103
J50G	73.11	-32.96	59.0	67.58	119
J75G	60.06	-50.34	40.22	64.44	141
G	56.21	-50.44	14.04	52.36	164
G25B	57.95	-43.12	-3.96	43.31	185
G50B	60.3	-33.22	-28.35	43.68	220
G75B	53.27	-12.42	-41.26	43.1	253
B	46.07	1.01	-41.12	41.15	271
B25R	34.63	22.38	-40.91	46.64	299
B50R	45.15	55.92	-18.57	58.93	342
B75R	51.85	65.84	12.67	67.04	11

Seite 13/36

D65: 9 und 16stufige Farbreihen für 6 Geräte-Bunttöne

Ausgabe: $\rightarrow LAB^* \rightarrow cmyk5^* setcmykcolo$

Eingabe: Farbmétrisches Offset-Reflektiv-System ORS18

für Buntton $h^* = lab^*h = 96/360 = 0,268$

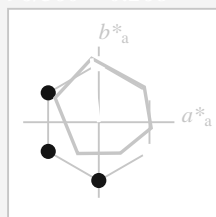
lab^*tch und lab^*nch

D65: Buntton Y

LCH*Ma: 91 85 96

olv*Ma: 1.0 1.0 0.0

Dreiecks-Helligkeit t^*



%Umfang

$u^*_{rel} = 85$

%Regularität

$g^*_{H,rel} = 57$

$g^*_{C,rel} = 59$

ORS18; adaptierte CIELAB-Daten

	$L^*=L^*_a$	a^*_a	b^*_a	$C^*_{ab,a}$	$h^*_{ab,a}$
O _{Ma}	51.74	60.16	46.48	76.02	38
Y _{Ma}	90.77	-9.44	84.41	84.94	96
L _{Ma}	54.46	-57.8	32.16	66.15	151
C _{Ma}	61.56	-27.91	-41.41	49.95	236
V _{Ma}	31.3	28.61	-40.85	49.88	305
M _{Ma}	51.91	69.26	-7.69	69.68	354
N _{Ma}	24.2	0.0	0.0	0.0	0
W _{Ma}	95.41	0.0	0.0	0.0	0
R _{CIE}	44.36	53.97	24.82	59.4	25
J _{CIE}	82.39	-1.99	62.34	62.37	92
G _{CIE}	55.68	-38.87	10.82	40.36	164
B _{CIE}	35.76	1.06	-43.09	43.11	271

Ausgabe: Farbmétrisches Offset-Reflektiv-System ORS18

für Buntton $h^* = lab^*h = 96/360 = 0,268$

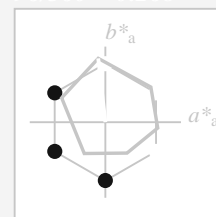
lab^*tch und lab^*nch

D65: Buntton Y

LCH*Ma: 91 85 96

olv*Ma: 1.0 1.0 0.0

Dreiecks-Helligkeit t^*



%Umfang

$u^*_{rel} = 85$

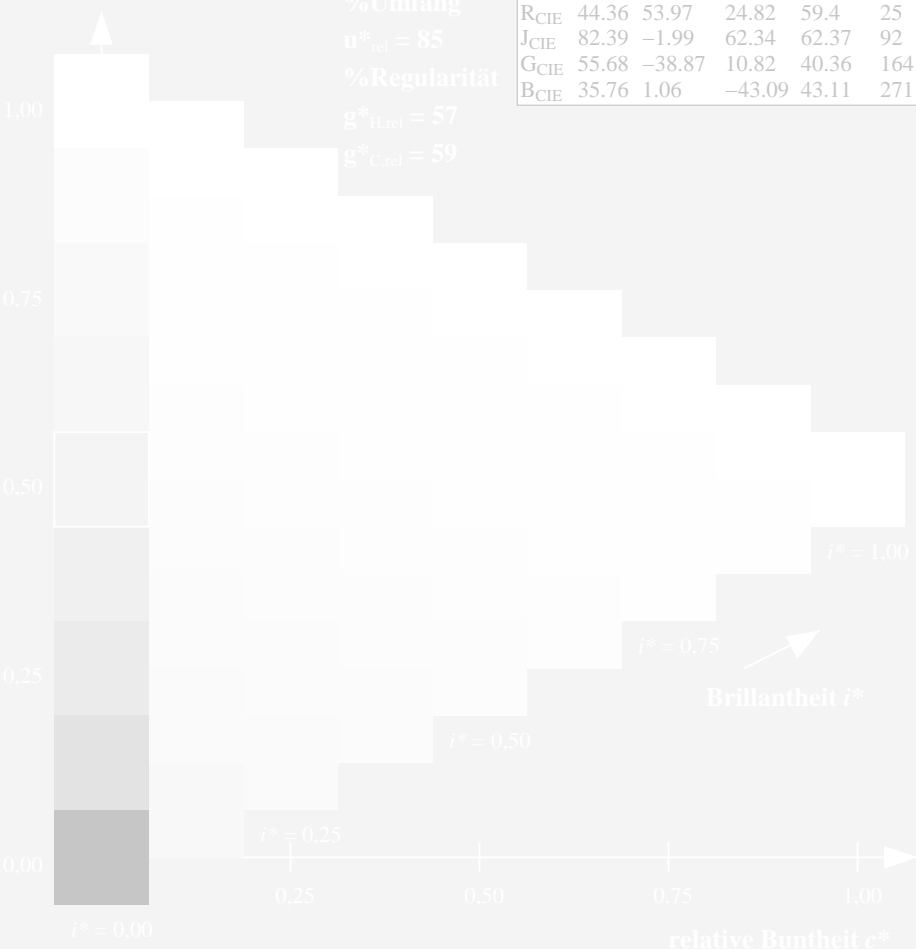
%Regularität

$g^*_{H,rel} = 57$

$g^*_{C,rel} = 59$

ORS18; adaptierte CIELAB-Daten

	$L^*=L^*_a$	a^*_a	b^*_a	$C^*_{ab,a}$	$h^*_{ab,a}$
R	51.79	63.09	29.02	69.44	25
R25J	53.73	56.6	48.42	74.48	41
R50J	65.47	35.67	59.82	69.65	59
R75J	76.51	15.98	70.55	72.34	77
J	86.93	-2.58	80.67	80.71	92
J25G	84.92	-17.23	75.99	77.92	103
J50G	73.11	-32.96	59.0	67.58	119
J75G	60.06	-50.34	40.22	64.44	141
G	56.21	-50.44	14.04	52.36	164
G25B	57.95	-43.12	-3.96	43.31	185
G50B	60.3	-33.22	-28.35	43.68	220
G75B	53.27	-12.42	-41.26	43.1	253
B	46.07	1.01	-41.12	41.15	271
B25R	34.63	22.38	-40.91	46.64	299
B50R	45.15	55.92	-18.57	58.93	342
B75R	51.85	65.84	12.67	67.04	11



ZG900-7F, 9stufige Reihen für konstanten CIELAB Buntton 96/360 = 0.268 (links)

Seite 14/36

ZG900-7F, 16stufige Reihen für konstanten CIELAB Buntton 96/360 = 0.268 (rechts)

c n*

BAM-Prüfvorlage ZG90; Farbmétrik-Systeme, Seite 14/36 Eingabe: $rgb / cmy0 set(rgb/cmyk)color$

D65: 9 und 16stufige Farbreihen für 6 Geräte-Bunttöne

Ausgabe: $\rightarrow LAB^* \rightarrow cmy5^* setcmykcolo$

Siehe ähnliche Dateien: <http://www.ps.bam.de/ZG90/>; [http://www.ps.bam.de/Version 2.1, io=1,1, CIELAB](http://www.ps.bam.de/Version%202.1,io=1,1,CIELAB)
Technische Information: [http://www.ps.bam.de/Version 2.1, io=1,1, CIELAB](http://www.ps.bam.de/Version%202.1,io=1,1,CIELAB)

BAM-Registrierung: 20071001-ZG90/10L/L90G00FA.PS/.TXT BAM-Material: Code=rhata
Anwendung für Beurteilung und Messung von Drucker- oder Monitorsystemen

Eingabe: Farbmétrisches Offset-Reflektiv-System ORS18

für Buntton $h^* = lab^*h = 151/360 = 0.419$

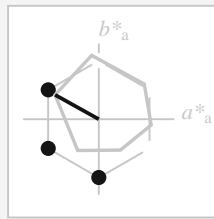
lab^*ch und lab^*nch

D65: Buntton L

LCH*Ma: 54 66 151

olv*Ma: 0.0 1.0 0.0

Dreiecks-Helligkeit t^*



%Umfang

$u^*_{rel} = 85$

%Regularität

$g^*_{H,rel} = 57$

$g^*_{C,rel} = 59$

ORS18; adaptierte CIELAB-Daten

	$L^*=L^*_a$	a^*_a	b^*_a	$C^*_{ab,a}$	$h^*_{ab,a}$
O _{Ma}	51.74	60.16	46.48	76.02	38
Y _{Ma}	90.77	-9.44	84.41	84.94	96
L _{Ma}	54.46	-57.8	32.16	66.15	151
C _{Ma}	61.56	-27.91	-41.41	49.95	236
V _{Ma}	31.3	28.61	-40.85	49.88	305
M _{Ma}	51.91	69.26	-7.69	69.68	354
N _{Ma}	24.2	0.0	0.0	0.0	0
W _{Ma}	95.41	0.0	0.0	0.0	0
R _{CIE}	44.36	53.97	24.82	59.4	25
J _{CIE}	82.39	-1.99	62.34	62.37	92
G _{CIE}	55.68	-38.87	10.82	40.36	164
B _{CIE}	35.76	1.06	-43.09	43.11	271

Ausgabe: Farbmétrisches Offset-Reflektiv-System ORS18

für Buntton $h^* = lab^*h = 151/360 = 0.419$

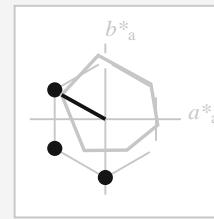
lab^*ch und lab^*nch

D65: Buntton L

LCH*Ma: 54 66 151

olv*Ma: 0.0 1.0 0.0

Dreiecks-Helligkeit t^*



%Umfang

$u^*_{rel} = 85$

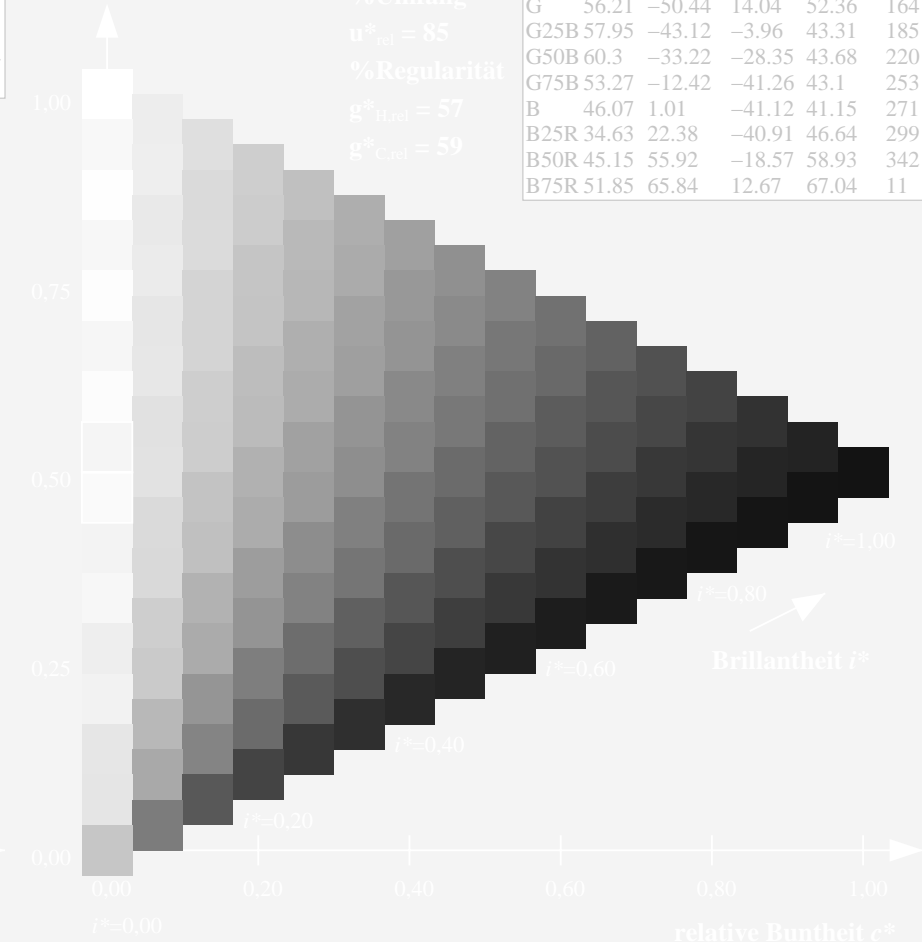
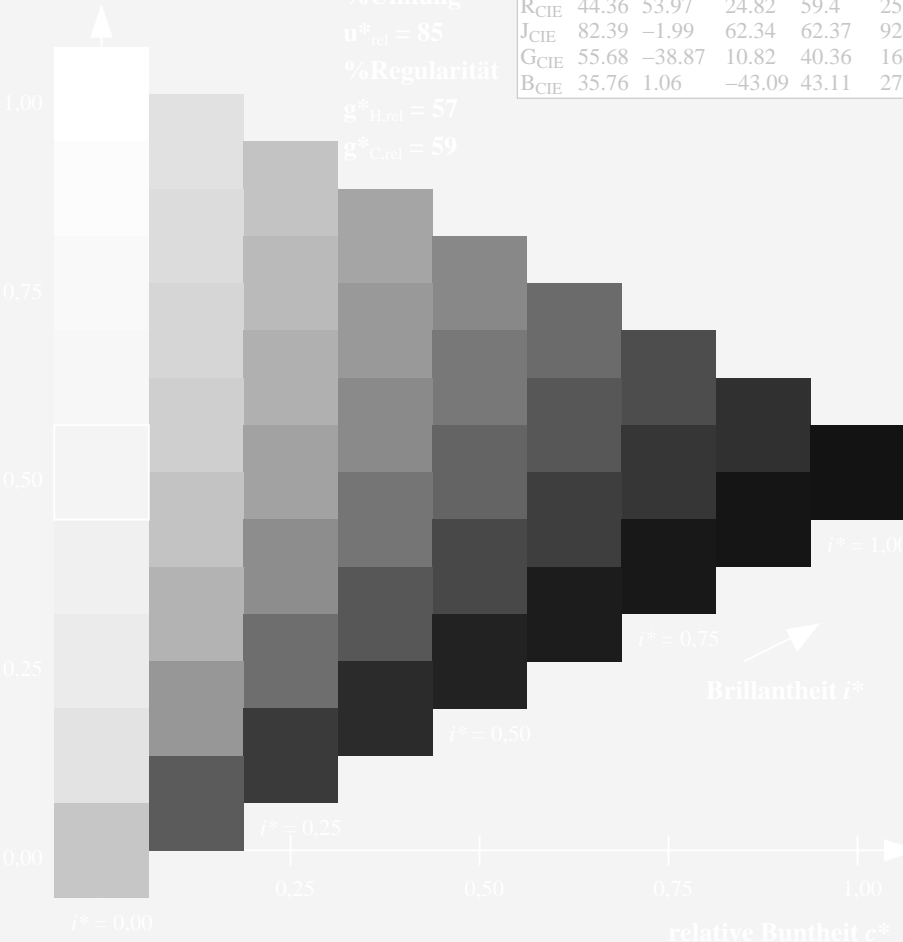
%Regularität

$g^*_{H,rel} = 57$

$g^*_{C,rel} = 59$

ORS18; adaptierte CIELAB-Daten

	$L^*=L^*_a$	a^*_a	b^*_a	$C^*_{ab,a}$	$h^*_{ab,a}$
R	51.79	63.09	29.02	69.44	25
R25J	53.73	56.6	48.42	74.48	41
R50J	65.47	35.67	59.82	69.65	59
R75J	76.51	15.98	70.55	72.34	77
J	86.93	-2.58	80.67	80.71	92
J25G	84.92	-17.23	75.99	77.92	103
J50G	73.11	-32.96	59.0	67.58	119
J75G	60.06	-50.34	40.22	64.44	141
G	56.21	-50.44	14.04	52.36	164
G25B	57.95	-43.12	-3.96	43.31	185
G50B	60.3	-33.22	-28.35	43.68	220
G75B	53.27	-12.42	-41.26	43.1	253
B	46.07	1.01	-41.12	41.15	271
B25R	34.63	22.38	-40.91	46.64	299
B50R	45.15	55.92	-18.57	58.93	342
B75R	51.85	65.84	12.67	67.04	11



ZG900-7F, 9stufige Reihen für konstanten CIELAB Buntton 151/360 = 0.419 (links)

Seite 15/36

ZG900-7F, 16stufige Reihen für konstanten CIELAB Buntton 151/360 = 0.419 (rechts) c n*

BAM-Prüfvorlage ZG90; Farbmétrik-Systeme, Seite 15/36 Eingabe: $rgb / cmy0 set(rgb/cmyk)color$

D65: 9 und 16stufige Farbreihen für 6 Geräte-Bunttöne

Ausgabe: $\rightarrow LAB^* \rightarrow cmy5^* setcmykcolo$

Eingabe: Farbmétrisches Offset-Reflektiv-System ORS18

für Buntton $h^* = lab^*h = 236/360 = 0.656$

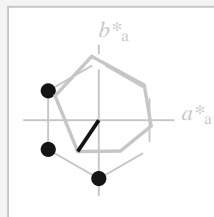
lab^*ch und lab^*nch

D65: Buntton C

LCH*Ma: 62 50 236

olv*Ma: 0.0 1.0 1.0

Dreiecks-Helligkeit t^*



%Umfang

$u^*_{rel} = 85$

%Regularität

$g^*_{H,rel} = 57$

$g^*_{C,rel} = 59$

ORS18; adaptierte CIELAB-Daten

	$L^*=L^*_a$	a^*_a	b^*_a	$C^*_{ab,a}$	$h^*_{ab,a}$
O _{Ma}	51.74	60.16	46.48	76.02	38
Y _{Ma}	90.77	-9.44	84.41	84.94	96
L _{Ma}	54.46	-57.8	32.16	66.15	151
C _{Ma}	61.56	-27.91	-41.41	49.95	236
V _{Ma}	31.3	28.61	-40.85	49.88	305
M _{Ma}	51.91	69.26	-7.69	69.68	354
N _{Ma}	24.2	0.0	0.0	0.0	0
W _{Ma}	95.41	0.0	0.0	0.0	0
R _{CIE}	44.36	53.97	24.82	59.4	25
J _{CIE}	82.39	-1.99	62.34	62.37	92
G _{CIE}	55.68	-38.87	10.82	40.36	164
B _{CIE}	35.76	1.06	-43.09	43.11	271

Ausgabe: Farbmétrisches Offset-Reflektiv-System ORS18

für Buntton $h^* = lab^*h = 236/360 = 0.656$

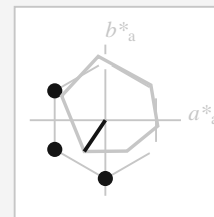
lab^*ch und lab^*nch

D65: Buntton C

LCH*Ma: 62 50 236

olv*Ma: 0.0 1.0 1.0

Dreiecks-Helligkeit t^*



%Umfang

$u^*_{rel} = 85$

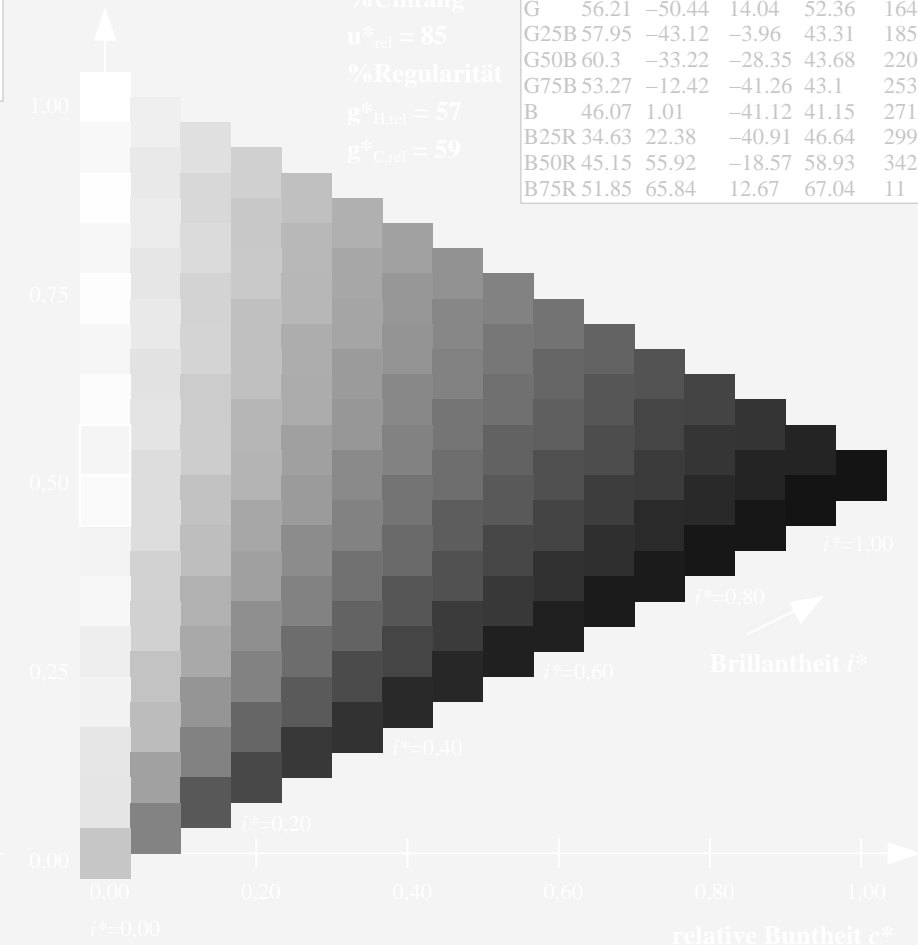
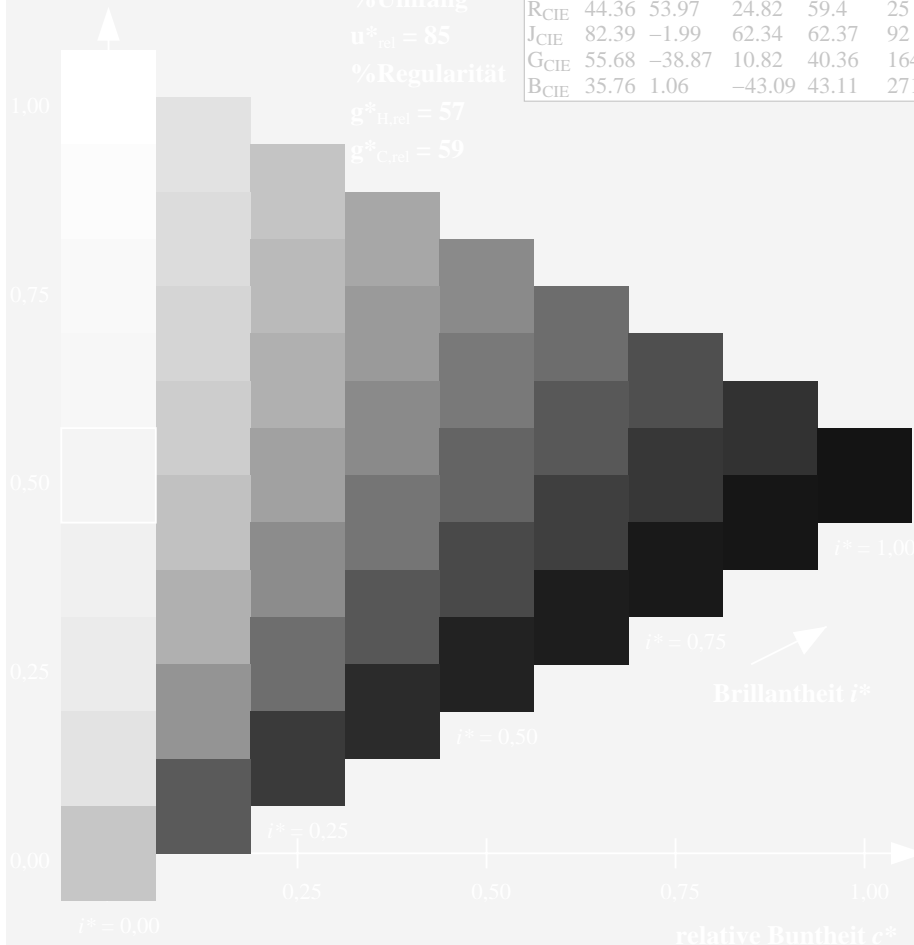
%Regularität

$g^*_{H,rel} = 57$

$g^*_{C,rel} = 59$

ORS18; adaptierte CIELAB-Daten

	$L^*=L^*_a$	a^*_a	b^*_a	$C^*_{ab,a}$	$h^*_{ab,a}$
R	51.79	63.09	29.02	69.44	25
R25J	53.73	56.6	48.42	74.48	41
R50J	65.47	35.67	59.82	69.65	59
R75J	76.51	15.98	70.55	72.34	77
J	86.93	-2.58	80.67	80.71	92
J25G	84.92	-17.23	75.99	77.92	103
J50G	73.11	-32.96	59.0	67.58	119
J75G	60.06	-50.34	40.22	64.44	141
G	56.21	-50.44	14.04	52.36	164
G25B	57.95	-43.12	-3.96	43.31	185
G50B	60.3	-33.22	-28.35	43.68	220
G75B	53.27	-12.42	-41.26	43.1	253
B	46.07	1.01	-41.12	41.15	271
B25R	34.63	22.38	-40.91	46.64	299
B50R	45.15	55.92	-18.57	58.93	342
B75R	51.85	65.84	12.67	67.04	11



ZG900-7F, 9stufige Reihen für konstanten CIELAB Buntton 236/360 = 0.656 (links)

Seite 16/36

ZG900-7F, 16stufige Reihen für konstanten CIELAB Buntton 236/360 = 0.656 (rechts) c n*

BAM-Prüfvorlage ZG90; Farbmétrik-Systeme, Seite 16/36 Eingabe: $rgb / cmy0\ set(rgb/cmyk)color$

D65: 9 und 16stufige Farbreihen für 6 Geräte-Bunttöne Ausgabe: $\rightarrow LAB^* \rightarrow cmy5^* \ setcmykcolo$

Siehe ähnliche Dateien: <http://www.ps.bam.de/ZG90/>; www.ps.bam.de Version 2.1, io=1,1, CIELAB
Technische Information: <http://www.ps.bam.de>

BAM-Registrierung: 20071001-ZG90/10L/L90G00FA.PS/.TXT BAM-Material: Code=rhata
Anwendung für Beurteilung und Messung von Drucker- oder Monitorssystemen

Eingabe: Farbmétrisches Offset-Reflektiv-System ORS18

für Buntton $h^* = lab^*h = 305/360 = 0.847$

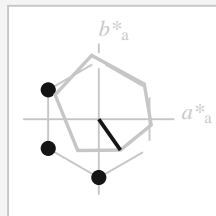
lab^*ch und lab^*nh

D65: Buntton V

LCH*Ma: 31 50 305

olv*Ma: 0.0 0.0 1.0

Dreiecks-Helligkeit t^*



%Umfang

$u^*_{rel} = 85$

%Regularität

$g^*_{H,rel} = 57$

$g^*_{C,rel} = 59$

ORS18; adaptierte CIELAB-Daten

	$L^*=L^*_a$	a^*_a	b^*_a	$C^*_{ab,a}$	$h^*_{ab,a}$
O _{Ma}	51.74	60.16	46.48	76.02	38
Y _{Ma}	90.77	-9.44	84.41	84.94	96
L _{Ma}	54.46	-57.8	32.16	66.15	151
C _{Ma}	61.56	-27.91	-41.41	49.95	236
V _{Ma}	31.3	28.61	-40.85	49.88	305
M _{Ma}	51.91	69.26	-7.69	69.68	354
N _{Ma}	24.2	0.0	0.0	0.0	0
W _{Ma}	95.41	0.0	0.0	0.0	0
R _{CIE}	44.36	53.97	24.82	59.4	25
J _{CIE}	82.39	-1.99	62.34	62.37	92
G _{CIE}	55.68	-38.87	10.82	40.36	164
B _{CIE}	35.76	1.06	-43.09	43.11	271

Ausgabe: Farbmétrisches Offset-Reflektiv-System ORS18

für Buntton $h^* = lab^*h = 305/360 = 0.847$

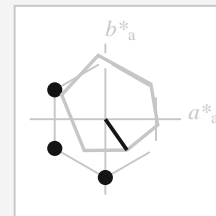
lab^*ch und lab^*nh

D65: Buntton V

LCH*Ma: 31 50 305

olv*Ma: 0.0 0.0 1.0

Dreiecks-Helligkeit t^*



%Umfang

$u^*_{rel} = 85$

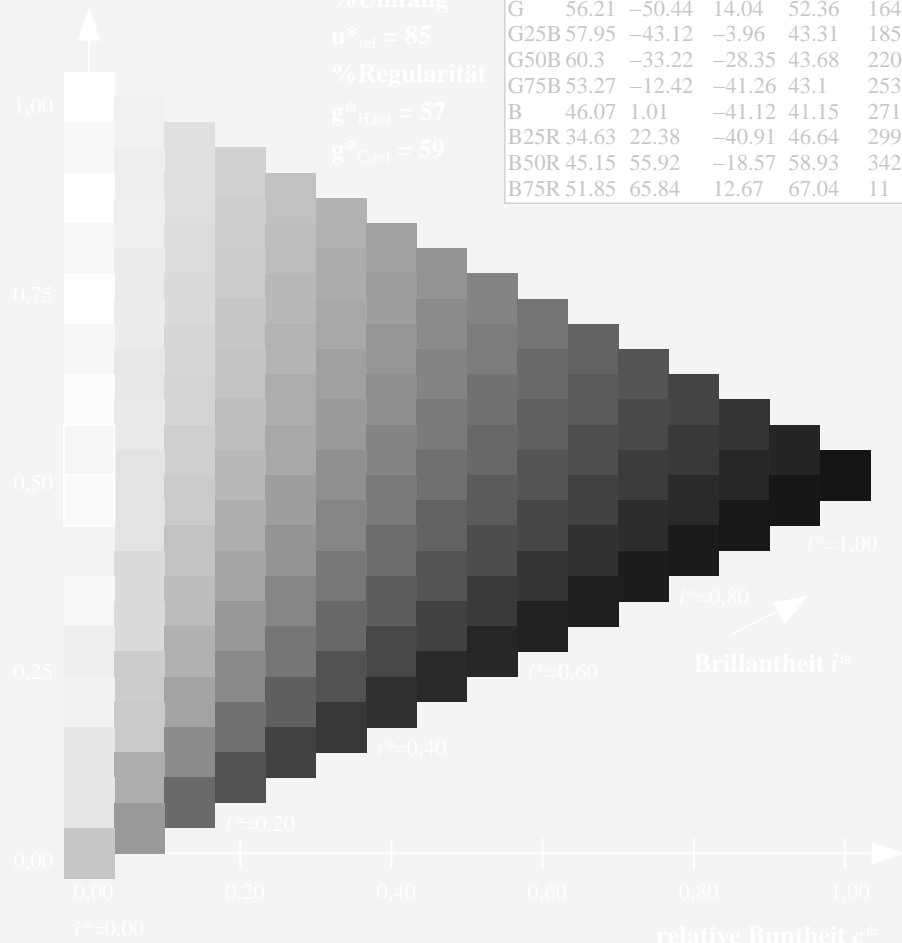
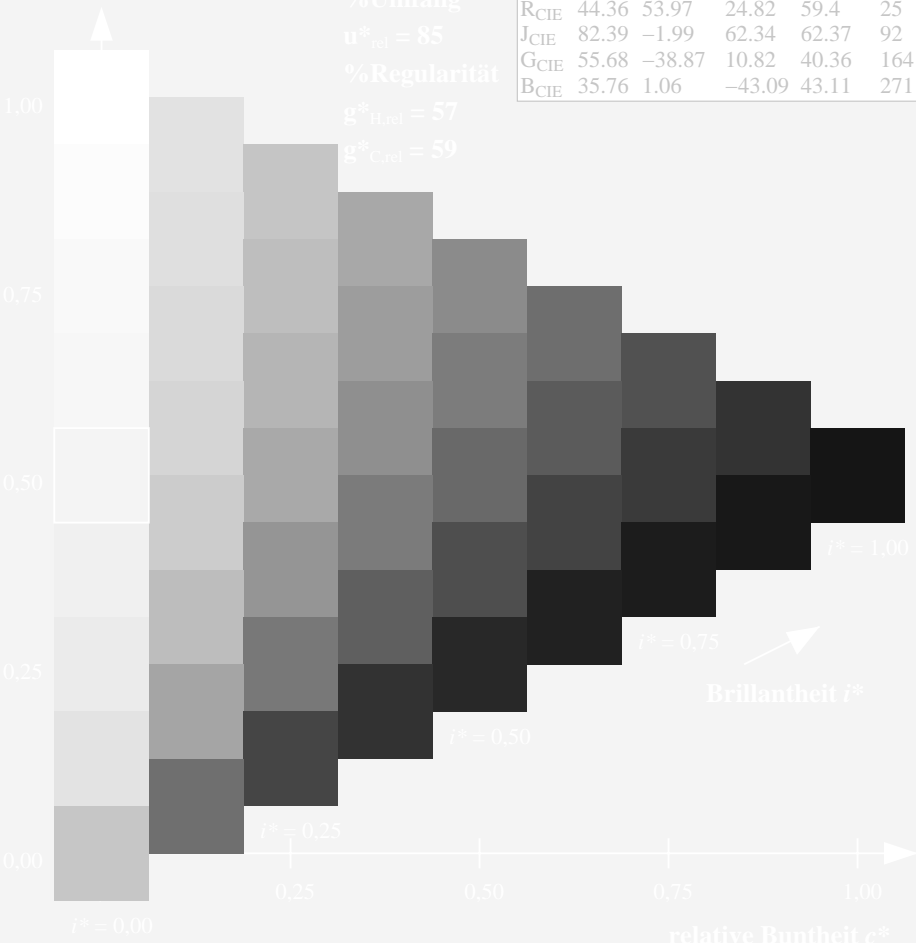
%Regularität

$g^*_{H,rel} = 57$

$g^*_{C,rel} = 59$

ORS18; adaptierte CIELAB-Daten

	$L^*=L^*_a$	a^*_a	b^*_a	$C^*_{ab,a}$	$h^*_{ab,a}$
R	51.79	63.09	29.02	69.44	25
R25J	53.73	56.6	48.42	74.48	41
R50J	65.47	35.67	59.82	69.65	59
R75J	76.51	15.98	70.55	72.34	77
J	86.93	-2.58	80.67	80.71	92
J25G	84.92	-17.23	75.99	77.92	103
J50G	73.11	-32.96	59.0	67.58	119
J75G	60.06	-50.34	40.22	64.44	141
G	56.21	-50.44	14.04	52.36	164
G25B	57.95	-43.12	-3.96	43.31	185
G50B	60.3	-33.22	-28.35	43.68	220
G75B	53.27	-12.42	-41.26	43.1	253
B	46.07	1.01	-41.12	41.15	271
B25R	34.63	22.38	-40.91	46.64	299
B50R	45.15	55.92	-18.57	58.93	342
B75R	51.85	65.84	12.67	67.04	11



ZG900-7F, 9stufige Reihen für konstanten CIELAB Buntton 305/360 = 0.847 (links)

Seite 17/36

ZG900-7F, 16stufige Reihen für konstanten CIELAB Buntton 305/360 = 0.847 (rechts) c n*

BAM-Prüfvorlage ZG90; Farbmétrik-Systeme, Seite 17/36 Eingabe: $rgb / cmy0$ set($rgb/cmyk$)color

D65: 9 und 16stufige Farbreihen für 6 Geräte-Bunttöne Ausgabe: $\rightarrow LAB^* \rightarrow cmy5^*$ set($cmyk$)color

Eingabe: Farbmetrisches Offset-Reflektiv-System ORS18

für Buntton $h^* = lab^*h = 354/360 = 0.982$

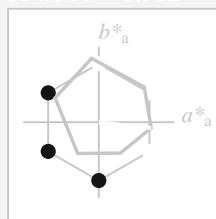
lab^*tch und lab^*nch

D65: Buntton M

LCH*Ma: 52 70 354

olv*Ma: 1.0 0.0 1.0

Dreiecks-Helligkeit t^*



%Umfang

$u^*_{rel} = 85$

%Regularität

$g^*_{H,rel} = 57$

$g^*_{C,rel} = 59$

ORS18; adaptierte CIELAB-Daten

	$L^*=L^*_a$	a^*_a	b^*_a	$C^*_{ab,a}$	$h^*_{ab,a}$
O _{Ma}	51.74	60.16	46.48	76.02	38
Y _{Ma}	90.77	-9.44	84.41	84.94	96
L _{Ma}	54.46	-57.8	32.16	66.15	151
C _{Ma}	61.56	-27.91	-41.41	49.95	236
V _{Ma}	31.3	28.61	-40.85	49.88	305
M _{Ma}	51.91	69.26	-7.69	69.68	354
N _{Ma}	24.2	0.0	0.0	0.0	0
W _{Ma}	95.41	0.0	0.0	0.0	0
R _{CIE}	44.36	53.97	24.82	59.4	25
J _{CIE}	82.39	-1.99	62.34	62.37	92
G _{CIE}	55.68	-38.87	10.82	40.36	164
B _{CIE}	35.76	1.06	-43.09	43.11	271

Ausgabe: Farbmetrisches Offset-Reflektiv-System ORS18

für Buntton $h^* = lab^*h = 354/360 = 0.982$

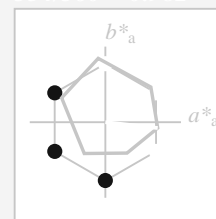
lab^*tch und lab^*nch

D65: Buntton M

LCH*Ma: 52 70 354

olv*Ma: 1.0 0.0 1.0

Dreiecks-Helligkeit t^*



%Umfang

$u^*_{rel} = 85$

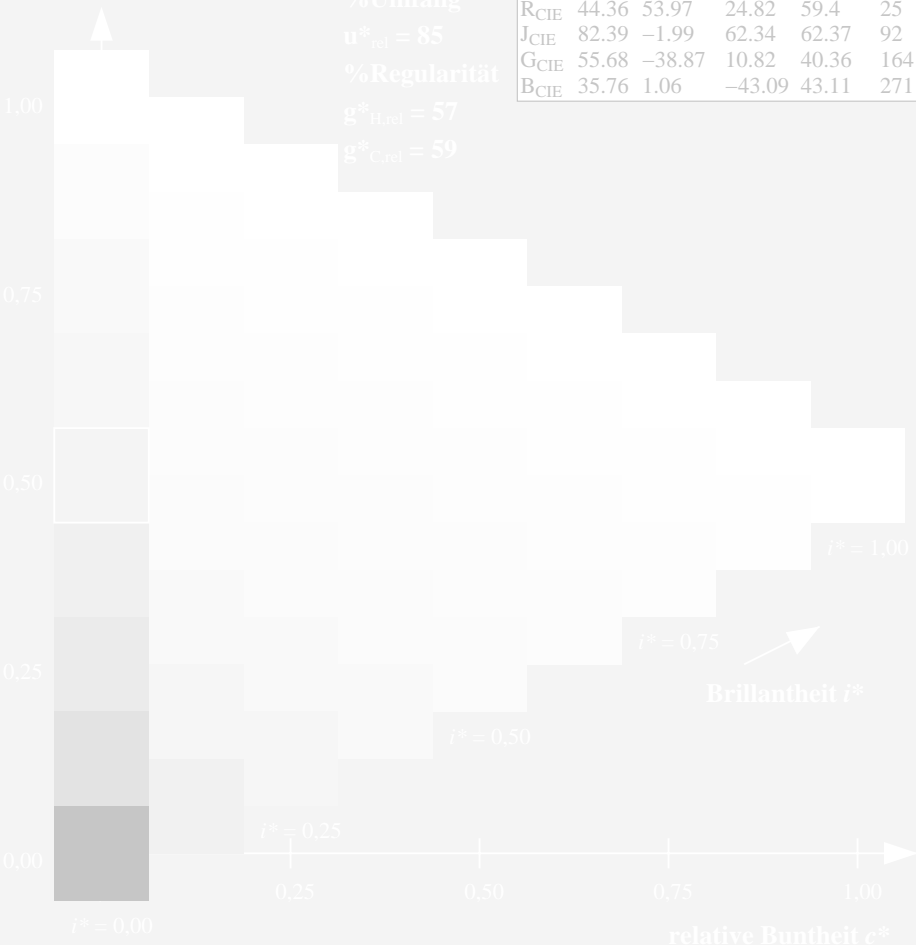
%Regularität

$g^*_{H,rel} = 57$

$g^*_{C,rel} = 59$

ORS18; adaptierte CIELAB-Daten

	$L^*=L^*_a$	a^*_a	b^*_a	$C^*_{ab,a}$	$h^*_{ab,a}$
R	51.79	63.09	29.02	69.44	25
R25J	53.73	56.6	48.42	74.48	41
R50J	65.47	35.67	59.82	69.65	59
R75J	76.51	15.98	70.55	72.34	77
J	86.93	-2.58	80.67	80.71	92
J25G	84.92	-17.23	75.99	77.92	103
J50G	73.11	-32.96	59.0	67.58	119
J75G	60.06	-50.34	40.22	64.44	141
G	56.21	-50.44	14.04	52.36	164
G25B	57.95	-43.12	-3.96	43.31	185
G50B	60.3	-33.22	-28.35	43.68	220
G75B	53.27	-12.42	-41.26	43.1	253
B	46.07	1.01	-41.12	41.15	271
B25R	34.63	22.38	-40.91	46.64	299
B50R	45.15	55.92	-18.57	58.93	342
B75R	51.85	65.84	12.67	67.04	11



ZG900-7F, 9stufige Reihen für konstanten CIELAB Buntton 354/360 = 0.982 (links)

Seite 18/36

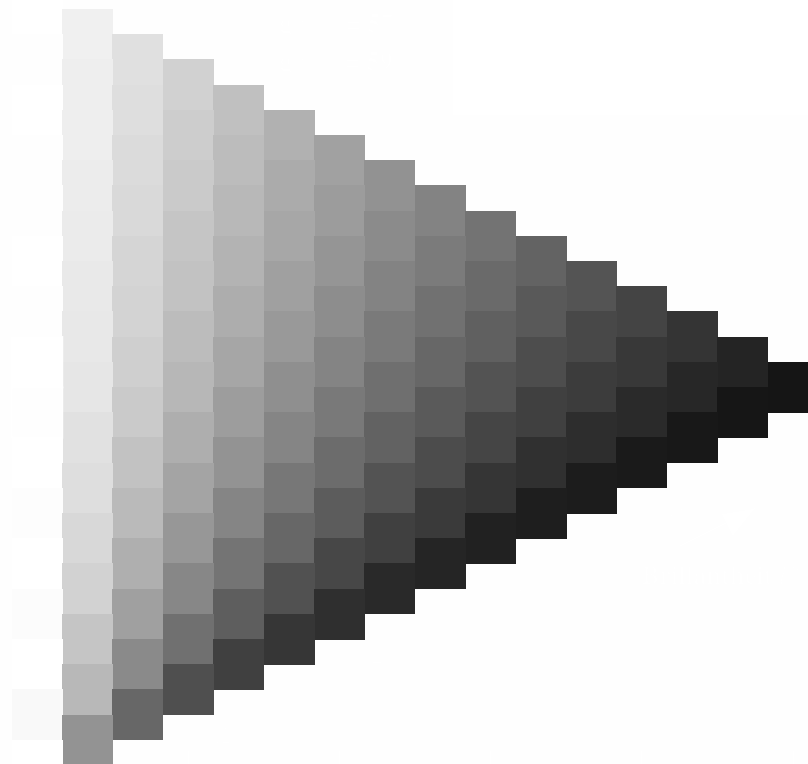
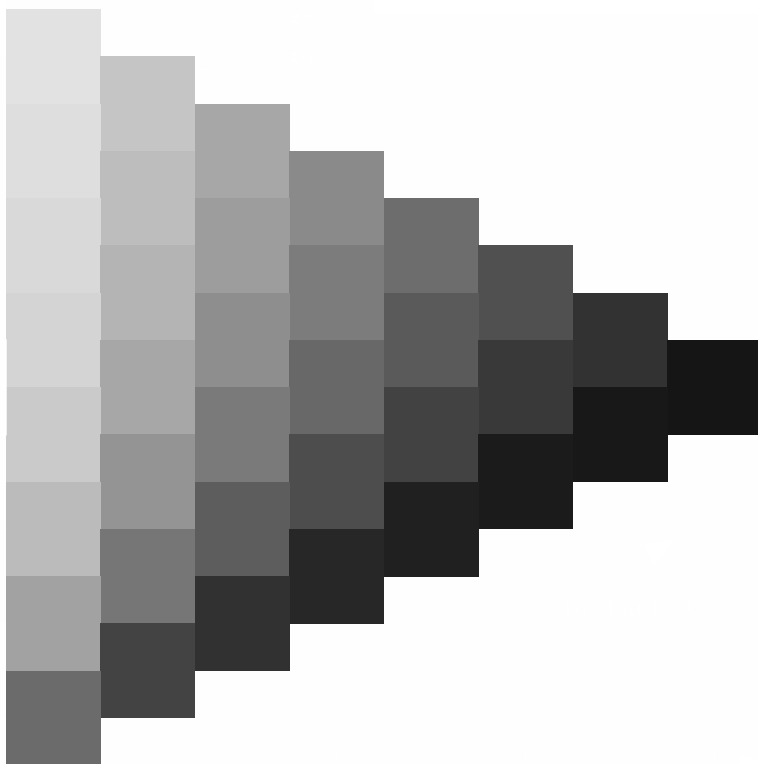
ZG900-7F, 16stufige Reihen für konstanten CIELAB Buntton 354/360 = 0.982 (rechts) c n*

BAM-Prüfvorlage ZG90; Farbmetrik-Systeme, Seite 18/36 Eingabe: $rgb / cmy0 set(rgb/cmyk)color$

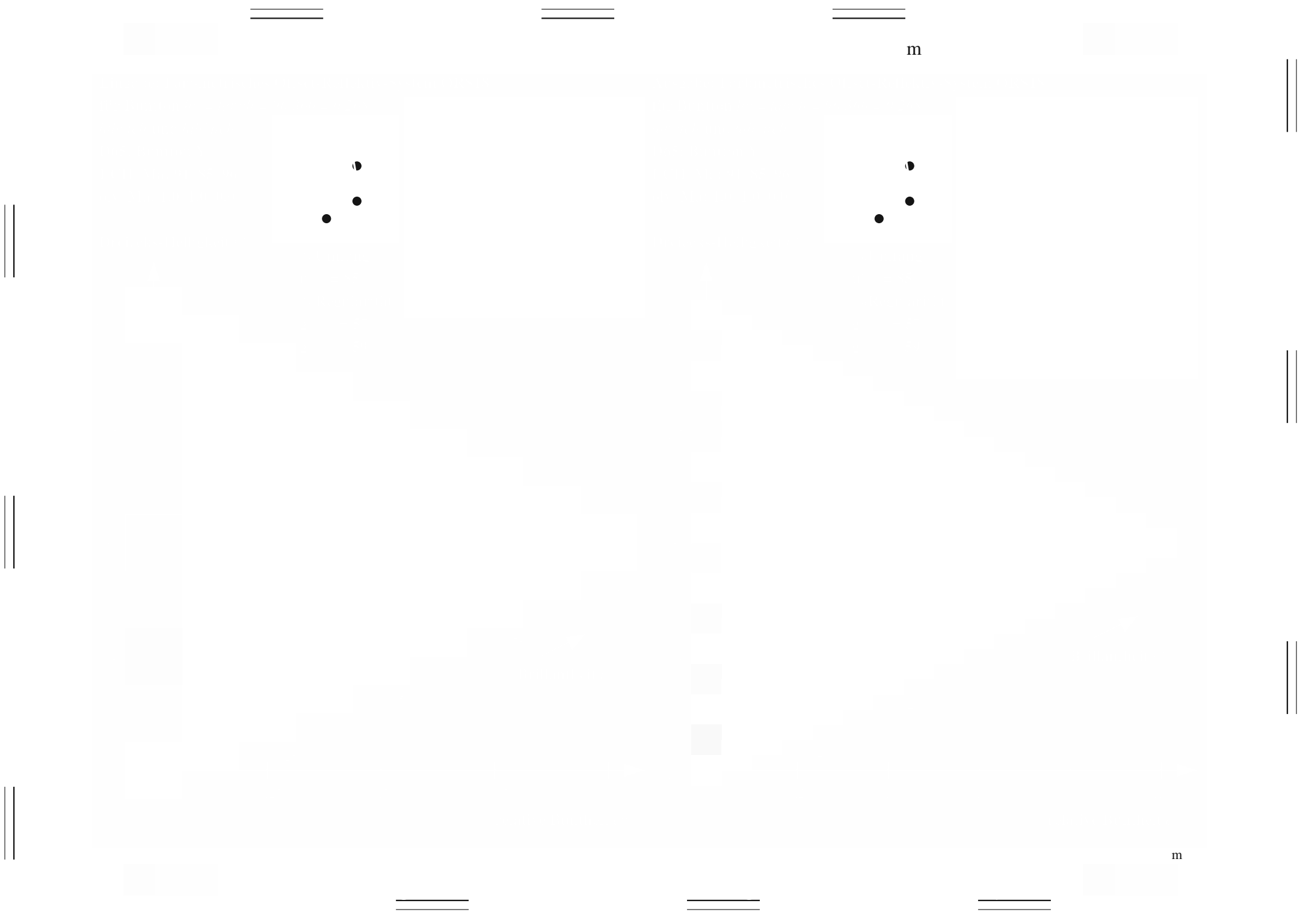
D65: 9 und 16stufige Farbreihen für 6 Geräte-Bunttöne

Ausgabe: $\rightarrow LAB^* \rightarrow cmy5^* setcmykcolo$

m

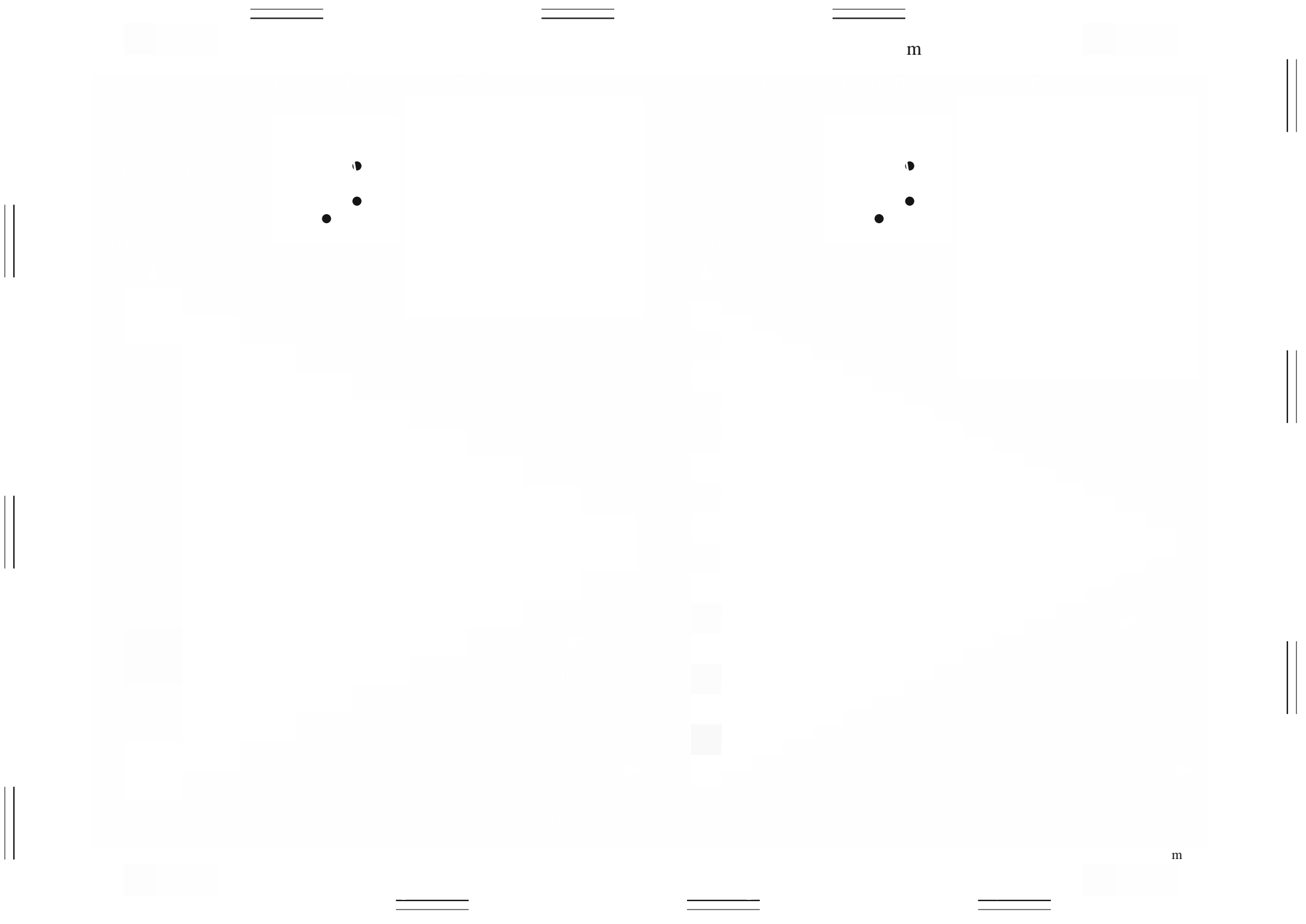


m



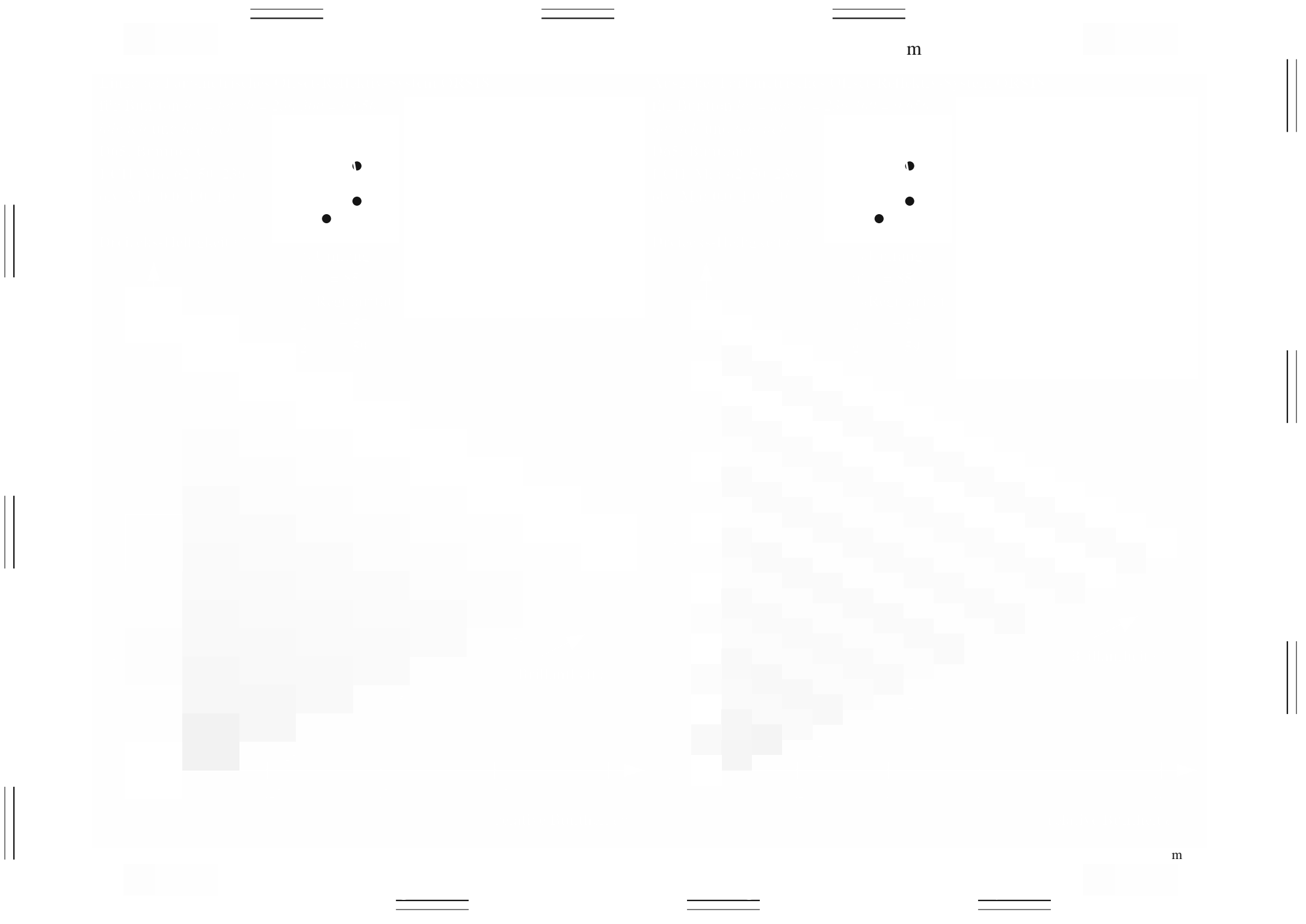
m

m

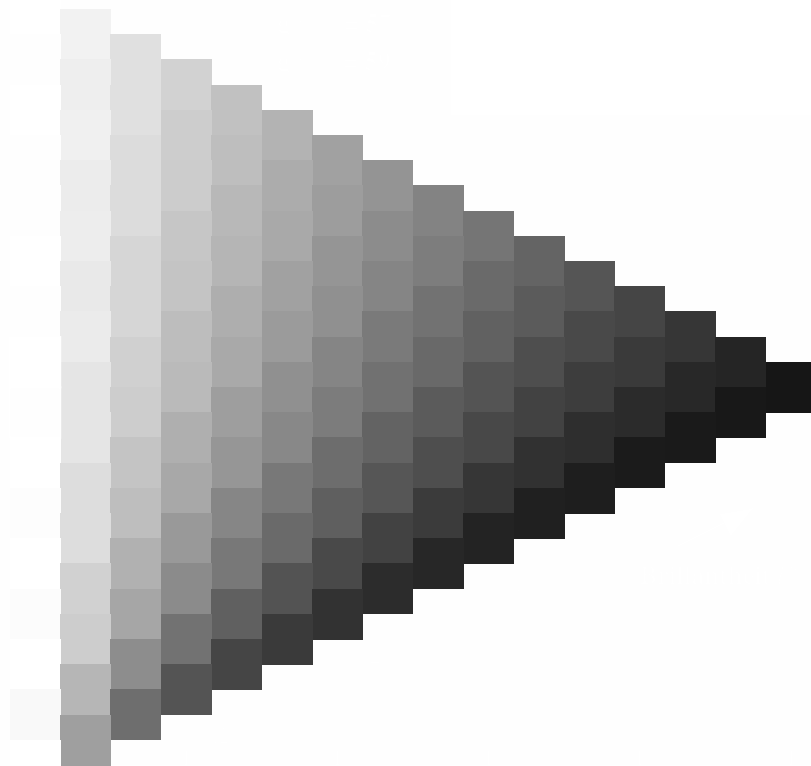
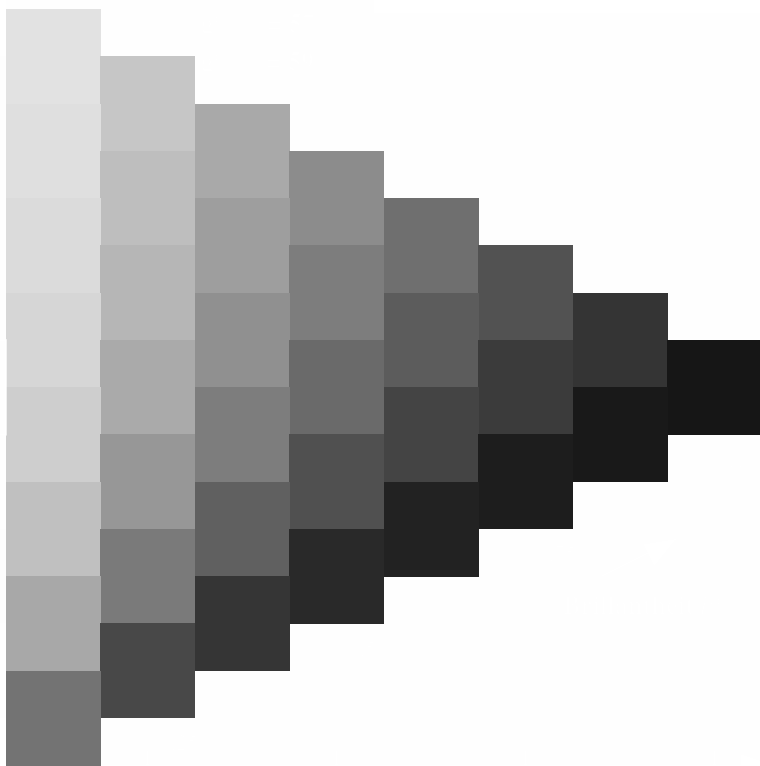


m

m

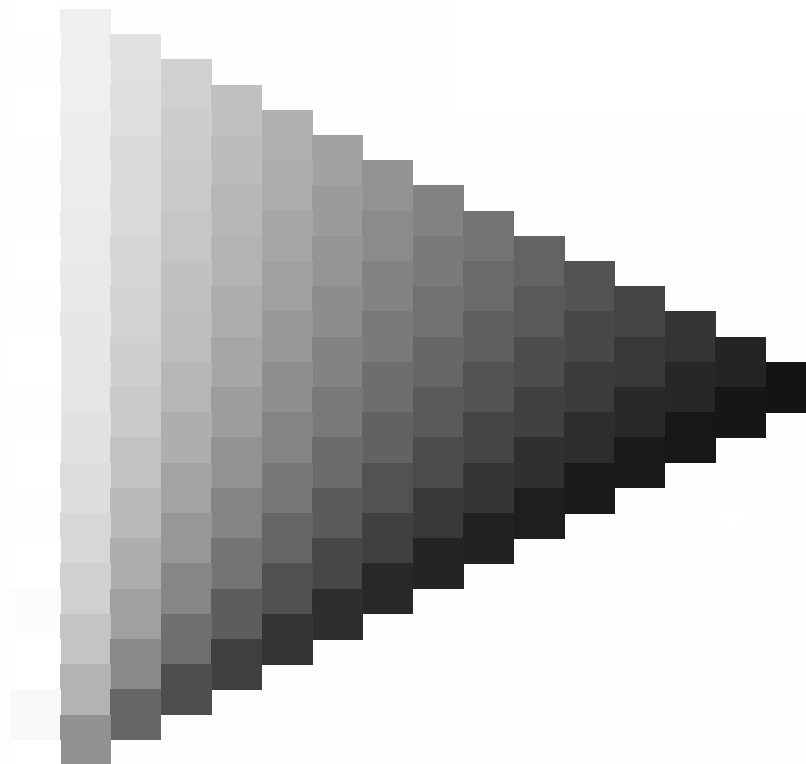
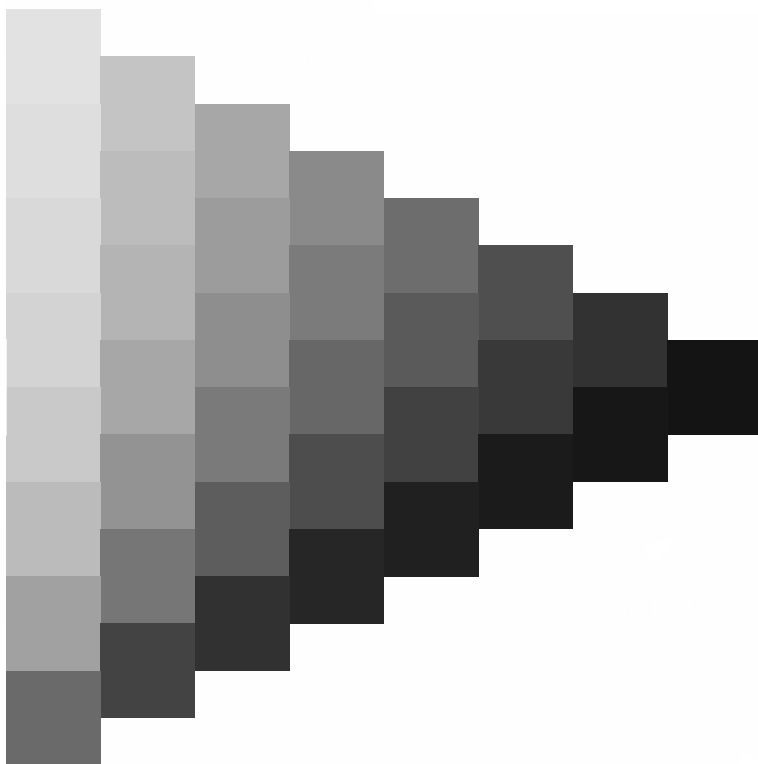


m

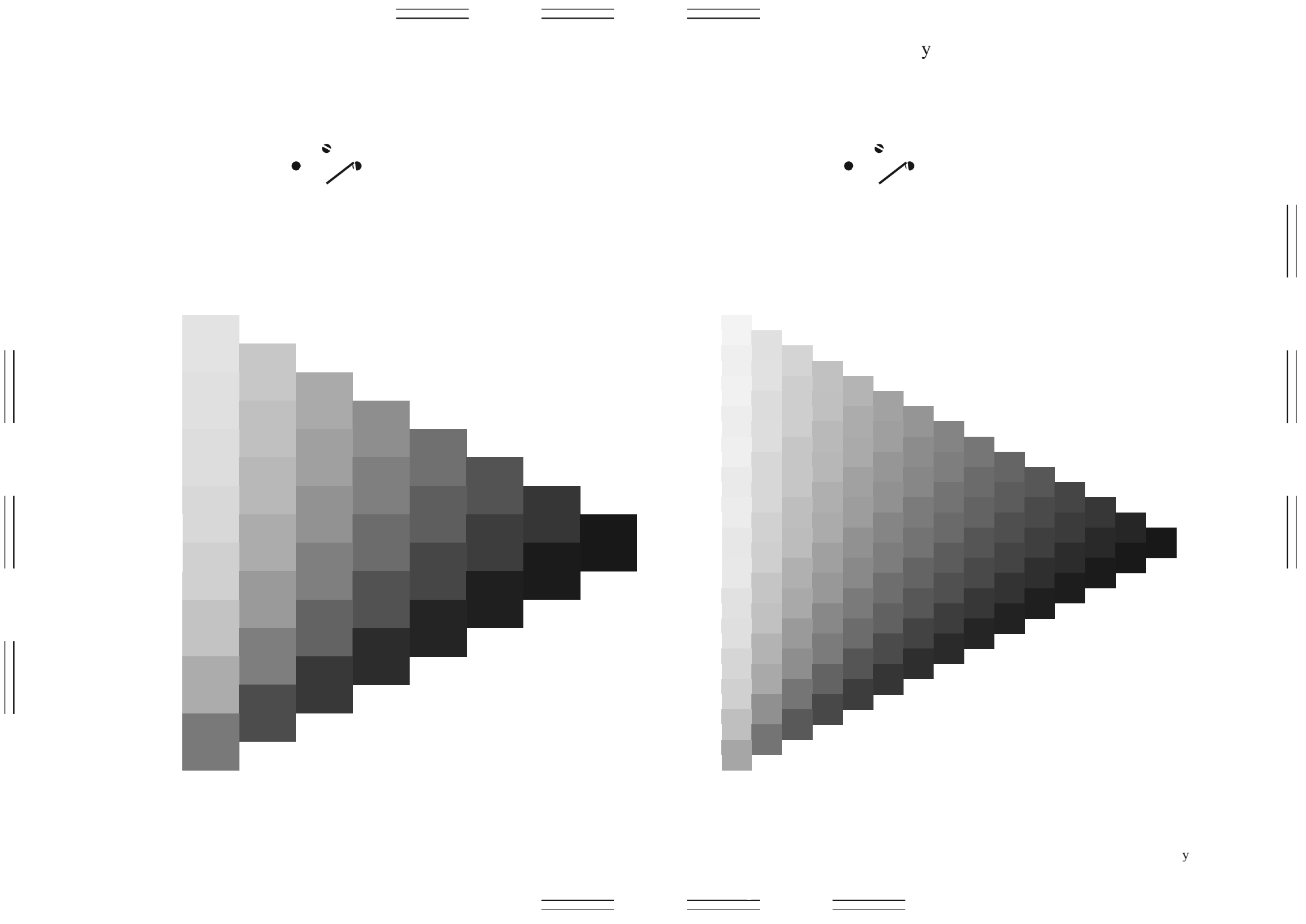


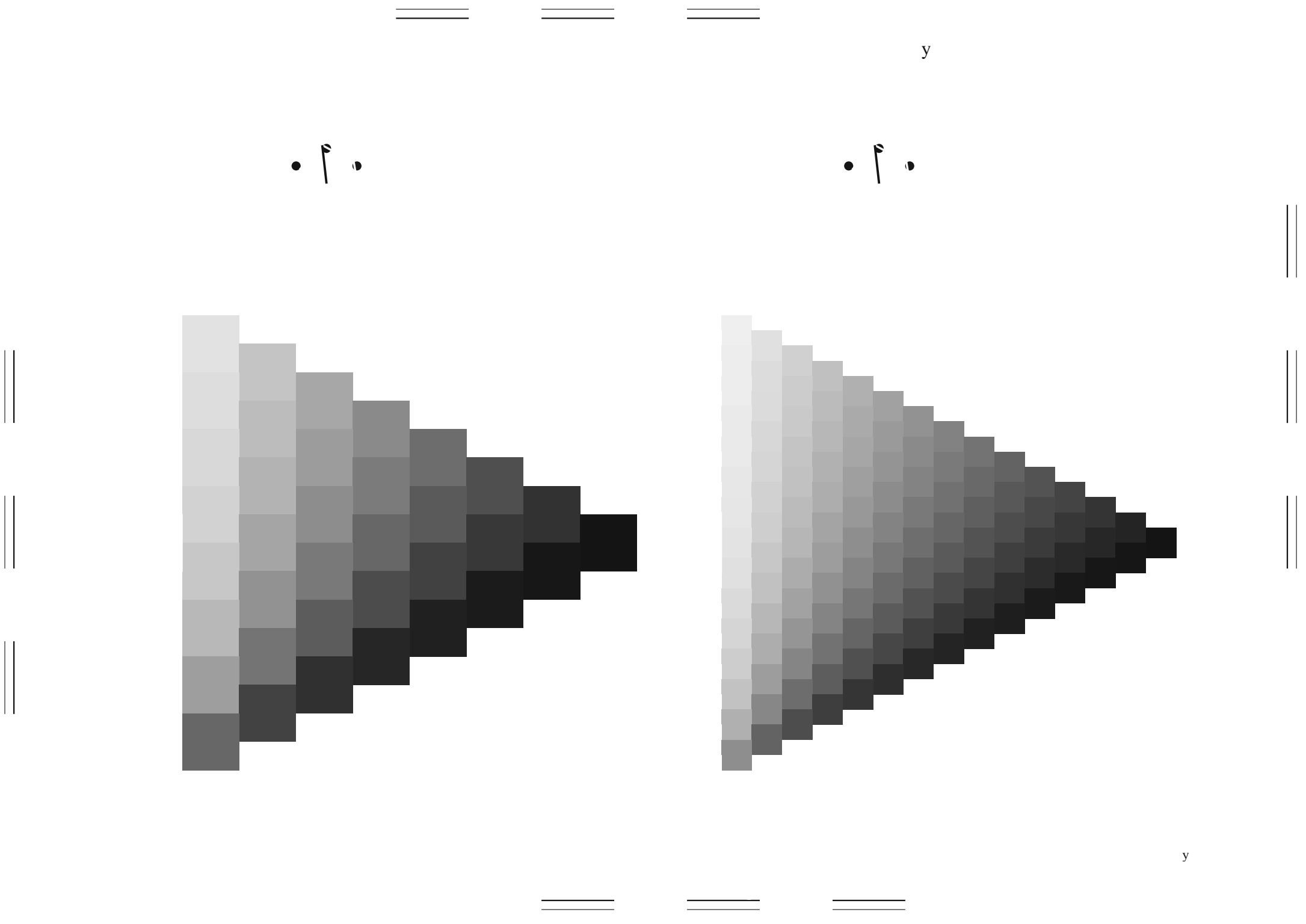
m

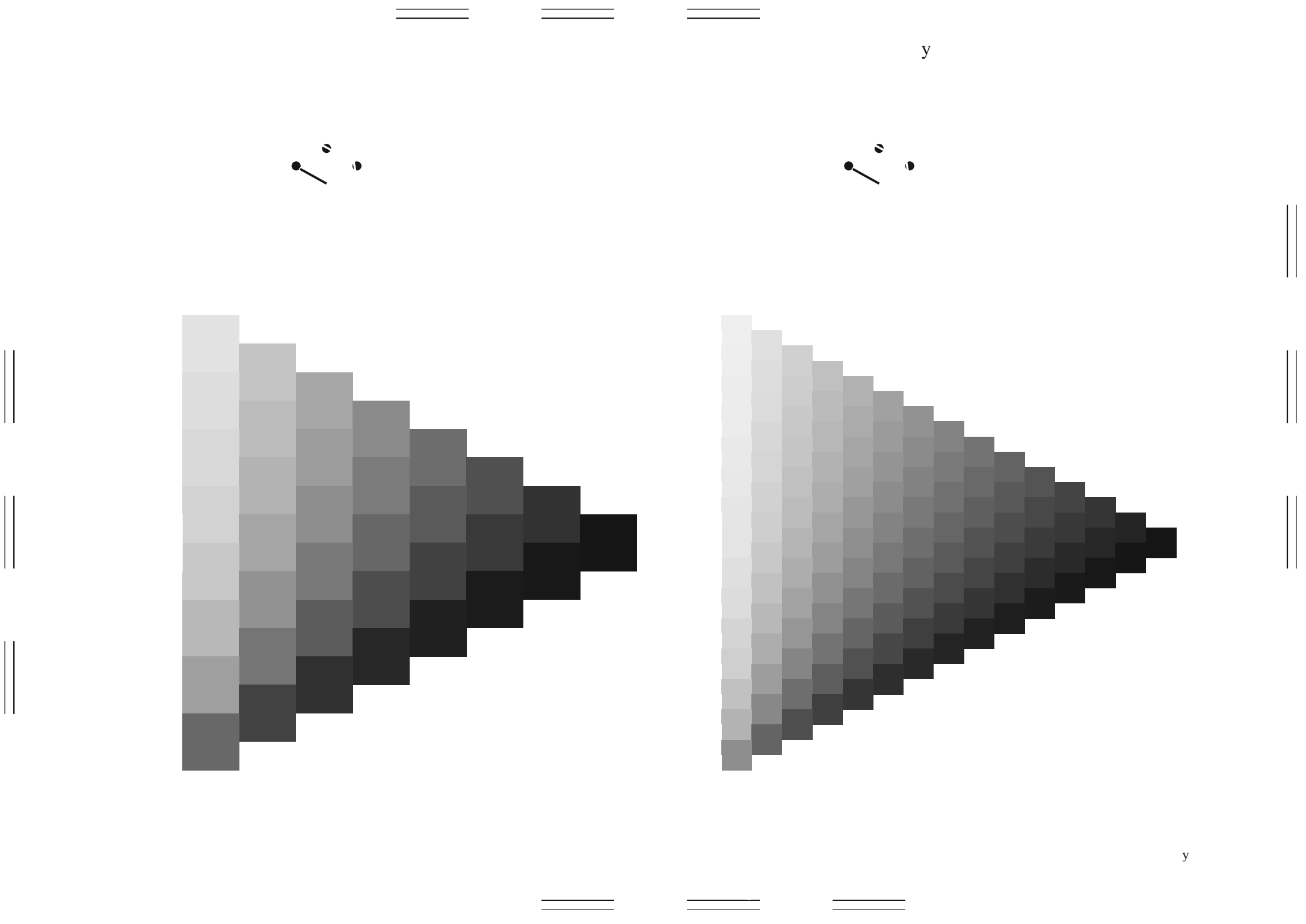
m

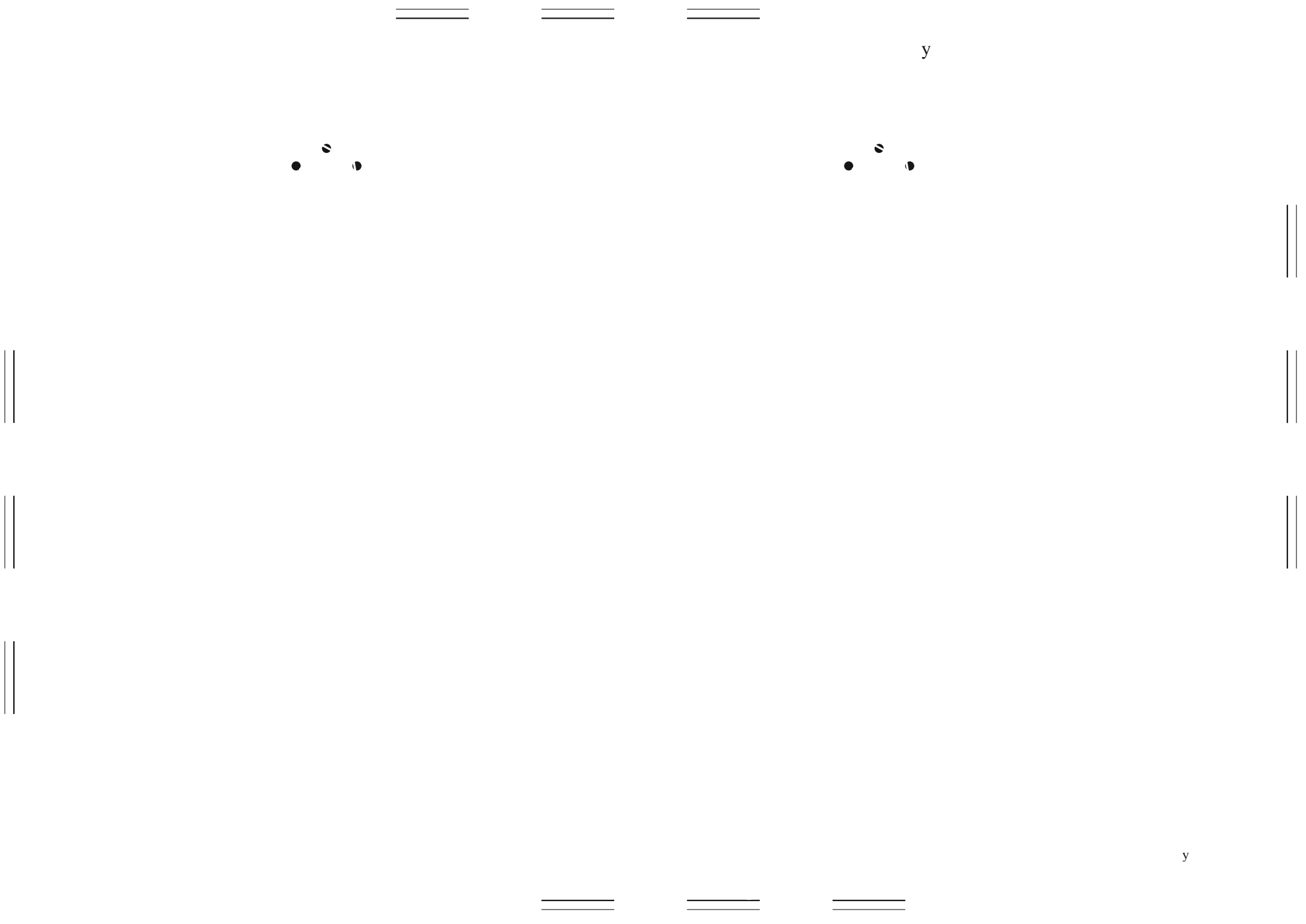


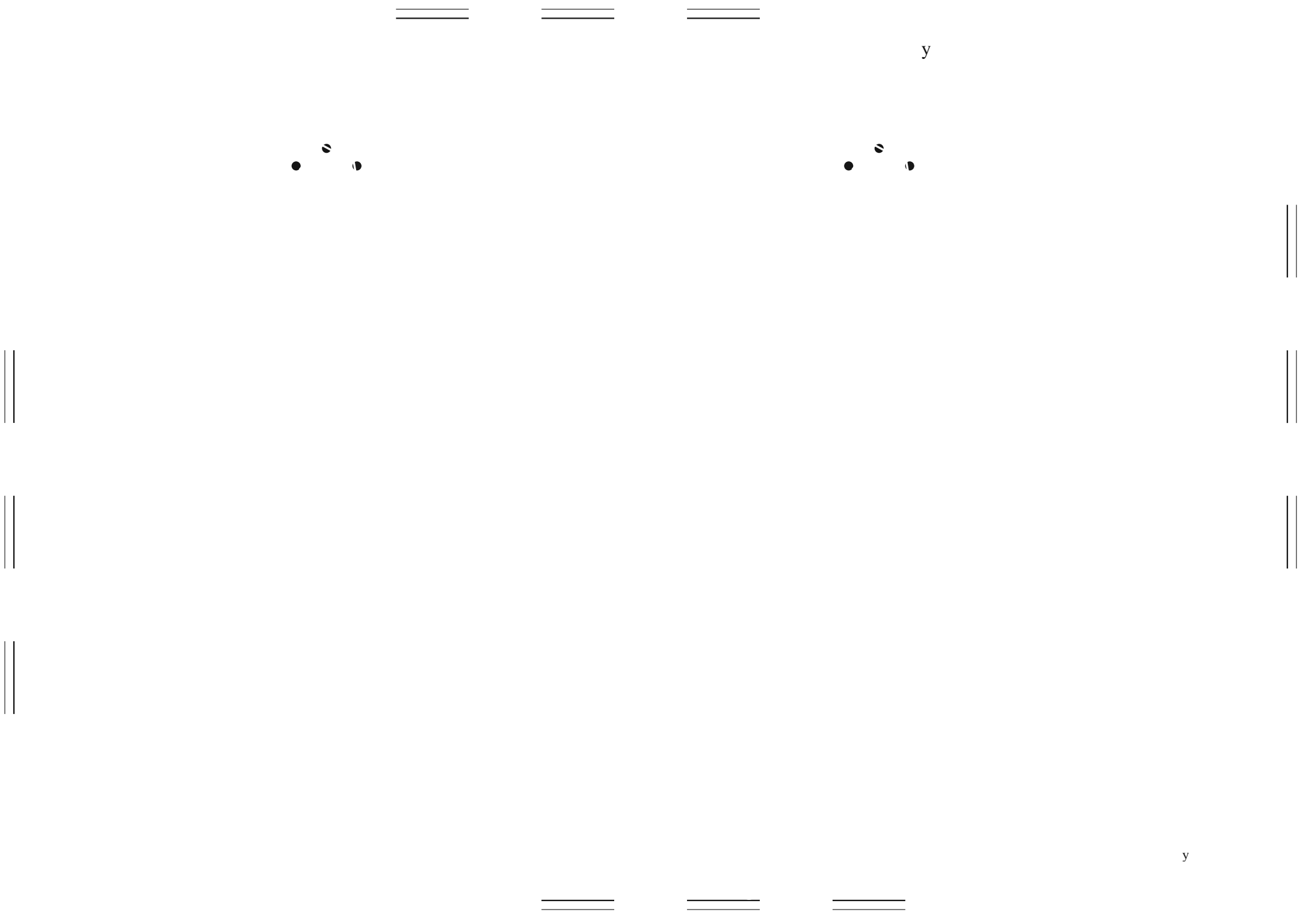
m

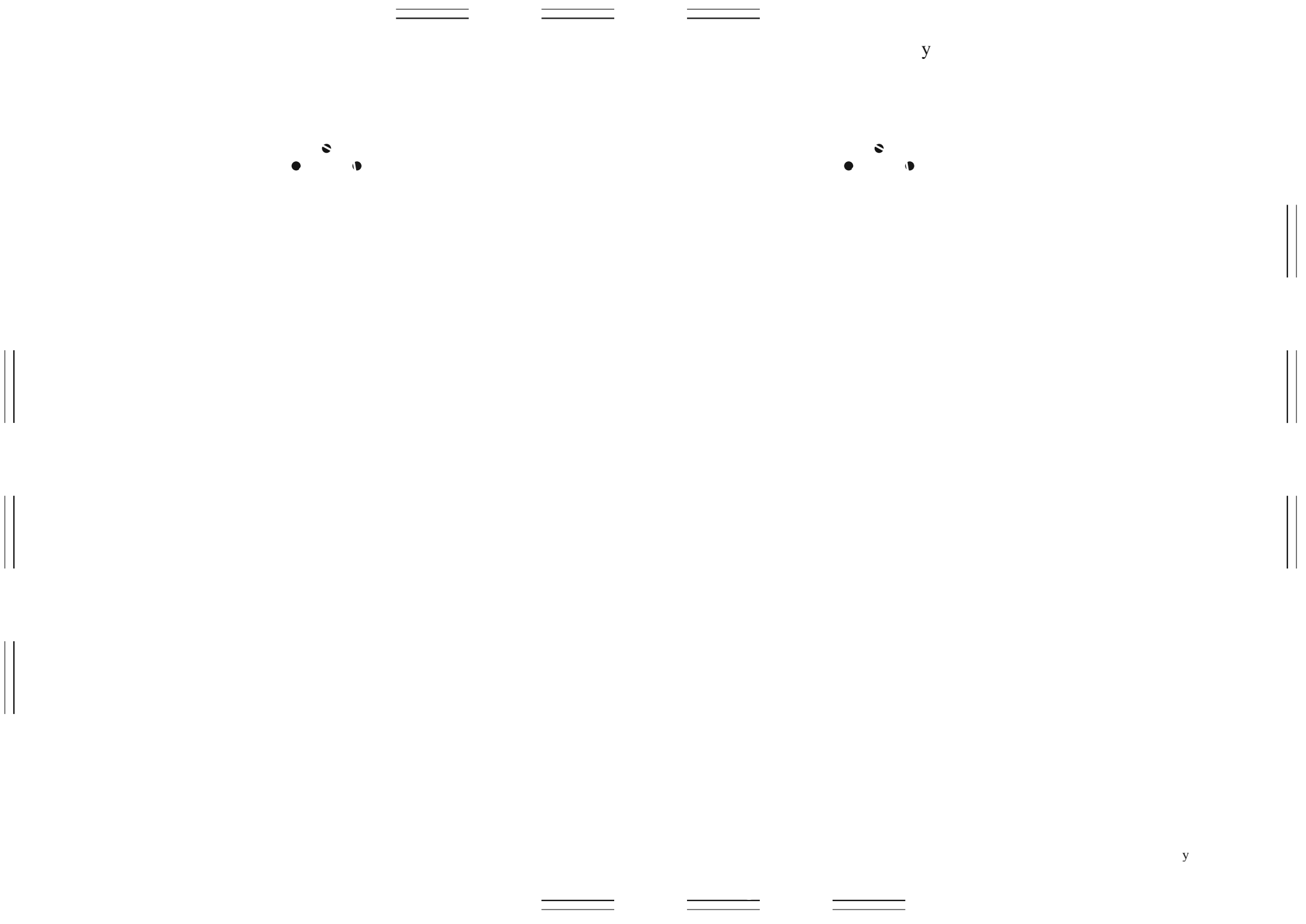












Siehe ähnliche Dateien: <http://www.ps.bam.de/ZG90/>; [http://www.ps.bam.de/Version 2.1, io=1,1, CIELAB](http://www.ps.bam.de/Version%202.1,io=1,1,CIELAB)
Technische Information: [http://www.ps.bam.de/Version 2.1, io=1,1, CIELAB](http://www.ps.bam.de/Version%202.1,io=1,1,CIELAB)

BAM-Registrierung: 20071001-ZG90/10L/L90G00FA.PS/.TXT BAM-Material: Code=rh4ta
Anwendung für Beurteilung und Messung von Drucker- oder Monitorsystemen

Eingabe: Farbmétrisches Offset-Reflektiv-System ORS18

für Buntton $h^* = lab^*h = 38/360 = 0.105$

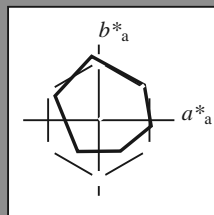
lab^*tch und lab^*nch

D65: Buntton O

LCH*Ma: 52 76 38

olv*Ma: 1.0 0.0 0.0

Dreiecks-Helligkeit t^*



%Umfang

$u^*_{rel} = 85$

%Regularität

$g^*_{H,rel} = 57$

$g^*_{C,rel} = 59$

ORS18; adaptierte CIELAB-Daten

	$L^*=L^*_a$	a^*_a	b^*_a	$C^*_{ab,a}$	$h^*_{ab,a}$
O _{Ma}	51.74	60.16	46.48	76.02	38
Y _{Ma}	90.77	-9.44	84.41	84.94	96
L _{Ma}	54.46	-57.8	32.16	66.15	151
C _{Ma}	61.56	-27.91	-41.41	49.95	236
V _{Ma}	31.3	28.61	-40.85	49.88	305
M _{Ma}	51.91	69.26	-7.69	69.68	354
N _{Ma}	24.2	0.0	0.0	0.0	0
W _{Ma}	95.41	0.0	0.0	0.0	0
R _{CIE}	44.36	53.97	24.82	59.4	25
J _{CIE}	82.39	-1.99	62.34	62.37	92
G _{CIE}	55.68	-38.87	10.82	40.36	164
B _{CIE}	35.76	1.06	-43.09	43.11	271

Ausgabe: Farbmétrisches Offset-Reflektiv-System ORS18

für Buntton $h^* = lab^*h = 38/360 = 0.105$

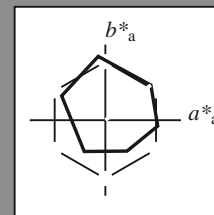
lab^*tch und lab^*nch

D65: Buntton O

LCH*Ma: 52 76 38

olv*Ma: 1.0 0.0 0.0

Dreiecks-Helligkeit t^*



%Umfang

$u^*_{rel} = 85$

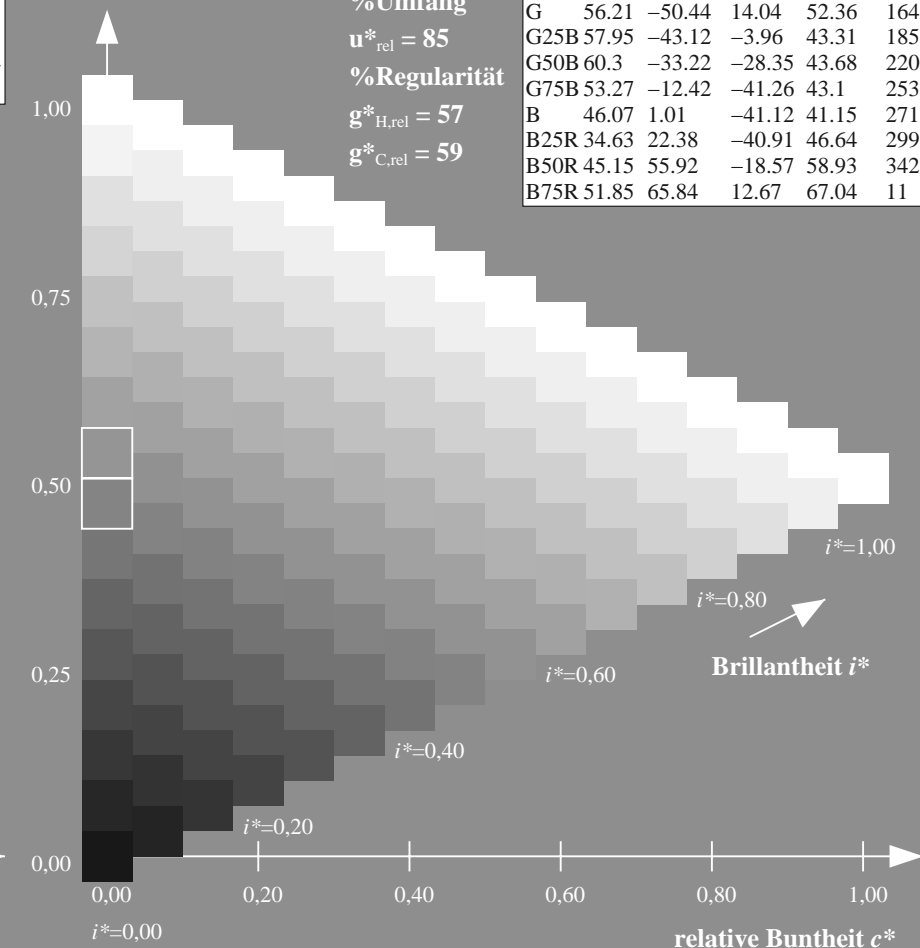
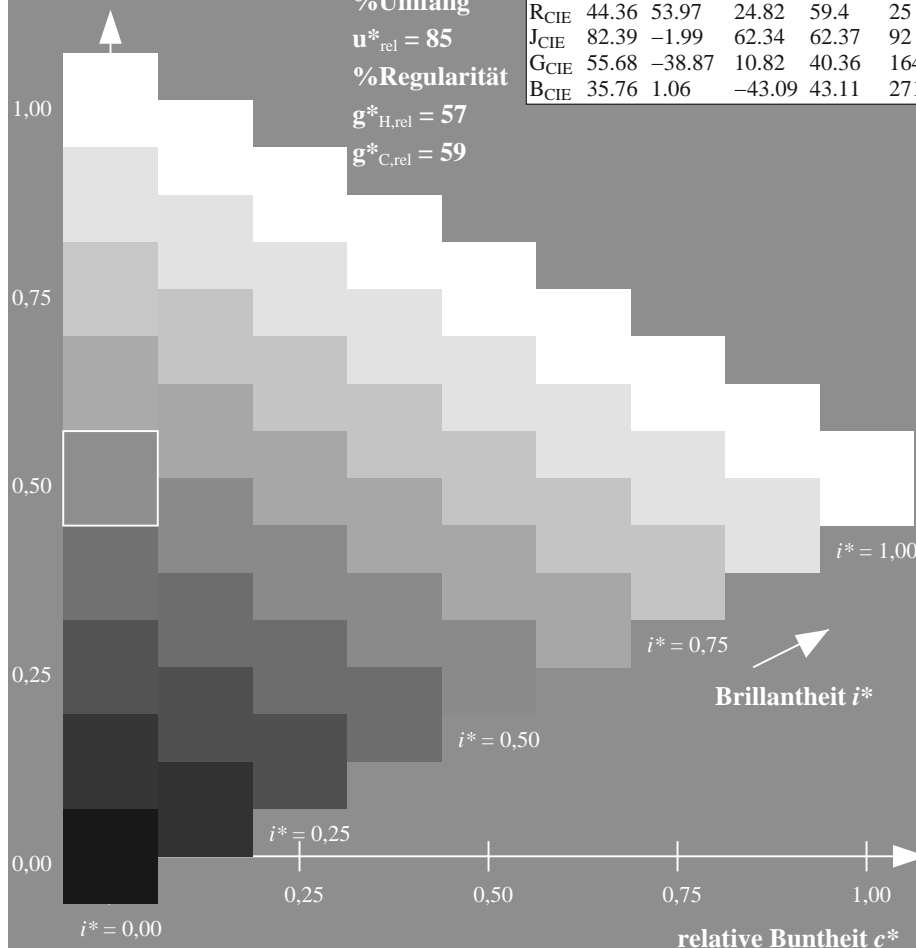
%Regularität

$g^*_{H,rel} = 57$

$g^*_{C,rel} = 59$

ORS18; adaptierte CIELAB-Daten

	$L^*=L^*_a$	a^*_a	b^*_a	$C^*_{ab,a}$	$h^*_{ab,a}$
R	51.79	63.09	29.02	69.44	25
R25J	53.73	56.6	48.42	74.48	41
R50J	65.47	35.67	59.82	69.65	59
R75J	76.51	15.98	70.55	72.34	77
J	86.93	-2.58	80.67	80.71	92
J25G	84.92	-17.23	75.99	77.92	103
J50G	73.11	-32.96	59.0	67.58	119
J75G	60.06	-50.34	40.22	64.44	141
G	56.21	-50.44	14.04	52.36	164
G25B	57.95	-43.12	-3.96	43.31	185
G50B	60.3	-33.22	-28.35	43.68	220
G75B	53.27	-12.42	-41.26	43.1	253
B	46.07	1.01	-41.12	41.15	271
B25R	34.63	22.38	-40.91	46.64	299
B50R	45.15	55.92	-18.57	58.93	342
B75R	51.85	65.84	12.67	67.04	11



ZG900-7F, 9stufige Reihen für konstanten CIELAB Buntton 38/360 = 0.105 (links)

Seite 31/36

ZG900-7F, 16stufige Reihen für konstanten CIELAB Buntton 38/360 = 0.105 (rechts)

BAM-Prüfvorlage ZG90; Farbmétrik-Systeme, Seite 31/36 Eingabe: $rgb / cmy0$ set($rgb/cmyk$)color

D65: 9 und 16stufige Farbreihen für 6 Geräte-Bunttöne

Ausgabe: $\rightarrow LAB^* \rightarrow cmy5^*$ set($cmykcolo$)

Eingabe: Farbmétrisches Offset-Reflektiv-System ORS18

für Buntton $h^* = lab^*h = 96/360 = 0.268$

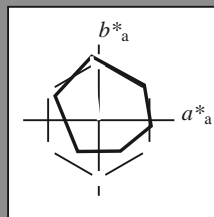
lab^*tch und lab^*nch

D65: Buntton Y

LCH*Ma: 91 85 96

olv*Ma: 1.0 1.0 0.0

Dreiecks-Helligkeit t^*



%Umfang

$u^*_{rel} = 85$

%Regularität

$g^*_{H,rel} = 57$

$g^*_{C,rel} = 59$

ORS18; adaptierte CIELAB-Daten

	$L^*=L^*_a$	a^*_a	b^*_a	$C^*_{ab,a}$	$h^*_{ab,a}$
O _{Ma}	51.74	60.16	46.48	76.02	38
Y _{Ma}	90.77	-9.44	84.41	84.94	96
L _{Ma}	54.46	-57.8	32.16	66.15	151
C _{Ma}	61.56	-27.91	-41.41	49.95	236
V _{Ma}	31.3	28.61	-40.85	49.88	305
M _{Ma}	51.91	69.26	-7.69	69.68	354
N _{Ma}	24.2	0.0	0.0	0.0	0
W _{Ma}	95.41	0.0	0.0	0.0	0
R _{CIE}	44.36	53.97	24.82	59.4	25
J _{CIE}	82.39	-1.99	62.34	62.37	92
G _{CIE}	55.68	-38.87	10.82	40.36	164
B _{CIE}	35.76	1.06	-43.09	43.11	271

Ausgabe: Farbmétrisches Offset-Reflektiv-System ORS18

für Buntton $h^* = lab^*h = 96/360 = 0.268$

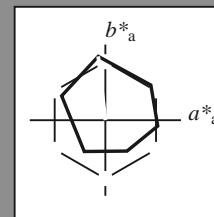
lab^*tch und lab^*nch

D65: Buntton Y

LCH*Ma: 91 85 96

olv*Ma: 1.0 1.0 0.0

Dreiecks-Helligkeit t^*



%Umfang

$u^*_{rel} = 85$

%Regularität

$g^*_{H,rel} = 57$

$g^*_{C,rel} = 59$

ORS18; adaptierte CIELAB-Daten

	$L^*=L^*_a$	a^*_a	b^*_a	$C^*_{ab,a}$	$h^*_{ab,a}$
R	51.79	63.09	29.02	69.44	25
R25J	53.73	56.6	48.42	74.48	41
R50J	65.47	35.67	59.82	69.65	59
R75J	76.51	15.98	70.55	72.34	77
J	86.93	-2.58	80.67	80.71	92
J25G	84.92	-17.23	75.99	77.92	103
J50G	73.11	-32.96	59.0	67.58	119
J75G	60.06	-50.34	40.22	64.44	141
G	56.21	-50.44	14.04	52.36	164
G25B	57.95	-43.12	-3.96	43.31	185
G50B	60.3	-33.22	-28.35	43.68	220
G75B	53.27	-12.42	-41.26	43.1	253
B	46.07	1.01	-41.12	41.15	271
B25R	34.63	22.38	-40.91	46.64	299
B50R	45.15	55.92	-18.57	58.93	342
B75R	51.85	65.84	12.67	67.04	11

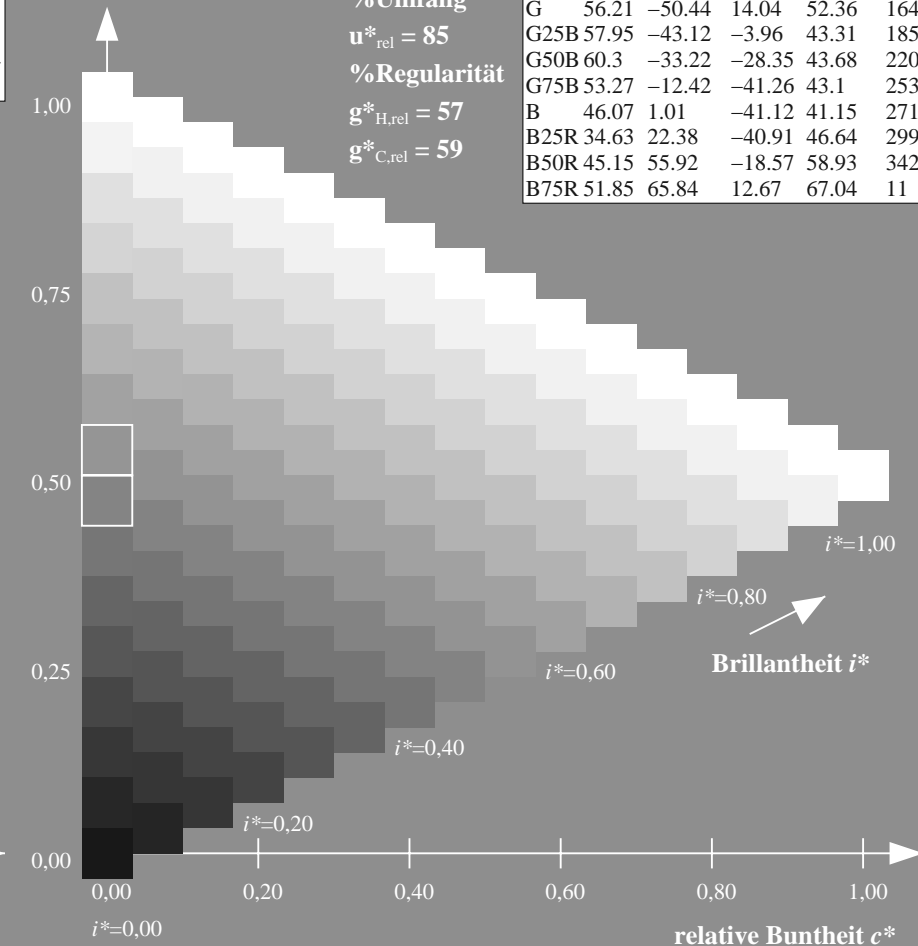
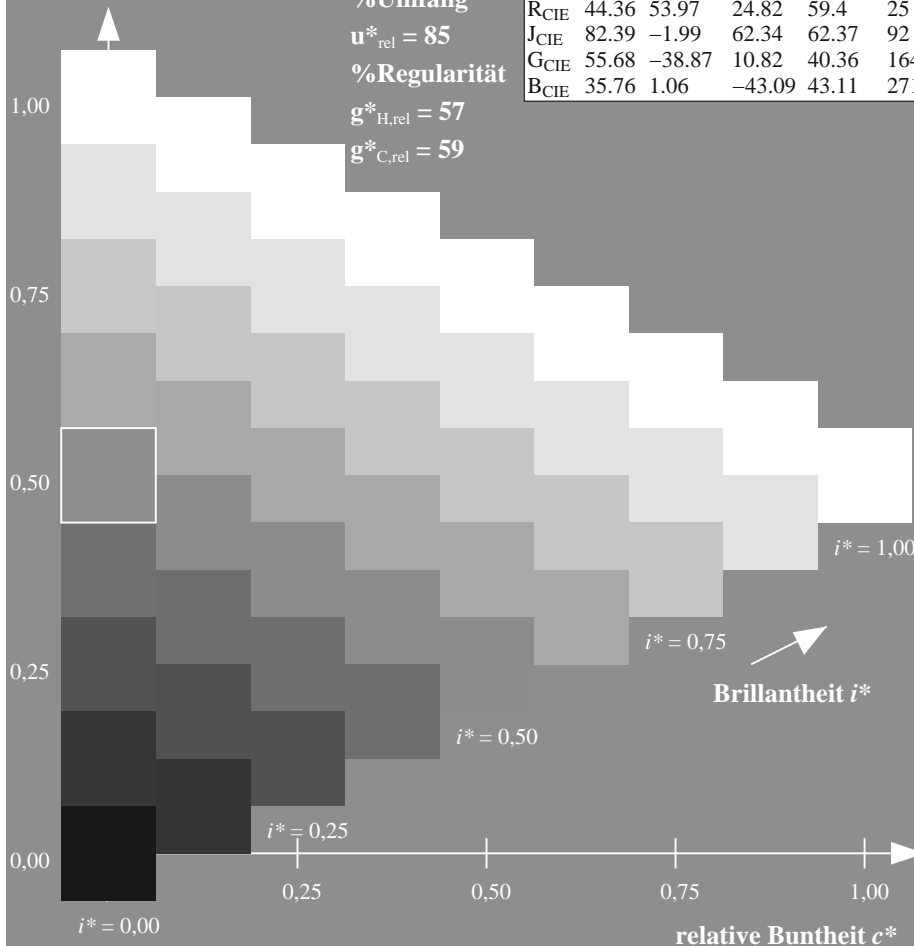
%Umfang

$u^*_{rel} = 85$

%Regularität

$g^*_{H,rel} = 57$

$g^*_{C,rel} = 59$



ZG900-7F, 9stufige Reihen für konstanten CIELAB Buntton 96/360 = 0.268 (links)

Seite 32/36

ZG900-7F, 16stufige Reihen für konstanten CIELAB Buntton 96/360 = 0.268 (rechts)

BAM-Prüfvorlage ZG90; Farbmétrik-Systeme, Seite 32/36
D65: 9 und 16stufige Farbreihen für 6 Geräte-Bunttöne

Eingabe: $rgb / cmy0$ set($rgb/cmyk$)color
Ausgabe: $\rightarrow LAB^* \rightarrow cmy5^*$ set($cmykcolo$

Siehe ähnliche Dateien: <http://www.ps.bam.de/ZG90/>; [http://www.ps.bam.de/Version 2.1, io=1,1, CIELAB](http://www.ps.bam.de/Version%202.1,io=1,1,CIELAB)
Technische Information: [http://www.ps.bam.de/Version 2.1, io=1,1, CIELAB](http://www.ps.bam.de/Version%202.1,io=1,1,CIELAB)

BAM-Registrierung: 20071001-ZG90/10L/L90G00FA.PS/.TXT BAM-Material: Code=rh4ta
Anwendung für Beurteilung und Messung von Drucker- oder Monitorsystemen

Eingabe: Farbmétrisches Offset-Reflektiv-System ORS18

für Buntton $h^* = lab^*h = 151/360 = 0.419$

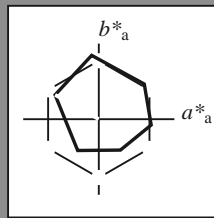
lab^*tch und lab^*nch

D65: Buntton L

LCH*Ma: 54 66 151

olv*Ma: 0.0 1.0 0.0

Dreiecks-Helligkeit t^*



%Umfang

$u^*_{rel} = 85$

%Regularität

$g^*_{H,rel} = 57$

$g^*_{C,rel} = 59$

ORS18; adaptierte CIELAB-Daten

	$L^*=L^*_a$	a^*_a	b^*_a	$C^*_{ab,a}$	$h^*_{ab,a}$
O _{Ma}	51.74	60.16	46.48	76.02	38
Y _{Ma}	90.77	-9.44	84.41	84.94	96
L _{Ma}	54.46	-57.8	32.16	66.15	151
C _{Ma}	61.56	-27.91	-41.41	49.95	236
V _{Ma}	31.3	28.61	-40.85	49.88	305
M _{Ma}	51.91	69.26	-7.69	69.68	354
N _{Ma}	24.2	0.0	0.0	0.0	0
W _{Ma}	95.41	0.0	0.0	0.0	0
R _{CIE}	44.36	53.97	24.82	59.4	25
J _{CIE}	82.39	-1.99	62.34	62.37	92
G _{CIE}	55.68	-38.87	10.82	40.36	164
B _{CIE}	35.76	1.06	-43.09	43.11	271

Ausgabe: Farbmétrisches Offset-Reflektiv-System ORS18

für Buntton $h^* = lab^*h = 151/360 = 0.419$

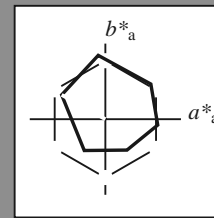
lab^*tch und lab^*nch

D65: Buntton L

LCH*Ma: 54 66 151

olv*Ma: 0.0 1.0 0.0

Dreiecks-Helligkeit t^*



%Umfang

$u^*_{rel} = 85$

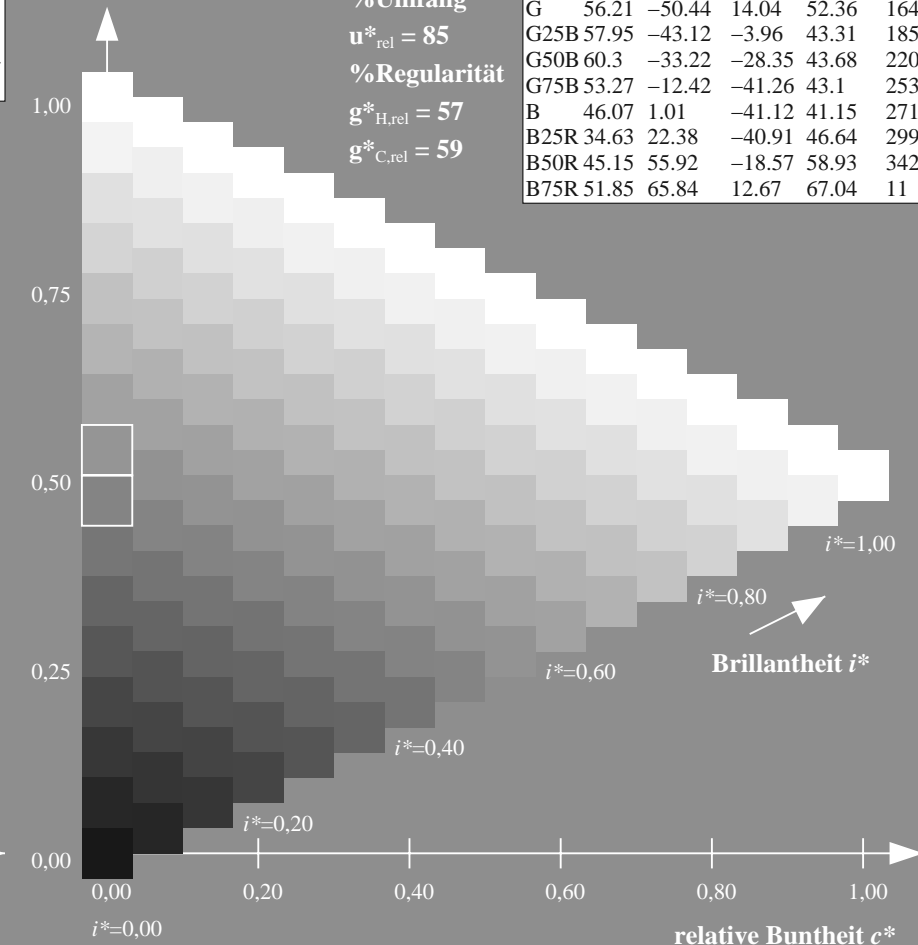
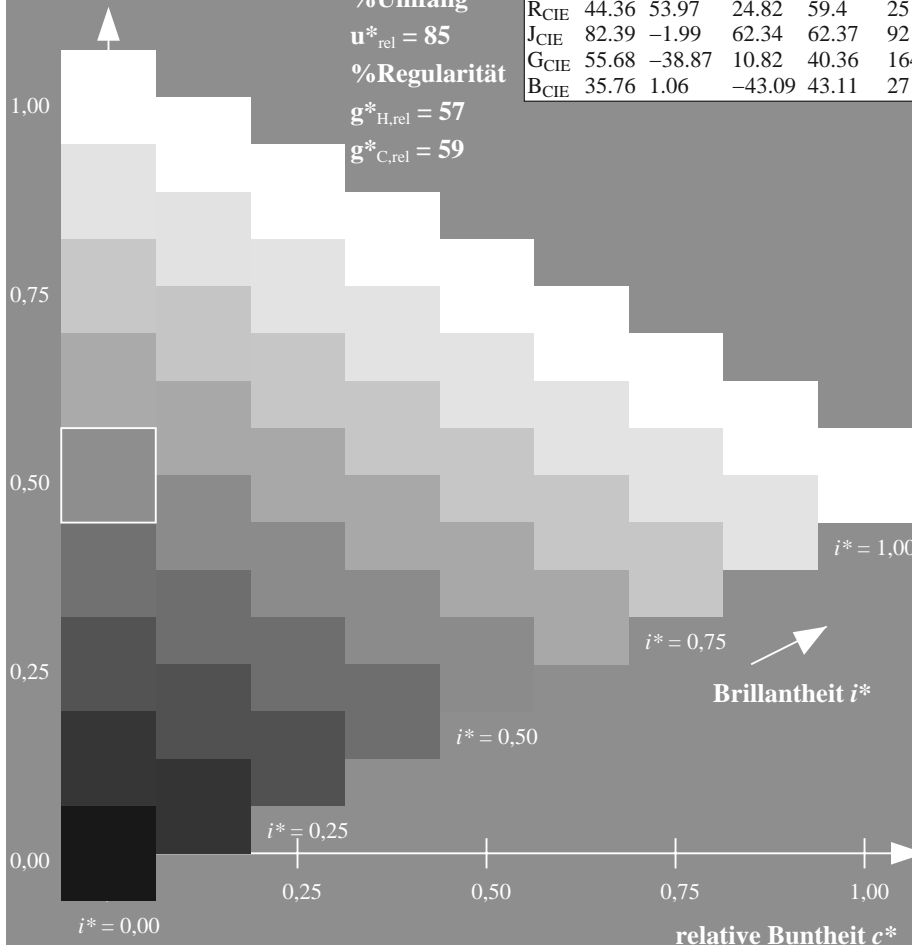
%Regularität

$g^*_{H,rel} = 57$

$g^*_{C,rel} = 59$

ORS18; adaptierte CIELAB-Daten

	$L^*=L^*_a$	a^*_a	b^*_a	$C^*_{ab,a}$	$h^*_{ab,a}$
R	51.79	63.09	29.02	69.44	25
R25J	53.73	56.6	48.42	74.48	41
R50J	65.47	35.67	59.82	69.65	59
R75J	76.51	15.98	70.55	72.34	77
J	86.93	-2.58	80.67	80.71	92
J25G	84.92	-17.23	75.99	77.92	103
J50G	73.11	-32.96	59.0	67.58	119
J75G	60.06	-50.34	40.22	64.44	141
G	56.21	-50.44	14.04	52.36	164
G25B	57.95	-43.12	-3.96	43.31	185
G50B	60.3	-33.22	-28.35	43.68	220
G75B	53.27	-12.42	-41.26	43.1	253
B	46.07	1.01	-41.12	41.15	271
B25R	34.63	22.38	-40.91	46.64	299
B50R	45.15	55.92	-18.57	58.93	342
B75R	51.85	65.84	12.67	67.04	11



ZG900-7F, 9stufige Reihen für konstanten CIELAB Buntton 151/360 = 0.419 (links)

Seite 33/36

ZG900-7F, 16stufige Reihen für konstanten CIELAB Buntton 151/360 = 0.419 (rechts)

n*

BAM-Prüfvorlage ZG90; Farbmétrik-Systeme, Seite 33/36 Eingabe: $rgb / cmy0$ set($rgb/cmyk$)color

D65: 9 und 16stufige Farbreihen für 6 Geräte-Bunttöne

Ausgabe: $\rightarrow LAB^* \rightarrow cmy5^*$ set($cmyk$)color

Siehe ähnliche Dateien: <http://www.ps.bam.de/ZG90/>; www.ps.bam.de/ZG.HTM
Technische Information: <http://www.ps.bam.de> Version 2.1, io=1,1, CIELAB

BAM-Registrierung: 2007/1001-ZG90/10/L90G00fA.PS.1X1 BAM-Material: Code=rh44a
Anwendung für Beurteilung und Messung von Drucker- oder Monitorsystemen

Eingabe: Farbmétrisches Offset-Reflektiv-System ORS18

für Buntton $h^* = lab^*h = 236/360 = 0.656$

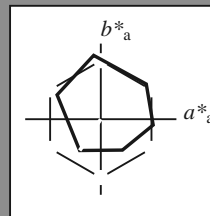
*lab*tch* und *lab*nch*

D65: Buntton C

LCH*Ma: 62 50 236

olv*Ma: 0.0 1.0 1.0

Dreiecks-Helligkeit t^*



%Umfang

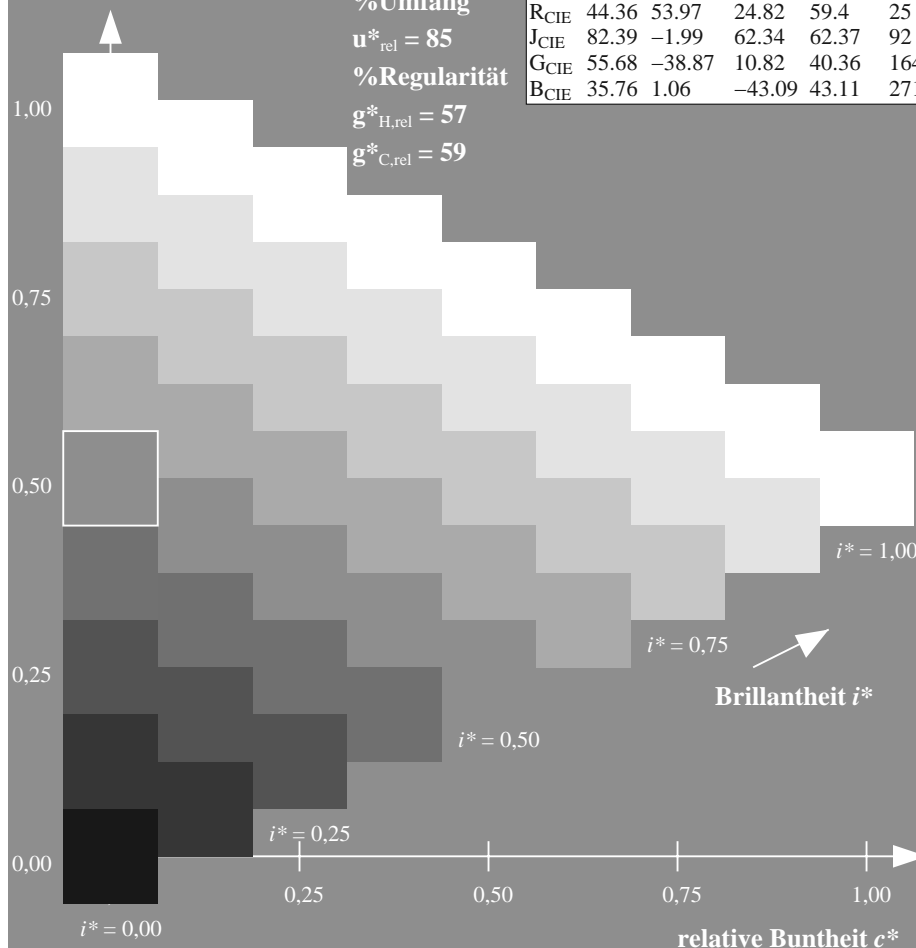
$$\mathbf{u}_{\text{rel}}^* = 85$$

%Regularität

$$g^*_{H_{rel}} = 57$$

g*_{C_{rel}} = 59

	L^*_a	a^*_a	b^*_a	$C^*_{ab,a}$	$h^*_{ab,a}$
O _{Ma}	51.74	60.16	46.48	76.02	38
Y _{Ma}	90.77	-9.44	84.41	84.94	96
L _{Ma}	54.46	-57.8	32.16	66.15	151
C _{Ma}	61.56	-27.91	-41.41	49.95	236
V _{Ma}	31.3	28.61	-40.85	49.88	305
M _{Ma}	51.91	69.26	-7.69	69.68	354
N _{Ma}	24.2	0.0	0.0	0.0	0
W _{Ma}	95.41	0.0	0.0	0.0	0
R _{CIE}	44.36	53.97	24.82	59.4	25
J _{CIE}	82.39	-1.99	62.34	62.37	92
G _{CIE}	55.68	-38.87	10.82	40.36	164
B _{CIE}	35.76	1.06	-43.09	43.11	271

ZG900-7F, 9stufige Reihen für konstanten CIELAB Buntton $236/360 = 0.656$ (links) Seite 34/36

BAM-Prüfvorlage ZG90; Farbmimetrik-Systeme, Seite 34
D65: 9 und 16stufige Farbreihen für 6 Geräte-Bunttöne

Ausgabe: Farbmétrisches Offset-Reflektiv-System ORS18

für Buntton $h^* = lab^*h = 236/360 = 0.656$

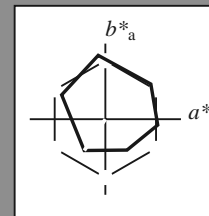
*lab*tch* und *lab*nch*

D65: Buntton C

LCH*Ma: 62 50 236

olv*Ma: 0.0 1.0 1.0

Dreiecks-Helligkeit t^*



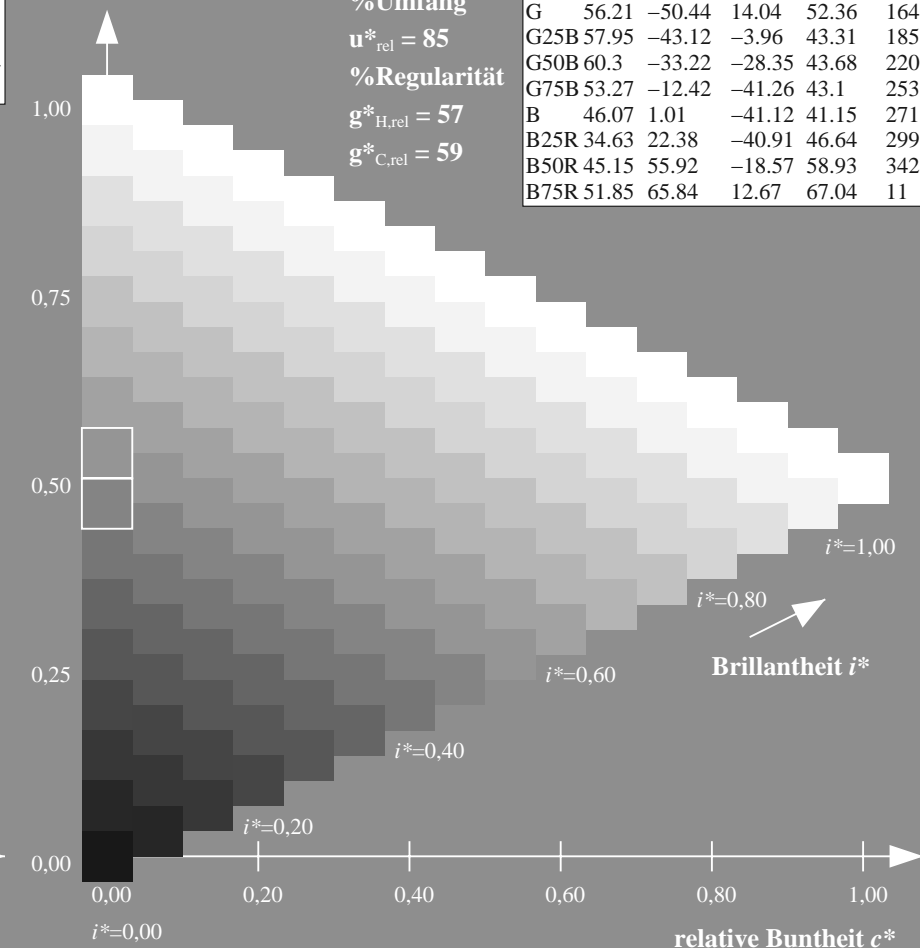
%Umfang

$$\mathbf{u}_{\text{rel}}^* = 85$$

%Regularität

$$g^*_{H_{rel}} = 57$$
$$g^*_{C_{rel}} = 59$$

ORS18; adaptierte CIELAB-Daten					
	L^*_a	a^*_a	b^*_a	$C^*_{ab,a}$	$h^*_{ab,a}$
R	51.79	63.09	29.02	69.44	25.34
R25J	53.73	56.6	48.42	74.48	41.15
R50J	65.47	35.67	59.82	69.65	59.29
R75J	76.51	15.98	70.55	72.34	77.77
J	86.93	-2.58	80.67	80.71	92.24
J25G	84.92	-17.23	75.99	77.92	103.52
J50G	73.11	-32.96	59.0	67.58	119.81
J75G	60.06	-50.34	40.22	64.44	141.72
G	56.21	-50.44	14.04	52.36	164.37
G25B	57.95	-43.12	-3.96	43.31	185.19
G50B	60.3	-33.22	-28.35	43.68	220.29
G75B	53.27	-12.42	-41.26	43.1	253.48
B	46.07	1.01	-41.12	41.15	271.91
B25R	34.63	22.38	-40.91	46.64	299.22
B50R	45.15	55.92	-18.57	58.93	342.01
B75R	51.85	65.84	12.67	67.04	392.11



ZG900–7F, 16stufige Reihen für konstanten CIELAB Buntton 236/360 = 0.656 (rechts) n*

5 Eingabe: *rgb / cmy0 set(rgb/cmyk)color*
Ausgabe: *->LAB*->cmyn5* setcmykcolo*

Eingabe: Farbmétrisches Offset-Reflektiv-System ORS18

für Buntton $h^* = lab^*h = 305/360 = 0.847$

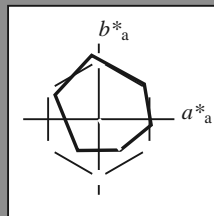
lab^*tch und lab^*nch

D65: Buntton V

LCH*Ma: 31 50 305

olv*Ma: 0.0 0.0 1.0

Dreiecks-Helligkeit t^*



%Umfang

$u^*_{rel} = 85$

%Regularität

$g^*_{H,rel} = 57$

$g^*_{C,rel} = 59$

ORS18; adaptierte CIELAB-Daten

	$L^*=L^*_a$	a^*_a	b^*_a	$C^*_{ab,a}$	$h^*_{ab,a}$
O _{Ma}	51.74	60.16	46.48	76.02	38
Y _{Ma}	90.77	-9.44	84.41	84.94	96
L _{Ma}	54.46	-57.8	32.16	66.15	151
C _{Ma}	61.56	-27.91	-41.41	49.95	236
V _{Ma}	31.3	28.61	-40.85	49.88	305
M _{Ma}	51.91	69.26	-7.69	69.68	354
N _{Ma}	24.2	0.0	0.0	0.0	0
W _{Ma}	95.41	0.0	0.0	0.0	0
R _{CIE}	44.36	53.97	24.82	59.4	25
J _{CIE}	82.39	-1.99	62.34	62.37	92
G _{CIE}	55.68	-38.87	10.82	40.36	164
B _{CIE}	35.76	1.06	-43.09	43.11	271

Ausgabe: Farbmétrisches Offset-Reflektiv-System ORS18

für Buntton $h^* = lab^*h = 305/360 = 0.847$

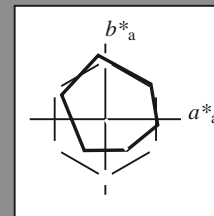
lab^*tch und lab^*nch

D65: Buntton V

LCH*Ma: 31 50 305

olv*Ma: 0.0 0.0 1.0

Dreiecks-Helligkeit t^*



%Umfang

$u^*_{rel} = 85$

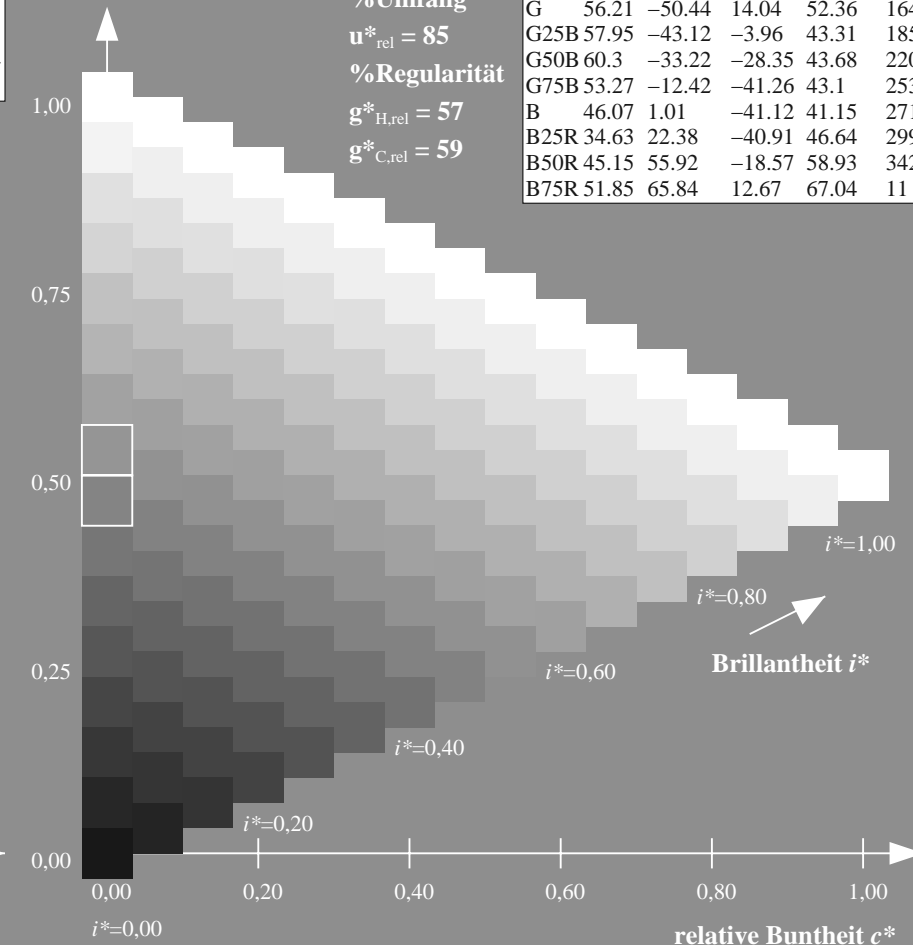
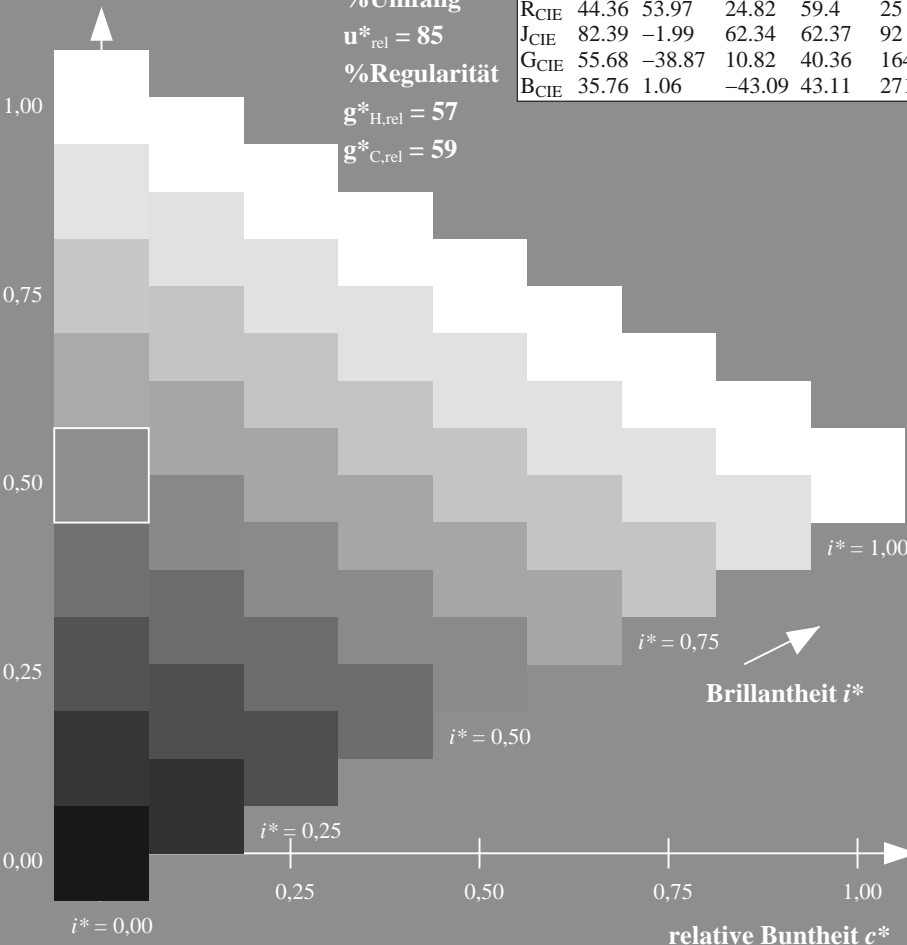
%Regularität

$g^*_{H,rel} = 57$

$g^*_{C,rel} = 59$

ORS18; adaptierte CIELAB-Daten

	$L^*=L^*_a$	a^*_a	b^*_a	$C^*_{ab,a}$	$h^*_{ab,a}$
R	51.79	63.09	29.02	69.44	25
R25J	53.73	56.6	48.42	74.48	41
R50J	65.47	35.67	59.82	69.65	59
R75J	76.51	15.98	70.55	72.34	77
J	86.93	-2.58	80.67	80.71	92
J25G	84.92	-17.23	75.99	77.92	103
J50G	73.11	-32.96	59.0	67.58	119
J75G	60.06	-50.34	40.22	64.44	141
G	56.21	-50.44	14.04	52.36	164
G25B	57.95	-43.12	-3.96	43.31	185
G50B	60.3	-33.22	-28.35	43.68	220
G75B	53.27	-12.42	-41.26	43.1	253
B	46.07	1.01	-41.12	41.15	271
B25R	34.63	22.38	-40.91	46.64	299
B50R	45.15	55.92	-18.57	58.93	342
B75R	51.85	65.84	12.67	67.04	11



ZG900-7F, 9stufige Reihen für konstanten CIELAB Buntton 305/360 = 0.847 (links)

Seite 35/36

ZG900-7F, 16stufige Reihen für konstanten CIELAB Buntton 305/360 = 0.847 (rechts)

n*

BAM-Prüfvorlage ZG90; Farbmétrische Systeme, Seite 35/36 Eingabe: $rgb / cmy0$ set($rgb/cmyk$)color

D65: 9 und 16stufige Farbreihen für 6 Geräte-Bunttöne

Ausgabe: $\rightarrow LAB^* \rightarrow cmy5^* setcmykcolo$

Eingabe: Farbmétrisches Offset-Reflektiv-System ORS18

für Buntton $h^* = lab^*h = 354/360 = 0.982$

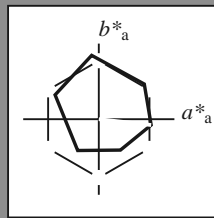
lab^*tch und lab^*nch

D65: Buntton M

LCH*Ma: 52 70 354

olv*Ma: 1.0 0.0 1.0

Dreiecks-Helligkeit t^*



%Umfang

$u^*_{rel} = 85$

%Regularität

$g^*_{H,rel} = 57$

$g^*_{C,rel} = 59$

ORS18; adaptierte CIELAB-Daten

	$L^*=L^*_a$	a^*_a	b^*_a	$C^*_{ab,a}$	$h^*_{ab,a}$
O _{Ma}	51.74	60.16	46.48	76.02	38
Y _{Ma}	90.77	-9.44	84.41	84.94	96
L _{Ma}	54.46	-57.8	32.16	66.15	151
C _{Ma}	61.56	-27.91	-41.41	49.95	236
V _{Ma}	31.3	28.61	-40.85	49.88	305
M _{Ma}	51.91	69.26	-7.69	69.68	354
N _{Ma}	24.2	0.0	0.0	0.0	0
W _{Ma}	95.41	0.0	0.0	0.0	0
R _{CIE}	44.36	53.97	24.82	59.4	25
J _{CIE}	82.39	-1.99	62.34	62.37	92
G _{CIE}	55.68	-38.87	10.82	40.36	164
B _{CIE}	35.76	1.06	-43.09	43.11	271

Ausgabe: Farbmétrisches Offset-Reflektiv-System ORS18

für Buntton $h^* = lab^*h = 354/360 = 0.982$

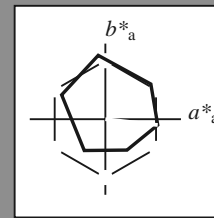
lab^*tch und lab^*nch

D65: Buntton M

LCH*Ma: 52 70 354

olv*Ma: 1.0 0.0 1.0

Dreiecks-Helligkeit t^*



%Umfang

$u^*_{rel} = 85$

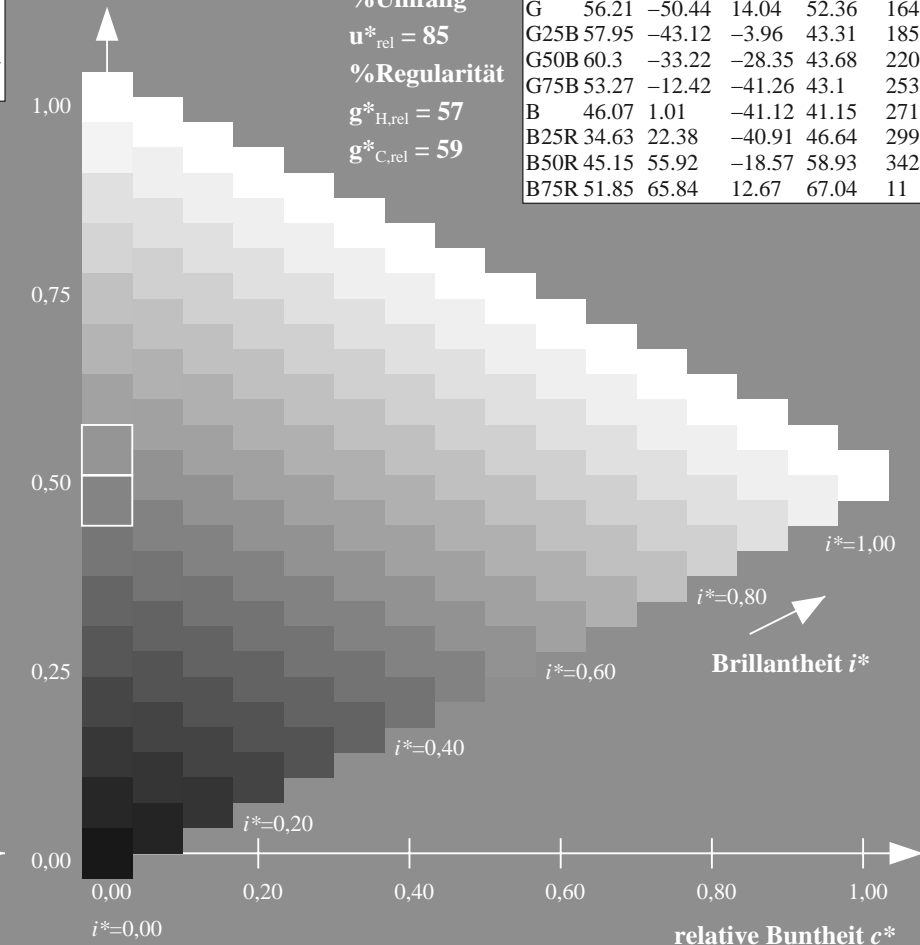
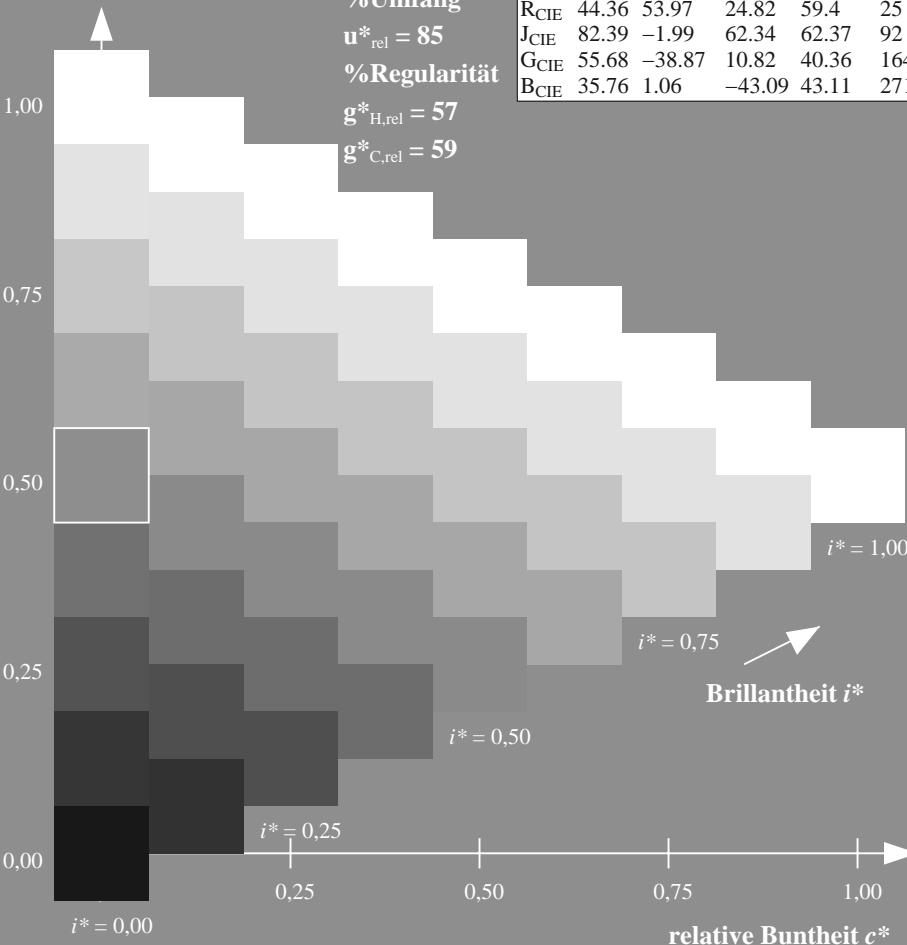
%Regularität

$g^*_{H,rel} = 57$

$g^*_{C,rel} = 59$

ORS18; adaptierte CIELAB-Daten

	$L^*=L^*_a$	a^*_a	b^*_a	$C^*_{ab,a}$	$h^*_{ab,a}$
R	51.79	63.09	29.02	69.44	25
R25J	53.73	56.6	48.42	74.48	41
R50J	65.47	35.67	59.82	69.65	59
R75J	76.51	15.98	70.55	72.34	77
J	86.93	-2.58	80.67	80.71	92
J25G	84.92	-17.23	75.99	77.92	103
J50G	73.11	-32.96	59.0	67.58	119
J75G	60.06	-50.34	40.22	64.44	141
G	56.21	-50.44	14.04	52.36	164
G25B	57.95	-43.12	-3.96	43.31	185
G50B	60.3	-33.22	-28.35	43.68	220
G75B	53.27	-12.42	-41.26	43.1	253
B	46.07	1.01	-41.12	41.15	271
B25R	34.63	22.38	-40.91	46.64	299
B50R	45.15	55.92	-18.57	58.93	342
B75R	51.85	65.84	12.67	67.04	11



ZG900-7F, 9stufige Reihen für konstanten CIELAB Buntton 354/360 = 0.982 (links)

Seite 36/36

ZG900-7F, 16stufige Reihen für konstanten CIELAB Buntton 354/360 = 0.982 (rechts)

n*

BAM-Prüfvorlage ZG90; Farbmétrik-Systeme, Seite 36/36 Eingabe: $rgb / cmy0$ set($rgb/cmyk$)color

D65: 9 und 16stufige Farbreihen für 6 Geräte-Bunttöne

Ausgabe: $\rightarrow LAB^* \rightarrow cmy5^*$ set($cmykcolo$)